

ISSN 0002-3078

АЗƏРБАЙЧАН ССР ЕЛМЛƏР АКАДЕМИЈАСЫ  
АКАДЕМИЯ НАУК АЗЕРБАЙДЖАНСКОЙ ССР

# МƏ'РУЗƏЛƏР ДОКЛАДЫ

ТОМ XXXVII ЧИЛД

1981 • 4

45/15

УВАЖАЕМЫЙ ЧИТАТЕЛЬ!

Промотрев издание,  
укажите номер  
читательского билета  
и код / категории  
читателя.

(Пример: 325/3Е1.)

сообщения об оригинальных, нигде не пе-  
ванных, представленные академиками АН  
сбы ответственность за научные достоин-

статей, механически разделенные на ряд  
характера, без новых фактических сооб-  
щив фактических данных, статьи с опи-  
сных выводов и обобщений, чисто мето-  
является принципиально новым, а также  
(за исключением описания особо инте-

журнал «ДАН Азерб. ССР» принимает  
опускает их публикацию в установленные

ничениями отклонены статьи редакцией  
что она не соответствует требованиям  
нает ее публикацию в других изданиях.

#### АВТОРОВ

рб. ССР» просит авторов руководство-  
того авторы ознакомятся с ними прежде,

их принята, к рассмотрению не принима-  
обязаны иметь представление члена АН  
то требования (см. в №).

детализации редакцией не принимаются.  
сфера. Единственным поводом для внео-  
да важность сообщения и соображения  
решение редколлегии.

представленные статьи на рецензию.  
статей одного автора в год. Это правило  
академиков Академии наук Азерб. ССР,  
в который следует поместить статью; а  
десятичной классификации (УДК). К  
реферат в двух экземплярах, предназна-  
журналов ВИНИТИ

название учреждения, в котором выпол-  
также полный почтовый адрес и номер  
автора.

указать лицо, с которым редакция бу-

работку не означает, что статья принята  
ста рукопись вновь рассматривается ред-  
и вернуть вместе с первоначальным эк-  
замечания. Датой поступления считается  
анта статьи.

нимающие не более 1/4 авторского листа  
рдят текст, таблицы, библиография (не  
оторых не должно превышать четырех,  
эм числе наклейки на мелованной бумаге,  
й большого увеличения. Штриховые ри-  
печатаются, а даются на кальке. Текст  
двух экземплярах. Повторение одних и  
тах недопустимо. Рисунки должны быть  
и ясность передачи всех деталей. Фото-

Подписи к рисункам должны быть на-

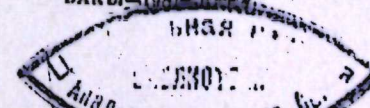
печатаны в 2-х экземплярах через два интервала на отдельной странице. На обороте  
рисунков мягким карандашом указываются фамилии авторов, название статьи и номер  
рисунка.

АЗƏРБАЙҘАН ССР ЕЛМЛƏР АКАДЕМИЈАСЫ  
АКАДЕМИЯ НАУК АЗЕРБАЙДЖАНСКОЙ ССР

# МƏ'РУЗƏЛƏР ДОКЛАДЫ ТОМ XXXVII ЧИЛД

№ 4

„ЕЛМ“ НƏШРИЈАТЫ—ИЗДАТЕЛЬСТВО „ЕЛМ“  
БАКЫ—1991



РЕДАКЦИОННАЯ КОЛЛЕГИЯ:

Г. Б. Абдуллаев (главный редактор), М. Т. Аббасов, Ал. А. Ализаде (зам. главного редактора), В. С. Алиев, Г. А. Алиев, Дж. А. Алиев, И. Г. Алиев, Дж. Б. Гулиев, Н. А. Гулиев, М. З. Джафаров, Ф. Г. Максудов, А. А. Надиров, Ю. М. Сендов (зам. главного редактора), М. А. Топчибашев, М. А. Усейнов, Г. Г. Зейналов (ответств. секретарь).

© Издательство „Элм“, 1981 г.

Адрес: г. Баку, Коммунистическая, 10. Редакция „Известий Академии наук Азербайджанской ССР“

М. А. ВЕЛИЕВ

ОБ УСТОЙЧИВОСТИ МЕТОДА КОНЕЧНЫХ ЭЛЕМЕНТОВ (МКЭ) ДЛЯ ПАРАБОЛИЧЕСКИХ УРАВНЕНИЙ

(Представлено академиком АН Азербайджанской ССР Ф. Г. Максудовым)

Пусть  $\Omega$  — конечная область  $m$ -мерного евклидова пространства  $R_m$ . Через  $\alpha, \beta$  обозначим мультииндексы размерности  $m$ . Рассмотрим первую краевую задачу

$$\frac{\partial u}{\partial t} + \sum_{\kappa=0}^s \sum_{|\alpha|=|\beta|=0} (-1)^\kappa D^\alpha (A_{\alpha\beta}(x) D^\beta u) = f(x, t), \quad x \in \Omega, \quad t \in (0, T), \quad (1)$$

$$\Gamma = \partial\Omega, \quad D^\gamma u|_\Gamma = 0, \quad |\gamma| \leq s-1, \quad (2)$$

$$u(x, t)|_{t=0} = u_0(x), \quad (3)$$

где  $A_{\alpha\beta}(x) = A_{\beta\alpha}(x)$  измеримы и ограничены в  $\Omega$ ,  $u_0(x)$ ,  $f(x, t)$  — заданные функции, причем  $f \in L_2(\Omega \times (0, T))$ .

Определим оператор, действующий по формуле

$$Au \equiv \sum_{\kappa=0}^s \sum_{|\alpha|=|\beta|=0} (-1)^\kappa L^\alpha (A_{\alpha\beta}(x) D^\beta u), \quad A_{\alpha\beta} = A_{\beta\alpha}.$$

За область определения  $D(A)$  оператора  $A$  возьмем множество функций из класса  $C^{(2s)}(\bar{\Omega})$ , удовлетворяющих условиям (2). Область  $D(A)$  плотна в пространстве  $L_2(\Omega)$ . Пусть оператор  $A$  является равномерно эллиптическим в области  $\Omega \subset R_m$ . Если младшие члены оператора  $A$  неотрицательны, то оператор  $A$  симметричный, положительно определенный в пространстве  $L_2(\Omega)$  ([2], стр. 324—326).

Построим теперь в пространстве  $R_m$  кубическую сетку с шагом  $2h$ , где  $h$  некоторое положительное число, и ребра куба направлены параллельно координатным осям. Каждый куб „большой“ куб разбивается на  $2^m$  „меньших“ кубов с помощью плоскостей, проведенных через центр „большого“ куба параллельно координатным осям. Узлами считаются вершины меньших кубов. Начало координат помещается в одном из узлов. Тогда радиус-вектор любого узла имеет вид  $jh$ , где  $j = (j_1, j_2, \dots, j_m)$  — целочисленный вектор, который называется номером соответствующего узла ([1], стр. 39).

Для построения приближенного решения задачи (1)–(3) по МКЭ выберем исходную систему функций  $\{\omega_q(t)\}$  с узким носителем, размерности  $m$  и высоты  $s-1$ , удовлетворяющих фундаментальным соотношениям (11) из [1]. Здесь  $t$  произвольная точка пространства  $R_m$ , а  $q$  — мультииндекс, удовлетворяющий неравенству  $|q| \leq s-1$ .

Координатные функции определяются так:

$$\varphi_{qjh}(x) = \omega_q \left( \frac{x}{h} - j \right),$$

где  $j$  — целочисленный вектор.

Система координатных функций  $\{\varphi_{qjh}(x)\}$  принадлежит в  $H_\Lambda$  и полна в нем.

Приближенное решение по МКЭ ищем в виде

$$u_h(x, t) = \sum_{|q|=0}^{s-1} \sum_{j \in J^h} a_{qj}^h(t) \varphi_{qjh}(x),$$

где  $J^h$  — множество номеров нижних вершин больших кубов сетки, лежащих в  $\Omega^h$  — объединение всех открытых больших кубов сетки, лежащих в  $\Omega$ .

Коэффициенты  $a_{qj}^h(t)$  ( $|q| \leq s-1$ ;  $j \in J^h$ ) определяются из системы дифференциальных уравнений

$$\begin{aligned} & \sum_{|q|=0}^{s-1} \sum_{j' \in J^h} (\varphi_{q'j'h}, \varphi_{qjh}) \frac{da_{q'j'}^h(t)}{dt} + \\ & + \sum_{|q|=0}^{s-1} \sum_{j' \in J^h} [\varphi_{q'j'h}, \varphi_{qjh}]_\Lambda a_{q'j'}^h(t) = (f, \varphi_{qjh}), \\ & |q| \leq s-1, j \in J^h \end{aligned} \quad (4)$$

при условиях

$$a_{qj}^h(t)|_{t=0} = a_{qj}^h(0), |q| \leq s-1, j \in J^h. \quad (4')$$

Если  $u_0 \in H_\Lambda$ , то постоянные коэффициенты  $a_{qj}^h(0)$  ( $|q| \leq s-1$ ,  $j \in J^h$ ) определяются из следующей системы алгебраических уравнений

$$\begin{aligned} & \sum_{|q|=0}^{s-1} \sum_{j' \in J^h} [\varphi_{q'j'h}, \varphi_{qjh}]_\Lambda a_{q'j'}^h(0) = [u_0, \varphi_{qjh}]_\Lambda, \\ & |q| \leq s-1, j \in J^h. \end{aligned} \quad (5)$$

Далее,  $a_{qj}^h(t)$  ( $|q| \leq s-1$ ,  $j \in J^h$ ) при фиксированном  $h$  есть  $\kappa$ -компонентный вектор. Через  $u^h(t)$  обозначим вектор, составляющие которого упорядоченные каким-то способом функции от  $t$ :  $a_{qj}^h(t) \times X$  ( $|q| \leq s-1$ ,  $j \in J^h$ ,  $1 \leq l \leq \kappa$ ). Если  $N$  есть число этих составляющих, то  $u^h(t)$  при каждом фиксированном  $t \in [0, T]$  вектор евклидова пространства  $E_N$ .

Пусть  $Q_h$  и  $R_h$  матрицы с элементами

$$(\varphi_{q'j'h}, \varphi_{qjh}), [\varphi_{q'j'h}, \varphi_{qjh}]_\Lambda \quad (|q'| \leq s-1, |q| \leq s-1, j', j \in J^h)$$

соответственно, а  $F_h(t)$  — вектор с компонентами

$$(f, \varphi_{qjh}) \quad (|q| \leq s-1, j \in J^h).$$

В этих обозначениях задача (4), (4') имеет вид

$$C_h \frac{da^h(t)}{dt} + R_h a^h(t) = F_h(t), \quad (6)$$

$$a^h(t)|_{t=0} = a^h(0). \quad (6')$$

Линейная система (5) запишется так:

$$R_h a^h(0) = T_0^h, \quad (7)$$

где  $T_0^h$  — вектор с компонентами  $[u_0, \varphi_{qjh}]_\Lambda$  ( $|q| \leq s-1$ ,  $j \in J^h$ ).

В работе [1] доказано, что справедливы неравенства

$$C_1 h^{m/2} \|a^h\|_{E_N} \leq \|u_h\|_{L_2(\Omega)} \leq C_2 h^{m/2} \|a^h\|_{E_N}, \quad \forall a^h \in E_N, \quad (8)$$

где  $C_1, C_2$  — положительные постоянные.

Введем новые пространства  $\bar{X}_N, \bar{Y}_N$  с нормами

$$\|b^h\|_{\bar{X}_N} = h^{m/2} \|b^h\|_{E_N}, \quad \|b^h\|_{\bar{Y}_N} = h^{-m/2} \|b^h\|_{E_N}, \quad \forall b^h \in E_N$$

неравенствам (8) придадим следующий вид

$$C_1 \|a^h\|_{\bar{X}_N} \leq \|Q_h^{1/2} a^h\|_{E_N} = \|u_h\|_{L_2(\Omega)} \leq C_2 \|a^h\|_{X_N}. \quad (9)$$

Лемма 1. Имеет место оценка

$$\|R_h^{1/2} a^h(0)\|_{E_N} \leq \|u_0\|_\Lambda, \quad (10)$$

где  $a^h(0)$  — решение системы (7).

Рассмотрим возмущенную систему вида

$$(R_h + \Gamma_h') b^h(0) = T_0^h + \epsilon_h,$$

где  $\Gamma_h'$  — возмущенные матрицы  $R_h$ , симметричная  $\epsilon_h$  — возмущение вектора  $T_0^h$ .

Пусть  $\lambda_0$  — наименьшее собственное значение положительно определенного оператора  $A$ . Если  $\mu_1^{(N)}$  — наименьшее собственное значение матрицы  $R_h$ , то легко видеть, что  $\mu_1^{(N)} \geq C_1^2 h^m \lambda_0$ .

Лемма 2. Если  $\|\Gamma_h'\|_{E_N} \leq \beta_0 C_1^2 h^m \lambda_0$ ,  $\beta_0 \in (0, 1)$ , то

$$\begin{aligned} & \|R_h^{1/2} (b^h(0) - a^h(0))\|_{E_N} < \|u_0\|_\Lambda [(1 - \beta_0) \lambda C_1^2]^{-1} \|\Gamma_h'\|_{\bar{Y}_N} + \\ & + [(1 - \beta_0) \sqrt{\lambda_0}]^{-1} \|\epsilon_h\|_{E_N}. \end{aligned} \quad (11)$$

Лемма 3. Для любого  $t \in [0, T]$  имеет место неравенство

$$\int_0^t \|Q_h^{1/2} \frac{da^h(\tau)}{d\tau}\|_{E_N}^2 d\tau + \|R_h^{1/2} a^h(t)\|_{E_N}^2 \leq M_0, \quad (12)$$

где  $M_0 = \|u_0\|_\Lambda^2 + \|f\|_{L_2(\Omega \times (0, T))}^2$ , а  $a^h(t)$  — решение задачи (6), (6').

Разность решений возмущенной задачи и задачи (6), (6') обозначим через  $W^h(t) = b^h(t) - a^h(t)$ .

Очевидно, что  $W^h(t)$  является решением следующей задачи

$$\begin{aligned} & (Q_h + \Gamma_h) \frac{dW^h}{dt} + (R_h + \Gamma_h') W^h = \\ & = -\Gamma_h \frac{da^h(t)}{dt} - \Gamma_h' a^h(t) + \delta_h(t), \end{aligned} \quad (13)$$

$$W^h(t)|_{t=0} = W^h(0) = b^h(0) - a^h(0), \quad (13')$$

где  $\Gamma_h$  — возмущенные матрицы  $Q_h$ ; предполагается, что матрица  $\Gamma$  симметрична в  $E_N$ .

Если  $\|\Gamma_h\|_{E_N} \leq \alpha_0 C_1^2 h^m$ ,  $\|\Gamma_h'\|_{E_N} \leq \beta_0 C_1^2 h^m \lambda_0$ ,  $\alpha_0, \beta_0 \in (0, 1)$ , то

$$\begin{aligned} & \int_0^t \|Q_h^{1/2} \frac{dW^h(\tau)}{d\tau}\|_{\bar{X}_N}^2 d\tau + \|R_h^{1/2} W^h(t)\|_{\bar{X}_N}^2 < \\ & < p_0 \|\epsilon_h\|_{E_N}^2 + p_1 \|\Gamma_h\|_{\bar{Y}_N}^2 + p_2 \|\Gamma_h'\|_{\bar{Y}_N}^2 + p_3 \|\delta_h\|_{L_2(\Omega \times (0, T); E_N)}^2, \end{aligned} \quad (14)$$

где  $p_i$  ( $i = 0, 1, 2, 3$ ) — положительные постоянные, независимые от  $h$ .

Введем новые гильбертовы пространства  $\bar{H}^h, \bar{H}_\Lambda^h$  с нормами

$$\|u\|_{\bar{H}^h} = h^{m/2} \|u\|_H, \quad \|u\|_{\bar{H}_\Lambda^h} = h^{m/2} \|u\|_\Lambda, \quad \forall u \in H_\Lambda,$$

соответственно.

Тогда левая часть неравенства (14) принимает вид

$$\int_0^t \|\tilde{u}'_h(\tau) - u'_h(\tau)\|_{\bar{H}^h}^2 d\tau + \|\tilde{u}_h(t) - u_h(t)\|_{\bar{H}_\Lambda^h}^2.$$

**Теорема 1.** Процесс определения приближенного решения задачи (1)–(3) по МКЭ устойчив в пространствах  $L_2((0, T); \bar{H}_\Lambda^h)$ ,  $C((0, T); \bar{H}_\Lambda^h)$ , а процесс определения первой производной устойчив в пространстве  $L_2((0, T); \bar{H}^h)$ .

**Теорема 2.** Процесс определения приближенного решения задачи (1)–(3) по МКЭ устойчив в пространстве  $C((0, \infty); \bar{H}^h)$ , если  $f \in L_2(\Omega \times (0, \infty))$ .

**Замечание.** Если рассмотреть произвольные краевые условия, обеспечивающие положительную определенность оператора  $A$ , то область  $\Omega$  нужно брать параллелепипедом. В этом случае линейным преобразованием независимых переменных параллелепипед отображается на куб и все рассуждения проводятся для кубических областей.

#### Литература

1. Михлин С. Г. Зап. науч. семинаров Ленингр. мат. ин-та АН СССР, 48, 32–188, 1974.
2. Михлин С. Г. Линейные уравнения в частных производных. Высшая школа, М., 1977.
3. Стрениг З. Г., Фикс Дж. Теория метода конечных элементов. Мир, М., 1977.
4. Велиев М. А. ДАН СССР, 157, № 1, 16–19, 1964.

АГУ им. С. М. Кирова

Поступило 13. V 1980

М. А. Вәлиев

#### ПАРАБОЛИК ТӘНЛИКЛӘР ҮЧҮН СОНЛУ ЕЛЕМЕНТЛӘР ҮСУЛУНУН (СЕУ) ДАЈАНЫГЛЫҒЫ ҺАҒГЫНДА

Мәғаләдә чохәлчүлү сонлу  $\Omega$  областында.

$$\frac{\partial u}{\partial t} + \sum_{k=0}^s \sum_{|\alpha|=|\beta|=0} (-1)^k D^\alpha (A_{\alpha\beta}(x) D^\beta u) = f(x, t),$$

$$x \in \Omega, \quad t \in (0, T),$$

$$\Gamma = \partial\Omega \quad D^\gamma u|_\Gamma = 0, \quad |\gamma| < s-1,$$

$$u(x, t)|_{t=0} = u_0(x)$$

мәсәләсінә бахылыр. Бурада  $A_{\alpha\beta}(x) = A_{\beta\alpha}^{(x)}$  функцијалары  $\Omega$  областында өлчүлән вә мәйдуддурлар;  $u_0(x)$ ,  $f(x, t)$  функцијалары верилмишдир вә  $f \in L_2(\Omega \times (0, T))$ .

Сонлу элементләр үсулу илә төғриби һәлләр ардычыллығынның дајанығлығи көстәрилик.

M. A. Veliev

#### ABOUT THE STABILITY OF FINITE ELEMENTS METHOD FOR PARABOLIC EQUATIONS

In this paper the stability of the approximative solutions problem (1)–(3) with the finite elements method is studied.

Р. Д. ГУЛИЕВ

#### КУБАТУРНАЯ ФОРМУЛА ДЛЯ МНОГОМЕРНОГО СИНГУЛЯРНОГО ИНТЕГРАЛА ПО ОГРАНИЧЕННОЙ ОБЛАСТИ

(Представлено академиком АН Азербайджанской ССР Ф. Г. Максудовым)

Пусть  $\Omega$  — ограниченная область в  $R^2$  с границей  $\Gamma$ ;  $|x|$  — евклидова норма  $x \in R^2$ .

В этой статье для сингулярного интеграла вида

$$\tilde{u}(x) = \int_{\Omega} \frac{f(x, \theta)}{|y-x|^2} u(y) dy, \quad x \in \Omega, \quad (1)$$

понимаемого в смысле главного значения, где  $\theta = (y-x)/|y-x|^{-1}$  рассматривается усложненная кубатурная формула и приводится оценка ее погрешности.

1. Пусть дана произвольная прямоугольная декартова система координат  $Ox_1x_2$ .

Покроем область  $\Omega$  системой квадратов  $\Omega_{v,h}$  квадратной решетки с шагом  $h$  и со сторонами параллельными осям координат. Пусть  $N_h$  — множество тех  $v$ , для которых  $\Omega_{v,h} \subset \Omega$ ,  $x_{v,h}$  — центр квадрата  $\Omega_{v,h}$ . Обозначим:

$$\Omega^* = \bigcup_{v \in N_h} \Omega_{v,h}$$

Очевидно, заданная квадратная решетка индуцирует разбиение координатных осей. Для любой точки  $(\alpha, \beta) \in \Omega$  через  $\alpha_*(\beta_*)$  и  $\alpha^*(\beta^*)$  обозначим ближайшие к точке  $\alpha(\beta)$  точки разбиения оси  $Ox_1(Ox_2)$  соответственно слева и справа. Причем, будем считать  $\alpha_* = \alpha^* = \alpha = \beta_* = \beta^* = \beta$ , если  $\alpha(\beta)$  — есть точка разбиения.

Пусть  $x = (x_1, x_2) \in \Omega$ . Обозначим  $\Omega_x = \Pi(x) \cap \Omega$ , где

$$\Pi(x) = \left[ \left( x_1 - \frac{h}{2} \right)_*, \left( x_1 + \frac{h}{2} \right)^* \right] \times \left[ \left( x_2 - \frac{h}{2} \right)_*, \left( x_2 + \frac{h}{2} \right)^* \right].$$

Для сингулярного интеграла

$$\tilde{u}(x) = \int_{\Omega} \frac{f(x, \theta)}{|y-x|^2} [u(y) - u(x)] dy + u(x) \int_{\Omega} \frac{f(x, \theta)}{|y-x|^2} dy$$

рассмотрим усложненную кубатурную формулу

$$\tilde{u}(x) \approx L(u; x) =$$

$$= h^2 \sum_{(v \in N_h, \Omega_{v,h} \subset \Omega^* \setminus \Omega_x)} \frac{f(x, \theta_{v,h})}{|x_{v,h} - x|^2} [u(x_{v,h}) - u(x)] + u(x) \int_{\Omega} \frac{f(x, \theta)}{|y-x|^2} dy, \quad (2)$$

где  $\theta_{v,h} = (x_{v,h} - x)/|x_{v,h} - x|^{-1}$ .

Тогда погрешность кубатурной формулы (2) имеет вид

$$\begin{aligned} \tilde{u}(x) - L(u; x) &= \int_{\Omega} \frac{f(x, \theta)}{|y-x|^2} [u(y) - u(x)] dy + \\ &+ \sum_{\substack{(\nu+\varrho_{\nu,h} \in \Omega^* \setminus \Omega_x) \\ \varrho_{\nu,h}}} \int_{\varrho_{\nu,h}} \left[ \frac{f(x, \theta)}{|y-x|^2} (u(y) - u(x)) - \right. \\ &\left. - \frac{f(x, \theta_{\nu,h})}{|x_{\nu,h} - x|^2} (u(x_{\nu,h}) - u(x)) \right] du + \\ &+ \int_{\Omega \setminus (2^* \cup \Omega_x)} \frac{f(x, \theta)}{|y-x|^2} [u(y) - u(x)] dy. \end{aligned}$$

2. Всюду в дальнейшем будем предполагать, что плотность  $u(y)$  и характеристика  $f(x, \theta)$  сингулярного интеграла (1) удовлетворяют следующим условиям:

- I.  $u \in H_\alpha \Omega$ ,  $0 < \alpha \leq 1$  (условие Гельдера с показателем  $\alpha$ );
- II.  $f(x, \theta)$  непрерывна по  $x$  равномерно относительно  $\theta$  и существует число  $L > 0$  такое, что при любых  $x \in \Omega$  и  $\theta_1, \theta_2 \in \Gamma$  ( $\Gamma$  — единичная окружность, которую пробегает точка  $\theta$ )

$$|f(x, \theta_1) - f(x, \theta_2)| \leq L |\theta_1 - \theta_2|;$$

$$\text{III. } \int_{\Gamma} f(x, \theta) dS = 0.$$

Известно [1], что при условиях I—III сингулярный интеграл (1) существует в смысле главного значения во всех точках  $x \in \Omega$ .

Обозначим через  $F(L)$  класс функций  $f(x, \theta)$ , удовлетворяющих условиям II и III.

Далее, введем обозначения:

$$H(u, \alpha) = \sup_{x \neq y} \frac{|u(x) - u(y)|}{|x - y|^\alpha}, \quad C = \sup_{x \in \Omega, \theta \in \Gamma} |f(x, \theta)|,$$

$$r(x) = \inf_{y \in \Gamma} |x - y| - \text{расстояние от } x \in R^2 \text{ до } \Gamma,$$

$$\Omega_\varepsilon(\Gamma) = \{y \in \Omega \mid r(y) < \varepsilon\}.$$

Введем характеристику:

$$\mu_x(t) = \int_{\Omega_{2\sqrt{2t}}(\Gamma) \setminus K(x, \frac{t}{2})} \frac{dy}{|y-x|^{2-\alpha}},$$

где  $0 < \alpha \leq 1$ , а  $K(a, r)$  — открытый круг радиуса  $r$  с центром в точке  $a$ . Очевидно, что при фиксированном  $x \in \Omega \lim_{t \rightarrow 0} \mu_x(t) = 0$ .

Теперь займемся оценкой погрешности (3). Имеет место

Теорема 1. Пусть  $u \in H_\alpha(\Omega)$  и  $f \in F(L)$ . Тогда справедлива оценка

$$|\tilde{u}(x) - L(u; x)| \leq M_\alpha \max\{L, C\} H(u, \alpha) \left( h^\alpha \ln \frac{2d}{h} + \mu_x(h) \right),$$

где  $M_\alpha$  — постоянная, зависящая лишь от  $\alpha$ , а  $d = \sup_{x, y \in \Omega} |x - y|$  — диаметр множества  $\Omega$ .

Введем в рассмотрение класс  $D$  областей  $\Omega$ , у которых для любого  $x \in \Omega \mu_x(t) = O(t^\alpha)$ ,  $0 < \alpha \leq 1$ , т. е. существует такая постоянная  $K > 0$  что при всех  $x \in \Omega$

$$\mu_x(t) \leq Kt^\alpha.$$

Для таких областей справедлива  
Теорема 2. Пусть  $u \in H_\alpha(\Omega)$ ,  $\Omega \in D$  и  $f \in F(L)$ . Тогда справедлива оценка

$$|\tilde{u}(x) - L(u; x)| \leq N_\alpha \max\{L, C\} H(u, \alpha) h^\alpha \ln \frac{2d}{h},$$

где  $N_\alpha$  — постоянная, зависящая лишь от  $\alpha$ .

3. Пусть  $\gamma$  — произвольная кривая,  $\gamma \subset R^2$ . Введем характеристику кривой  $\gamma$  [2, 3]

$$\theta(\delta) = \sup_{t \in \gamma} \theta_t(\delta), \quad \delta \in (0, d_\gamma], \quad d_\gamma = \sup_{t, \tau \in \gamma} |t - \tau|,$$

где  $\theta_t(\delta) = \text{mes } \gamma_\delta(t)$ ,  $\delta \in (0, d_\gamma]$ ,  $\gamma_\delta(t) = \{y \in \gamma \mid |y - t| \leq \delta\}$ .

Функция  $\theta(\delta)$  обладает следующими свойствами:  $\theta(\delta)$  не убывает на  $(0, d_\gamma]$ .  $\lim_{\delta \rightarrow 0} \theta(\delta) = 0$  и на  $(0, d_\gamma]$  справедливо неравенство  $\theta(\delta) \geq \delta$ .

Теорема 3. Пусть  $\Omega$  — ограниченная область в  $R^2$  с границей  $\Gamma$ , удовлетворяющей условию  $\theta(\delta) \sim \delta$ . Тогда при всех  $x \in \Omega$

$$\mu_x(x) = O(t^\alpha), \quad 0 < \alpha \leq 1.$$

Замечание. Известно, что класс кривых, обладающих свойством  $\theta(\delta) \sim \delta$ , содержит все гладкие, кусочно-гладкие кривые,  $K$  — кривые.

Из теорем 2 и 3 вытекает

Следствие. Пусть  $\Omega$  — ограниченная область в  $R^2$  с границей  $\Gamma$  удовлетворяющей условию  $\theta(\delta) \sim \delta$ . Тогда при  $u \in H_\alpha(\Omega)$  и  $f \in F(L)$  верна оценка

$$|\tilde{u}(x) - L(u; x)| \leq K_\alpha \max\{L, C\} H(u, \alpha) h^\alpha \ln \frac{2d}{h},$$

где  $K_\alpha$  — постоянная, зависящая лишь от  $\alpha$ .

Отметим, что в случае, когда  $\Omega$  — квадрат со сторонами параллельными осям координат этот результат доказан в работе Б. И. Мусаева, рукопись которой была любезно предоставлена автору.

В заключение, автор выражает глубокую благодарность В. В. Салаеву и Б. И. Мусаеву за постановку задачи и внимание к работе.

#### Литература

1. Михлин С. Г. Многомерные сингулярные интегралы и интегральные уравнения. М., 1962.
2. Салаев В. В. Депон. в ВИНТИ, № 1843—74, 17.
3. Салаев В. В. Матем. заметки, № 19, № 3, 1976.

АГУ им. С. М. Кирова

Поступило 1. XII 1980

Р. Ч. Гулиев

#### МЭБДУД ОБЛАСТ ҮЗРЭ ЧОХӨЛЧҮЛҮ СИНГУЛЛАР ИНТЕГРАЛ ҮЧҮН КУБАТУР ДҮСТҮР

Мэгалэдэ баш мэ'нада баша дүшүлэн

$$\tilde{u}(x) = \int_{\Omega} \frac{f(x, \theta)}{|y-x|^2} u(y) dy, \quad x \in \Omega$$

сингуллар интеграл үчүн Кубатур дүстүр гурулур вэ бу налда бурахылан хэта гин-мэтлэндириллр. Бурада  $\Omega$  икиөлчүлү областдыр,  $\theta = (y-x)|y-x|^{-1}$  вэ  $|x| \in R^2$  үнсүрүнүн евклид нормасыдыр.

CUBATURE FORMULA FOR MULTIDIMENSIONAL  
SINGULAR INTEGRAL ALONG BOUNDED DOMAIN

Let  $\Omega$  be bounded domain in  $R^n$ ,  $|x|$  is euclidean norm of  $x \in R^n$ .  
In this article for singular integral of form

$$\tilde{u}(x) = \int_{\Omega} \frac{f(x, \theta)}{|y-x|^2} u(y) dy, \quad x \in \Omega,$$

understanding in meaning of main value, where  $\theta = (y-x)|y-x|^{-1}$ , cubature formula is considered and estimate of error of this formula is obtained.

С. ОТАКУЛОВ, М. А. ЯГУБОВ

О НЕКОТОРЫХ СВОЙСТВАХ ДИФФЕРЕНЦИАЛЬНЫХ  
ВКЛЮЧЕНИЙ И ИХ ПРИЛОЖЕНИЯХ В ОПТИМАЛЬНОЕ  
УПРАВЛЕНИЕ

(Представлено академиком АН Азербайджанской ССР И. И. Ибрагимовым)

В работе сначала исследуется зависимость решения ослабленной задачи от начального множества и ст правой части дифференциального включения, а затем даются некоторые приложения полученных результатов к задаче оптимального управления.

Рассмотрим первоначальную задачу Коши

$$\dot{x} \in F(t, x), \quad t \in J = [0, T], \quad x(0) \in D \left( \dot{x} = \frac{dx}{dt} \right) \quad (0,1)$$

и ослабленную задачу ([1])

$$\dot{x} \in \overline{CO} F(t, x), \quad t \in J, \quad x(0) \in D, \quad (0,2)$$

где  $x \in R^n$ ,  $F(t, x)$  — заданное многозначное отображение,  $\overline{CO} F(\cdot)$  — выпуклое замыкание  $F(\cdot)$ ,  $D \subset R^n$  — заданное множество.

Под решениями рассматриваемых задач будем понимать абсолютно непрерывные  $n$ -вектор-функции  $x(t)$  почти всюду на  $J$ , удовлетворяющие соответствующему дифференциальному включению и начальному условию  $x(0) \in D$ .

Обозначим через  $H(D, \overline{CO} F)$  множество решений задачи (0,2), через  $V(X)$  совокупность всех непустых замкнутых подмножеств метрического пространства  $X$ , а через  $W(X)$  — совокупность всех непустых компактов из  $X$ . Введем норму непустого множества  $A \subset X$ , полагая

$$\|A\| = \alpha(\{0\}, A),$$

где  $\alpha(\cdot, \cdot)$  — хаусдорфова метрика,  $0$  — нулевой элемент  $X$ .

1. Через  $L_1 C$  обозначим класс многозначных отображений  $F(t, x): J \times R^n \rightarrow V(R^n)$ , удовлетворяющих следующим условиям: 1) для всех  $x \in R^n$  отображение  $t \rightarrow F(t, x)$  измеримо на  $J$ ; 2) почти для всех  $t \in J$  отображение  $x \rightarrow F(t, x)$  непрерывно на  $R^n$ ; 3) существуют неотрицательные суммируемые на  $J$  функции  $g_F^1(t)$ ,  $g_F^2(t)$ , такие, что  $\|F(t, x)\| \leq g_F^1(t)|x| + g_F^2(t)$  почти при всех  $t \in J$  и  $\forall x \in R^n$ ,  $|x|$  — норма.

Будем говорить, что  $\{F_k(t, x)\}$  сходится к  $F(t, x)$  если для любого  $\varphi(\cdot) \in C^n[0, T]$

$$\int_0^T \alpha(F_k(t, \varphi(t)), F(t, \varphi(t))) dt \rightarrow 0 \quad \text{при } k \rightarrow \infty \quad (1,1)$$

Существование интеграла в (1,1) следует из измеримости функции  $\alpha(F_\kappa(t, \varphi(t)), F(t, \varphi(t)))$  и из неравенства

$$\alpha(F_\kappa(t, \varphi(t)), F(t, \varphi(t))) \leq \|F_\kappa(t, \varphi(t))\| + \|F(t, \varphi(t))\| < \\ < [g_{F_\kappa}^1(t) + g_{F_\kappa}^2(t)] |\varphi(t)| + g_{F_\kappa}^2(t) + g_F^2(t) = g_\kappa(t), g_\kappa(\cdot) \in L_1[0, T].$$

Обозначим через  $\Omega_1$  — множество элементов  $F$  из  $L_1C$  таких, что для любого ограниченного множества  $Q \subset R^n$

$$\alpha(F(t, x_1), F(t, x_2)) \leq \omega_{FQ}(t, |x_1 - x_2|) \quad (1,2)$$

почти при всех  $t \in J$  и всех  $x_1, x_2 \in Q$ , где  $\omega_{FQ}(t, v)$  — функция типа Камке, т. е. функция  $\omega_{FQ}(t, v) : J \times R^+ \rightarrow R^+, R^+$  — положительная полуось) измерима по  $t$  при каждом фиксированном  $v \in R^+$ , не убывает и непрерывна по  $v$  при почти всех фиксированных  $t \in J$ , причем  $\omega_{FQ}(t, 0) = 0$  ( $\forall t \in J$ ),  $\omega_{FQ}(t, v) \leq l_{FQ}(t)(v+1)$  ( $\forall (t, v) \in J \times R^+$ ,  $l_{FQ}(\cdot) \in L_1[0, T]$ ,  $v(t) \equiv 0$  — единственное решение задачи:

$$\dot{v} = \omega_{FQ}(t, v), t \in J, v(0) = 0 \quad (1,3)$$

Далее обозначим через  $K_1(\omega_Q)$  множество элементов из  $\Omega_1$ , которые удовлетворяют условию (1,2) с одной и той же функцией  $\omega_Q(t, v)$ .

Лемма 1,1. Пусть  $F \in L_1C$ . Тогда  $H(D, \overline{COF}) \in W(C^n[0, T])$ ,  $AD \in W(R^n)$ .

Теорема 1,1 Пусть  $\{F_\kappa\} \subset K_1(\omega_\kappa)$  сходится к  $F \in L_1C$ , причем

$$\sup_\kappa \int_0^T [g_{F_\kappa}^1(t) + g_{F_\kappa}^2(t)] dt < +\infty$$

и  $\{D_\kappa\} \subset W(R^n)$  сходится к  $D \in W(R^n)$ , т. е.  $\alpha(D_\kappa, D) \rightarrow 0, \kappa \rightarrow \infty$ . Тогда

$$\alpha(H(D_\kappa, \overline{COF_\kappa}), H(D, \overline{COF})) \rightarrow 0, \kappa \rightarrow \infty \quad (1,4)$$

Рассмотрим задачу минимизации функционала  $\Phi(x)$  на решениях (0,2).

Если  $x^* \in H(D, \overline{COF})$  минимизирует функционал  $\Phi(x)$ , то  $x^* = x^*(t)$  назовем оптимальным решением задачи (0,2).

Теорема 1,2. Пусть а)  $\{F_\kappa\} \subset K_1(\omega_\kappa)$  сходится к  $F \in L_1C$ , причем существуют функции  $g^1(\cdot), g^2(\cdot) \in L_1[0, T]$ , такие что

$$g_{F_\kappa}^1(t) \leq g^1(t), g_{F_\kappa}^2(t) \leq g^2(t), i = 1, 2; \kappa = 1, 2, \dots$$

б)  $\alpha(D_\kappa, D) \rightarrow 0$  при  $\kappa \rightarrow \infty, D_\kappa, D \in W(R^n)$

в)  $\Phi(x) : C^n[0, T] \rightarrow R^1$  непрерывен

Тогда предел каждой сходящейся последовательности оптимальных решений ослабленных задач

$$\dot{x}_\kappa \in \overline{COF_\kappa}(t, x_\kappa), t \in J, x_\kappa(0) \in D_\kappa \quad (1,5)$$

является оптимальным решением задачи (0,2).

Доказательство. Прежде всего заметим, что условия теоремы гарантирует существование оптимального решения (1,5).

В силу леммы 1,1 множество  $H(D, \overline{COF})$  непусто. Поэтому, используя условия теоремы и применяя лемму Гронуолла получаем, что для любого  $x \in B = \bigcup_{\kappa=1}^{\infty} H(D_\kappa, \overline{COF_\kappa}) \cup H(D, \overline{COF})$

$$|x(t)| < \left( M + \int_0^T g^2(t) dt \right) \exp \left( \int_0^T g^1(t) dt \right) = M_1, t \in J,$$

где  $M = \text{const}$ , такая, что  $\|D\| \leq M, \kappa = 1, 2, \dots$

Тогда, используя неравенство  $|\dot{x}(t)| \leq g^1(t)|x(t)| + g^2(t)$ , получаем что

$$|x(t_1) - x(t_2)| \leq \left| \int_{t_1}^{t_2} [M_1 g^1(t) + g^2(t)] dt \right|, t_1, t_2 \in J$$

Эти неравенства показывают, что  $B$  равномерно ограничено и равномерно непрерывно. Далее, так как  $\overline{H(D_\kappa, \overline{COF_\kappa})}, H(D, \overline{COF})$  замкнуты в  $C^n[0, T]$  и в силу теоремы 1,1 а)  $(H(D_\kappa, \overline{COF_\kappa}), H(D, \overline{COF})) \rightarrow 0$ , то  $B$  замкнуто в  $C^n[0, T]$ . Следовательно,  $B \in W(C^n[0, T])$ . Поэтому, используя теоремы 1,1 и непрерывность  $\Phi(x)$ , можно показать справедливость

$$\alpha(\Phi(H(D_\kappa, \overline{COF_\kappa})), \Phi(H(D, \overline{COF}))) \rightarrow 0, \kappa \rightarrow \infty$$

из которого следует, что

$$\lim_{\kappa \rightarrow \infty} \min \{ \Phi(x) : x \in H(D_\kappa, \overline{COF_\kappa}) \} = \min \{ \Phi(x) : x \in H(D, \overline{COF}) \} \quad (1,6)$$

Пусть  $x_\kappa = x_\kappa(t)$  — оптимальное решение ослабленной задачи (1,5) и не нарушая общности предположим, что  $x_\kappa(t) \rightarrow x^*(t)$  равномерно на  $J$ . В силу теоремы 1,1  $x^* \in H(D, \overline{COF})$ . Следовательно, согласно (1,6)

$$\min \{ \Phi(x) : x \in H(D, \overline{COF}) \} = \lim_{\kappa \rightarrow \infty} \min \{ \Phi(x) : x \in H(D_\kappa, \overline{COF_\kappa}) \} = \\ = \lim_{\kappa \rightarrow \infty} \Phi(x_\kappa) = \Phi(x^*),$$

т. е.  $x^* = x^*(t)$  — оптимальное решение (0,2). Теорема доказана.

2. Теперь рассмотрим задачу минимизации функционала  $\Phi(x)$  при условиях

$$\dot{x} = f(t, x, u), t \in J, x(0) \in D \quad (2,1)$$

За класс допустимых управлений берется множество измеримых на  $J$   $r$ -вектор-функций  $u = u(t)$ , таких, что каждому  $u(t)$  соответствует абсолютно непрерывная  $n$ -вектор-функция  $x = x(t)$ , почти всюду на  $J$  удовлетворяющая уравнения  $\dot{x} = f(t, x, u(t))$ , условию  $x(0) \in D$ , причем  $u(t) \in U(t, x(t))$  почти при всех  $t \in J$  (см. [2]).

Эту задачу назовем первоначальной задачей 1, а задачу нахождения минимума функционала  $\Phi(x)$  при условиях

$$\dot{x} \in \overline{CO} f(t, x, U(t, x)), t \in J, x(0) \in D$$

ослабленной задачей 1.

Будем говорить, что  $f(t, x, u)$  удовлетворяет условию А, если

1) для всех  $(x, u) \in R^n \times R^r$  отображение  $t \rightarrow f(t, x, u)$  измеримо по Лебегу на  $J$ ; 2) для каждого ограниченного  $Q \subset R^n$  неравенство

$$|f(t, x_1, u) - f(t, x_2, u)| \leq \mu_{1Q}(t) |x_1 - x_2|, x_1, x_2 \in Q$$

выполняется почти для всех  $t \in J$  и всех  $u \in R^r$ , где  $\mu_{1Q}(\cdot) \in L_1[0, T]$ ;

3)  $|f(t, x, u_1) - f(t, x, u_2)| \leq l_{1Q}(t) |u_1 - u_2|$  почти для всех  $t \in J$  и всех  $x \in Q$ , где  $l_{1Q}(\cdot) \in L_2[0, T]$ ; 4)  $|f(t, x, u)| \leq g_1^1(t)|x| + g_1^2(t)|u| +$



$+g_i^3(t)$  почти при всех  $t \in J$  и всех  $(x, u) \in R^n \times R^r$ , где  $g_i^1(\cdot), g_i^2(\cdot) \in L_1[0, T]$ ,  $g_i^3(\cdot) \in L_2[0, T]$ .

Обозначим через  $L_2C$  класс многозначных отображений  $U(t, x) \times J \times R^n \rightarrow V(R^n)$ , удовлетворяющих условиям: 1) для всех  $x \in K^n$  отображение  $t \rightarrow U(t, x)$  измеримо на  $J$ ; 2) почти для всех  $t \in J$  отображение  $x \rightarrow U(t, x)$  непрерывно на  $K^n$ ; 3) существуют  $g_v^1(\cdot), g_v^2(\cdot) \in L_2[0, T]$  неотрицательные и такие, что

$$\|U(t, x)\| \leq g_v^1(t)|x| + g_v^2(t) \quad (2,2)$$

почти при всех  $t \in J$  и всех  $x \in R^n$ .

Введем понятие предельного перехода в классе  $L_2C$  полагая, что  $U_\kappa = U_\kappa(t, x)$  сходится к  $U = U(t, x)$ , если для любого  $\varphi(\cdot) \in C^n[0, T]$

$$\int_0^T [\alpha(U_\kappa(t, \varphi(t)), U(t, \varphi(t)))]^2 dt \rightarrow 0 \text{ при } \kappa \rightarrow \infty \quad (2,3)$$

Существование интеграла в (2,3) доказывается аналогично (1,1).

Множество элементов из  $L_2C$ , удовлетворяющих условию

$$\alpha(U(t, x_1), U(t, x_2)) \leq \mu_{vQ}(t)|x_1 - x_2| \quad (2,4)$$

почти при всех  $t \in J$  и всех  $x_1, x_2 \in Q$  обозначим через  $\Omega_2$ , а множество всех элементов из  $\Omega_2$ , удовлетворяющих неравенству (2,4) одной и той же функцией  $\mu(t)$  через  $K_2(\mu_Q)$ , где  $Q \in K^n$  — произвольное ограниченное множество,  $\mu_Q(\cdot) \in L_2[0, T]$ .

Нетрудно показать, что если  $f(t, x, u)$  удовлетворяет условию  $A$  и  $U \in L_2C$ , то многозначное отображение  $(t, x) \rightarrow F(t, x) = f(t, x, U(t, x))$  является элементом класса  $L_1C$ , а если  $U \in \Omega_2$ , то  $F \in \Omega_1$ , причем  $\omega_{FQ}(t, v) = [l_Q^1 \mu_{vQ}^{(1)} + \mu_{vQ}^{(2)}] v$ . Поэтому на основе теоремы 1,2 доказывается

**Теорема 2,1** Пусть 1)  $\{U_\kappa\} \subset K_2(\mu_Q)$  сходится к  $U \in L_2C$ ; 2)  $\alpha(D_\kappa, D) \rightarrow 0$  при  $\kappa \rightarrow \infty$  ( $D_\kappa, D \in W(R^n)$ ); 3)  $f_\kappa(t, x, u)$  и  $f(t, x, u)$  удовлетворяют условию  $A$  с одинаковыми  $\mu_Q(t), l_Q(t)$  для всех  $\kappa = 1, 2, \dots$ ; 4) для каждого  $\varphi(\cdot) \in C^n[0, T]$

$$\int_0^T |f_\kappa(t, \varphi(t), u) - f(t, \varphi(t), u)| dt \rightarrow 0, \kappa \rightarrow \infty$$

равномерно по  $u \in R^r$ ; 5) существует  $g(\cdot) \in L_2[0, T]$ , такая, что  $g_{U_\kappa}^1(t) \leq g(t), g_{U_\kappa}^2(t) \leq g(t), i = 1, 2, 3; j = 1, 2, \kappa = 1, 2, \dots$ ; 6)  $\Phi: C^n[0, T] \rightarrow R^1$  непрерывный функционал.

Тогда предел каждой сходящейся последовательности решений ослабленных задач  $\Phi(x_\kappa) \rightarrow \min$  при ограничениях

$$x_\kappa \in \overline{CO} f_\kappa(t, x_\kappa, U_\kappa(t, x_\kappa)) \quad t \in J, x_\kappa(0) \in D_\kappa$$

является решением ослабленной задачи 1.

#### Литература

1. Warga J. J. Math. Anal. and Appl., 4, № 1, 1962.
2. Л и Э. Б., Маркус Л. Основы теории оптимального управления. Наука, М., 1972.
3. Отагулов С. Депониров. рукопись в ВИНТИ, № 3367—78 Деп.

АГУ им. С. М. Кирова

Поступило 4. I. 1980

С. Отагулов, М. Н. Ягубов

#### ДИФФЕРЕНЦИАЛ ДАХИЛОЛМАНЫН БЭЗИ ХАССЭЛЭРИ ВЭ ОНЛАРЫН ОПТИМАЛ ИДАРЭЛЭ ТЭТБИГЛЭРИ ҮАГГЫНДА

Мөгаләдә эввәлчә эифләшдирилмиш мәсәләни һәлләрини башлангыч чохлаудан вә дифференциал дахилолманын сағ тәрәфиндән асыллыгы өйрәнилир, сонра исә алынмыш нәтижәлэрин оптимал идарә мәсәләсинә бәзи тәтбиглэри верилир.

S. Otagulov, M. A. Yagubov

#### ON SOME PROPERTIES OF DIFFERENTIAL INCLUSIONS AND THEIR APPLICATIONS IN OPTIMAL CONTROL

This paper deals with studying the properties of solutions of the problem  $x \in \overline{CO} F(t, x), x(0) \in D$  and the application of the obtained results to the problem of optimal control.

УДК 517.518

МАТЕМАТИКА

Г. М. АМИРАЛИЕВ

О СХОДИМОСТИ РАЗНОСТНЫХ СХЕМ ДЛЯ ПСЕВДО-ПАРАБОЛИЧЕСКОГО УРАВНЕНИЯ

(Представлено академиком АН Азербайджанской ССР А. И. Гусейновым)

Рассмотрим задачу

$$a(x, t) U_{xxt} - u_t - F(x, t, u, u_x, u_{xx}) = 0, (x, t) \in D, \quad (1)$$

$$u(x, 0) = \varphi(x), 0 \leq x < l, \quad (2)$$

$$u(0, t) = g_1(t), u(l, t) = g_2(t), 0 \leq t \leq T, \quad (3)$$

где  $D = \{0 < x < l, 0 < t \leq T\}$ .

Обозначим

$$\Omega_0 = \{(p_0, p_1, p_2) \mid |p_i| \leq \rho_i; i = 0, 1, 2\},$$

$$\Omega_\delta = \{(p_0, p_1, p_2) \mid |p_i| \leq \delta_i + \delta; i = 0, 1, 2\},$$

$\delta > 0$  — вещественное число.

Будем предполагать, что функция  $F(x, t, z, p, r)$  определена в области  $D \times \Omega_\delta$  и в области  $\Omega_\delta$  удовлетворяет условию Липшица по переменным  $z, p, r$  с константами  $C, B$  и  $A$  соответственно.

Кроме того, пусть

$$a(x, t) \geq a_0 > 0 \quad |a_t| \leq a^* < \infty.$$

Далее предположим, что задача (1)–(3) имеет единственное решение  $u(x, t)$  из класса  $C^5(\bar{D})$  и  $(u, u_x, u_{xx}) \in \Omega_0$ .

Численному решению задачи (1)–(3) в случае, когда функция  $F(x, t, z, p, r)$  всюду удовлетворяет условию Липшица, посвящены работы [1, 2]. Кроме того, в предлагаемой заметке нами получена оценка погрешности для сеточного решения в более сильной норме, чем в работе [1].

Будем пользоваться обозначениями из [3, 4].

На сетке  $\omega_{ht} = \omega_h \times \omega_\tau$ , где

$$\omega_h = \{x_l = lh, l = \overline{1, N-1}; Nh = l\}$$

$$\omega_\tau = \{t_j = j\tau, j = \overline{1, M}; M\tau = T\}$$

задачу (1)–(3) аппроксимируем следующей разностной задачей

$$av_{\bar{x}\bar{x}} - v_t - F(x, t, v, v_x, v_{xx}) = 0, \quad (4)$$

$$v_l^0 = \varphi^l, 0 \leq l \leq N, \quad (5)$$

$$v_j^0 = g_{1j}, v_j^M = g_{2j}, 0 \leq j \leq M, \quad (6)$$

Погрешность приближенного решения  $z = u - v$  является решением задачи

$$az_{\bar{x}\bar{x}} - z_t - [F(x, t, u, u_x, u_{xx}) - F(x, t, v, v_x, v_{xx})] + R = 0, \quad (7)$$

$$z_l^0 = 0, 0 \leq l \leq N, \quad (8)$$

$$z_j^0 = 0, z_j^M = 0, 0 \leq j \leq M, \quad (9)$$

где  $R$  — погрешность аппроксимации, имеющей порядок  $O(h^2 + \tau)$ . Пусть удовлетворяется условие

$$r \max_{\omega_\tau} \|R\|_C \leq \delta, \quad (10)$$

где

$$r = \max\{r_0, r_1, r_2\},$$

$$r_0 = a_0^{-\frac{1}{2}} T l \exp\{1 + c_0 T\}, r_1 = 2a_0^{-\frac{1}{2}} T (1 + l + a_0^{-1} l) \exp\{1 + c_0 T\},$$

$$r_2 = a_0^{-1} (r_0 + T(1 + Cr_0 + Br_1)) \exp\{Ta_0^{-1}(a^* + A)\},$$

$$c_0 = \max\left\{a_0^{-1}(a^* + 6Ta_0^{-1}A^2), 6Ta_0^{-1}\left(B^2 + \frac{l^2}{8}C^2\right)\right\}.$$

Оценим решение задачи (7)–(9). На нулевом слое значения  $\tau_x$  и  $v_{xx}$ , очевидно, принадлежат области  $\Omega_\delta$ . Предположим, что это имеет место и для слоя с номером  $j-1$ , докажем его для  $j$ -го слоя.

Умножив обе части уравнения (7) на  $hz_{\bar{x}\bar{x}}$ , просуммировав по области  $\omega_h$ , после очевидных преобразований получим

$$h \sum_{\omega_h} (az_{\bar{x}\bar{x}}^2)_t + h \sum_{\omega_h^+} (z_x^2)_t \leq h \sum_{\omega_h} a_t z_{\bar{x}\bar{x}}^2 + h \sum_{\omega_h} [F(x, t, u, u_x, u_{xx}) - F(x, t, v, v_x, v_{xx})] z_{\bar{x}\bar{x}} + h \sum_{\omega_h} Rz_{\bar{x}\bar{x}}.$$

Пользуясь условиями Липшица, а также  $\epsilon$ -неравенством будем иметь

$$h \sum_{\omega_h} (az_{\bar{x}\bar{x}}^2)_t + h \sum_{\omega_h^+} (z_x^2)_t + h \sum_{\omega_h} a_t z_{\bar{x}\bar{x}}^2 + 2h \sum_{\omega_h} |z_{\bar{x}\bar{x}}| |C| |z| + B |z_x^v| + A |z_{xx}^v| + 2h \sum_{\omega_h} Rz_{\bar{x}\bar{x}} \leq h \sum_{\omega_h} a_t z_{\bar{x}\bar{x}}^2 + T^{-1} h \sum_{\omega_h} az_{\bar{x}\bar{x}}^2 + 6Ta_0^{-1} h \sum_{\omega_h} \{C^2 z^2 + B^2 z_x^2 + A^2 z_{xx}^2\} + 2Ta_0^{-1} h \sum_{\omega_h} R^2.$$

Отсюда получим неравенство

$$h \sum_{\omega_h} (az_{\bar{x}\bar{x}}^2)_t + h \sum_{\omega_h^+} (z_x^2)_t - T^{-1} h \sum_{\omega_h} az_{\bar{x}\bar{x}}^2 \leq (a^* + 6Ta_0^{-1}A^2) h \sum_{\omega_h} z_{\bar{x}\bar{x}}^2 + 6Ta_0^{-1}B^2 h \sum_{\omega_h^+} z_x^2 + 6Ta_0^{-1}C^2 h \sum_{\omega_h} z^2 + 2Ta_0^{-1} h \sum_{\omega_h} R^2. \quad (11)$$

В силу разностного неравенства вложения

$$\|z\|_0^2 \leq \frac{l^2}{8} \|z_{\bar{x}\bar{x}}\|_0^2$$

из (11) следует следующее неравенство

$$h \sum_{\omega_h} (az_{xx}^2)_t + h \sum_{\omega_h} (z_x^2)_t - T^{-1} h \sum_{\omega_h} az_{xx}^2 \leq (a^* + 6Ta_0^{-1}A^2) a^{-1} h \times \\ \times \sum_{\omega_h} a^v z_{xx}^2 + 6Ta_0^{-1} \left( B^2 + \frac{l^2}{8} C^2 \right) h \sum_{\omega_h} z_x^2 + 2Ta_0^{-1} h \sum_{\omega_h} R^2 \leq \\ \leq c_0 \theta + 2Ta_0^{-1} \|R\|_0^2, \quad (12)$$

где

$$\theta(t) = h \sum_{\omega_h} az_{xx}^2 + h \sum_{\omega_h} z_x^2.$$

Из неравенства (12) получаем

$$\theta_j \leq \frac{2Ta_0^{-1}}{1-T^{-1}\tau} \tau \sum_{k=0}^{j-1} \left( \frac{1+c_0\tau}{1-T^{-1}\tau} \right)^k \|R^{j-k}\|_0^2 \leq \\ \leq 4a_0^{-1} T^2 \exp\{2(1+c_0T)\} \max_{1 \leq k \leq j} \|R^k\|_0^2. \quad (13)$$

Из оценки (13) с помощью разностных неравенств [вложения]

$$\|z\|_C^2 \leq \frac{l}{4} \|z_x\|_0^2, \|z_x\|_C^2 \leq \varepsilon \|z_{xx}\|_0^2 + \left( \frac{1}{\varepsilon} + \frac{1}{l} \right) \|z_x\|_0^2$$

получаются следующие оценки

$$\|z\|_C^2 \leq a_0^{-1} T^2 l \exp\{2(1+c_0T)\} \max_{\omega_t} \|R\|_0^2 \leq r_0^2 \max_{\omega_t} \|R\|_C^2, \quad (14)$$

$$\|z_{xx}\|_0^2 \leq 4a_0^{-2} T^2 \exp\{2(1+c_0T)\} \max_{\omega_t} \|R\|_0^2,$$

$$\|z_x\|_C^2 \leq a \|z_{xx}\|_0^2 + (a_0^{-1} + l^{-1}) \|z_x\|_0^2 \leq r_1^2 \max_{\omega_t} \|R\|_C^2. \quad (15)$$

Оценим теперь величину  $\|z_{xx}^j\|_C$ . Из уравнения (7) имеем

$$(az_{xx}^j)_t - z_{xx}^j = a_t^v z_{xx}^j + F(x, t, u^v, u_x^v, u_{xx}^v) - F(x, t, v^v, v_x^v, v_{xx}^v) + R.$$

Если умножить это равенство на  $\tau$  и сложить с  $k=1$  по  $k=j$  то получим

$$az_{xx}^j = z^j + \tau \sum_{k=1}^j a_t z_{xx}^{k-1} + \tau \sum_{k=1}^j \left[ F(x, t_k, u^{k-1}, u_x^{k-1}, u_{xx}^{k-1}) - \right. \\ \left. - F(x, t_k, v^{k-1}, v_x^{k-1}, v_{xx}^{k-1}) \right] + \tau \sum_{k=1}^j R^k.$$

Следовательно,

$$|az_{xx}^j| \leq \|z^j\|_C + \tau \sum_{k=1}^j [C \|z^{k-1}\|_C + B \|z_x^{k-1}\|_C] + \\ + (a^* + A) \tau \sum_{k=1}^j \|z_{xx}^{k-1}\|_C + \tau \sum_{k=1}^j \|R^k\|_C.$$

Учитывая здесь оценки (14) и (15), находим, что

$$\|z_{xx}^j\|_C \leq [r_0 + T(1 + Cr_0 + Br_1)] a_0^{-1} \max_{\omega_t} \|R\|_C + a_0^{-1} (a^* + \\ + A) \tau \sum_{k=1}^j \|z_{xx}^{k-1}\|_C,$$

из которого с помощью разностного аналога леммы Гронуолла следует

$$\|z_{xx}^j\|_C \leq r_2 \max_{\omega_t} \|R\|_C. \quad (16)$$

Теперь, учитывая условие (10), очевидно, что  $(v^j, v_x^j, v_{xx}^j) \in \Omega_3$ .

На основании полученных результатов можно сформулировать теорему.

**Теорема 1.** Пусть задача (1)–(3) имеет единственное решение из класса  $C^5(\bar{D})$  и функция  $F(x, t, z, p, r)$  удовлетворяет условию Липшица по переменным  $z, p, r$  в области  $\Omega_3$ .

Тогда решение задачи (4)–(6) и ее первые и вторые разностные производные по  $x$  равномерно сходятся соответственно к решению задачи (1)–(3) и ее первым и вторым производным со скоростью  $O(h^2 + \tau)$ . Для погрешностей, при условии (10), справедливы оценки (14), (15) и (16).

Теперь рассмотрим третью смешанную задачу для уравнения (1), а именно вместо условий (3) рассмотрим условия

$$(u_x - c_1(t)u)|_{x=0} = f_1(t), (u_x + a_2(t)u)|_{x=1} = f_2(t), \quad (17)$$

где  $a_1(t) \geq a_0 \geq 0$  и  $\left| \frac{\partial a_1(t)}{\partial t} \right| \leq a_1^* < \infty, i=1, 2$ .

На сетке  $\bar{\omega}_h$  краевые условия (17) аппроксимируем следующим образом

$$\tau_{x,0} - a_1 v_0 = f_1, v_{x,N} + a_2 v_N = f_2. \quad (18)$$

Аналогичным образом доказывается следующая теорема.

**Теорема 2.** Пусть задача (1)–(2), (17) имеет единственное решение из класса  $C^5(\bar{D})$  и функция  $F(x, t, z, p, r)$  удовлетворяет условию Липшица по переменным  $z, p$  и  $r$  в области  $\Omega_3$ .

Тогда решение задачи (4)–(5), (18) и ее первые и вторые производные по  $x$  равномерно сходятся соответственно к решению задачи (1)–(2), (17) и ее производным со скоростью  $O(h + \tau)$ .

#### Литература

1. Ford W. H., Ting T. W. SIAM J. Numer. Anal., 1974, 11, № 1, 155–169.
2. Амралиев Г. М. Уч. зап. МВ и ССО Азерб. ССР. серия физ.-матем. наук. 1979, № 1, 29–39.
3. Самарский А. А. Введение в теорию разностных схем. Наука, 1971.
4. Самарский А. А., Андреев В. Б. Разностные схемы для эллиптических уравнений. Наука, 1976.

АГУ им. С. К. Кирова

Поступило 5. II 1980.

ПСЕВДО-ПАРАБОЛИК ТӘНЛИК ҮЧҮН ФӘРГЛӘР СХЕМЛӘРИНИН  
ҖЫҖЫЛМАСЫ ҺАҖҖЫНДА

МәҖәлә

$$a(x, t) u_{xxt} - u_t - F(x, t, u, u_x, u_{xx}) = 0, 0 < x < l, 0 < t \leq T,$$

шәклиндә тәнлик үчүн ҖоҖулмуш биринчи вә үчүнчү ҖарышыҖ мәсәләләрин фәргләр  
усулу илә һәллине һәср едиамишдир.

Бу типли мәсәләләрин сонлу-фәргләр усулу илә һәллине һәср едилән ишләрин  
һамысында  $F(x, t, u, p, r)$  функцијасынын һәр Җердә Липшитс шәртини өдәдији фәрз  
олунур.

МәҖәләдә  $F(x, t, u, p, r)$  функцијасы үзәрине анҖаҖ локал Липшитс шәрти Җо-  
Җулур.

Бахылан һәр ики мәсәлә һалында тәҖдим едилән сонлу-фәргләр схемләринне  
ҖыҖылмасы исбат едилди вә ҖыҖылма хәталары ҖиҖмәтләндирилди. һәмчинни, әввәл-  
ки ишләрдән фәргли олараҖ ҖыҖылма даһа күчлү норма үчүн исбат едилди.

G. M. Amiraliev

ON THE CONVERGENCE OF THE DIFFERENCE SCHEMES FOR THE  
PSEUDO-PARABOLIC EQUATION

In this article, for the first and third mixed problem in case of pseudo-para-  
bolic equation, the convergence of difference schemes is investigated and their errors  
are estimated.

УДК 539.3

МЕХАНИКА

Чл.-корр. Ю. А. АМЕНЗАДЕ, И. ЭЛЬ-ТАХЕР М. М.

О КОНЦЕНТРАЦИИ НАПРЯЖЕНИЙ ВОЗЛЕ ЭЛЛИПТИЧЕСКОГО  
ОТВЕРСТИЯ В БЕСКОНЕЧНОЙ ПОЛОСЕ

В статьях [1, 2, 3] предложена методика решения задач об уп-  
ругом равновесии полосы, ослабленной эллиптическим отверстием.  
Позднее в работе [4] дано решение этой же задачи, когда упругая  
полоса ослаблена эллиптическими отверстиями, большие оси которых  
перпендикулярны оси полосы.

Таблица 1

a/c \ a/b	0,1	0,2	0,5	0,6	0,7	0,8	0,9	0,95
1,05	4	—	10	—	14	18	—	—
2	6	6	12	14	18	22	—	—
5	—	6	12	—	—	—	26	28
							26	—

В данной статье дается численное решение задачи, опубликован-  
ной в [1]. Здесь приводятся результаты расчета на ЭВМ ЕС-1020 и  
ICL 1905 Н на основании программы, составленной на языке „Форт-

Таблица 2

θ/π \ a/c	a/b=2								a/b=5		
	0,1	0,2	0,5	0,6	0,7	0,8	0,9	0,95	0,2	0,5	0,9
0	5,04	5,17	6,45	7,46	9,22	12,73	22,5	36,5	11,3	13,4	34
0,1	3,1	3,25	3,72	4,31	4,75	5,45	4,2	1,63	2,93	2,12	2,1
0,2	0,9	0,92	0,75	0,7	0,59	-0,43	-3	-5,2	0,21	-1,01	-3,04
0,3	-0,36	-0,3	-1,69	-0,9	-1,46	-1,96	-2,55	3,27	-0,88	-1,02	-2,44
0,4	-0,8	-0,82	-1,2	-1,25	-1,49	-2,12	-2,25	-2,47	-1,26	-1,24	-1,94
0,5	-1,02	-1,06	-0,38	-1,54	-1,73	-1,93	-2,2	-2,22	-1,00	-1,3	-1,86

ран-4". Задаваясь погрешностью решения в 3%, в зависимости от со-  
отношений геометрических параметров  $a/b$  и  $a/c$  ( $a, b$ —большая и ма-  
лая полуоси эллипса,  $c$ —толщина стенки), определялось необходимое  
число первых уравнений, удерживаемых из бесконечной системы ал-  
гебраических уравнений (табл. 1). Результаты расчета кольцевых  
напряжений  $\sigma_0$ , отнесенных к  $p$  ( $\sigma_0/p$ ), в точках контура (эллипса) в  
зависимости от  $a/c, a/b$  сведены в табл. 2 ( $p$ —растягивающее напря-  
жение вдоль оси  $y$  в бесконечности).

Таблица 3

a/c	(x, y) — координаты точек					
	a/b=2			a/b=5		
	(a, 0)	$(\frac{a+c}{2}, 0)$	(c, 0)	(a, 0)	$(\frac{a+c}{2}, 0)$	(c, 0)
0,2	—	—	—	11,3	1,09	0,995
0,5	—	—	—	13,38	1,6	0,941
0,7	9,22	2,85	0,5	—	—	—
0,8	12,73	4,4	0,2	—	—	—
0,9	22,45	9,06	0,14	34	—	—
0,95	36,5	—	0	—	—	0,37

В табл. 3 даны значения  $\sigma_y/p$  в точках наименьшего поперечного сечения в зависимости от геометрических параметров  $a, c, a/b$ .  
 В табл. 4 приведены значения  $\sigma_y/p$  в зависимости от параметров  $a/c, a/b$  в сечениях, перпендикулярных оси  $y$ .

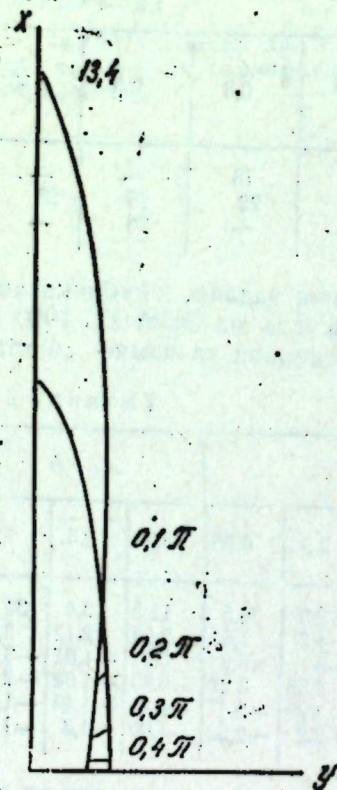


Рис. 1.

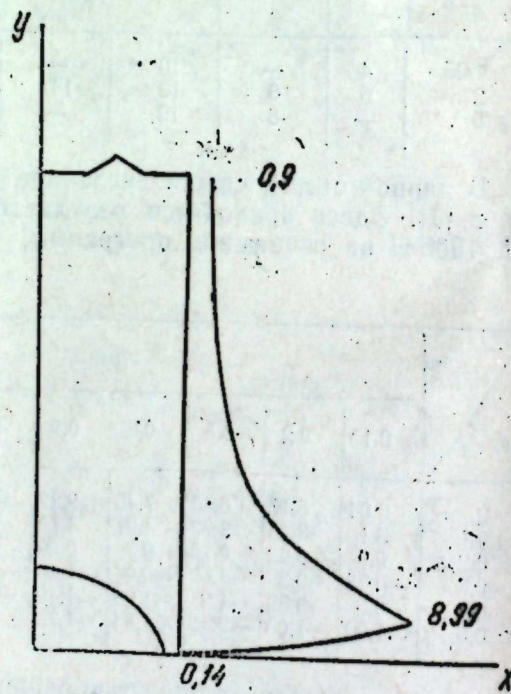


Рис. 2.

На рис. 1, 2 показаны эпюры  $\sigma_0/p$  в точках эллипса и  $\sigma_y/p$  в точках  $(c, y)$  сечений, перпендикулярных оси  $y$ , когда  $a/c = 0,5, a/b = 5$  и  $a/c = 0,9, a/b = 2$ , соответственно. Углы отсчитываются от положительного направления оси  $x$ . На основании данных табл. 2 заключаем, что с уменьшением толщины стенки концентрация напряжений  $\sigma_0/p$

резко возрастает, причем тем больше, чем сильнее вытянут эллипс. Например, при  $a/b=2$  и  $a/c=0,9$  концентрация напряжений  $\sigma_0/p=22,5$ , тогда как при  $a/b=5$  (т. е. эллипс сильно вытянут) и при той же толщине стенки  $a/c=0,9$  концентрация напряжений  $\sigma_0/p$  равна 34.

Таблица 4

a/c	(x, y) — координаты точек							
	a/b=2				a/b=5			
	(c, 0)	(c, 0,25c)	(c, 0,5c)	(c, 3c)	(c, 0)	(c, 0,25c)	(c, 0,5c)	(c, 3c)
0,2	—	—	—	—	0,995	1,0	1,074	0,998
0,5	—	—	—	—	0,941	1,4	1,62	0,988
0,7	0,5	2,25	2,96	0,967	—	—	—	—
0,8	0,2	3,72	4,26	0,95	—	—	—	—
0,9	0,14	8,99	6,45	0,9	0,37	7,1	4,8	0,921
0,95	0	15,4	8,7	0,847	—	—	—	—

Из табл. 4 видно, что при  $a/b=2$  и  $a/c=0,7$  на расстоянии  $y=3c$  значение  $\sigma_y/p$  равно 0,967, а для того же  $a/b=2$  при  $a/c=0,95$  на том же расстоянии  $y=3c$  значение  $\sigma_y/p$  равно 0,847, в то же время как  $\sigma_y^{(∞)}/p=1$ . Это свидетельствует о том, что уменьшение толщины стенки и увеличение степени вытянутости эллипса приводит к снижению точности решения. В таких случаях для достижения требуемой точности в условии на бесконечности следует увеличивать число уравнений, удерживаемых из бесконечной системы.

Литература

1. Амензаде Ю. А., Ибрагим Эль-Тахер Мухаммед Мухаммед. «Изв. АН Азерб. ССР, серия физ.-технич. и матем. наук», № 6, 107—115, 1977.
2. Амензаде Ю. А., Ибрагим Эль-Тахер Мухаммед Мухаммед. «ДАН Азерб. ССР», т. XXXIII, № 10, 21—25, 1977.
3. Ибрагим Эль-Тахер Мухаммед Мухаммед. «ДАН Азерб. ССР», т. XXXIV, № 5, 8—11, 1978.
4. Ибрагим Эль-Тахер Мухаммед Мухаммед. Канд. дисс. АГУ им. С. М. Кирова. Баку, 1980: АГУ им. С. М. Кирова

Поступило 14. X 1980

Ј. Ә. Әмәнзәдә, Ибраһим Ел Таһир Мәһәмәд Мәһәмәд

СОНСУЗ ЗОЛАГДА ЕЛЛИПТИК ДЕШИК ЭТРАФЫНДА КӘРКИНЛИК КОНЦЕНТРАЦИЯСЫ

Мәғаләдә бирохлу дартылан сонсуз золагда мәркәзи еллиптик дешик этрафында кәркинлик пәйләнмәсы өдрәшилмишдир. «Фортран-4» дилиндә програм тәртиб едилмиш вә һесаблама «ЕС-1020» вә JCL 1905H типли машиларда апарылмишдир. Әдәди һесабламалара әсасән еллипс нөгтәләриндә вә дешиклә эһфләшдирилмиш нормал кәсјини нөгтәләриндә нормал кәркинликләр епүрү гурулмушдур. Кәркинлик пәйләнмәсы арашдырылмишдир.

Yu. A. Amenzade, M. M. Ibrahim el Taher

ABOUT CONCENTRATION OF THE STRAINS AROUND THE ELLIPTIC HOLE IN THE ENDLESS STRIPE

The calculation of the endless elastic stripe symmetrically relaxed by the elliptic hole for the case of uniform stretching of the stripe on the endlessness is produced in this paper.

The programme of the «Fortran-4» language is composed. The calculation is produced by the calculators ES-1020 and ICL 1905 H.

On the base of the numerical calculations the epures of the ring-shaped strains are built. Their complete analysis is given.

А. М. КЕНГЕРЛИ, Ф. Г. МАМЕДОВ

КВАТЕРНИОННОЕ ОПРЕДЕЛЕНИЕ ПОЛОЖЕНИЯ ТВЕРДОГО ТЕЛА

(Представлено академиком АН Азербайджанской ССР Ф. Г. Максудовым)

Краткое вступительное замечание

а) кватернион

Кватернион задается следующим выражением:

$$a = a_0 + a_1 i_1 + a_2 i_2 + a_3 i_3, \quad (1)$$

где  $a_0, a_1, a_2, a_3$  — действительные числа, а единицы  $i_1, i_2, i_3$  обладают свойствами:  $i_1^2 = i_2^2 = i_3^2 = -1$

$i_1 \circ i_2 = -i_2 \circ i_1 = i_3, i_2 \circ i_3 = -i_3 \circ i_2 = i_1, i_3 \circ i_1 = -i_1 \circ i_3 = i_2$ , где "о" является кватернионным умножением.

В выражении (1)  $a_0$  является скалярной частью, а  $\bar{a} = a_1 i_1 + a_2 i_2 + a_3 i_3$  — векторной частью кватерниона.

Два кватерниона равны, если равны их элементы.

Если модуль кватерниона

$$|a| = \sqrt{a_0^2 + a_1^2 + a_2^2 + a_3^2} = 1, \quad (2)$$

то он называется единичным. Для единичного кватерниона (в дальнейшем мы будем иметь дело только с единичными кватернионами):

$$a^{-1} = \bar{a} = a_0 - a_1 i_1 - a_2 i_2 - a_3 i_3, \quad (3)$$

где  $\bar{a}$  — сопряженный кватернион данному кватерниону.

Единичный кватернион можно представить в виде

$$p = \cos \varphi + e \sin \varphi, \quad (4)$$

где  $\cos \varphi = a_0, \sin \varphi = \sqrt{a_1^2 + a_2^2 + a_3^2}$

$\varphi$  — аргумент кватерниона,  $e$  — единичный вектор векторной части  $p$ ,

б) дуальные числа и бикватернионы.

Дуальным называется число:

$$A = a + \omega a^0,$$

где  $a$  — главная часть,  $a^0$  — моментная часть дуального числа, а  $\omega$  — оператор Клиффорда,  $\omega^2 = 0$

Над дуальными числами выполняются 4 основных действия алгебры.

Для тригонометрических функций дуального аргумента  $X = x + \omega x^0$ :

$$\sin X = \sin x + \omega x^0 \cos x \quad (5)$$

$$\cos X = \cos x - \omega x^0 \sin x \quad (6)$$

$$\operatorname{tg} X = \operatorname{tg} x + \omega x^0 \operatorname{sec}^2 x \quad (7)$$

Для дуальных углов выполняются все тригонометрические равенства. Если в формуле (1) вместо обычных чисел  $a_0, a_1, a_2, a_3$  подста-

вить дуальные числа  $A_0, A_1, A_2, A_3$ , получим бикватернион:

$$A = A_0 + A_1 i_1 + A_2 i_2 + A_3 i_3 \quad (8)$$

Формулы (2), (3) сохраняют свою силу и для бикватернионов, но заменой обычных чисел дуальными числами. Единичный бикватернион также может выражаться в тригонометрической форме:

$$P = \cos \Phi + E \sin \Phi, \quad (9)$$

где  $\cos \Phi = A_0, \sin \Phi = \sqrt{A_1^2 + A_2^2 + A_3^2}$

$\Phi$  — дуальный аргумент бикватерниона,  $E$  — единичный винт винтовой части  $P$  (или то же, что единичный скользящий вектор).

Применение к пространственному движению твердого тела

Рассмотрим твердое тело с неподвижной точкой. Конечное перемещение этого тела между двумя произвольными текущими положениями последнего имеет ту особенность, что принадлежащая телу одна определенная прямая линия остается неподвижной или конечное перемещение эквивалентно вращению вокруг этой оси. Другими словами, конечное перемещение твердого тела получается из предыдущего положения путем поворота вокруг указанной оси на определенный угол. Это свойство основывается на известной теореме Эйлера, в соответствии с которой любое вращательное движение твердого тела эквивалентно плоскому вращению вокруг некоторой оси и может быть задано конечным поворотом вокруг этой оси, или вектором конечного поворота, направленным по оси Эйлера вращения и имеющим длину, зависящую от угла вращения.

Таким образом, для определения положения твердого тела с неподвижной точкой относительно первоначального положения достаточно задать ось вращения и угол поворота вокруг этой оси. Но так как кватернион содержит в себе ось и угол вращения (в формуле (4)  $e$  и  $\varphi$ ), можно принять, что кватернион является параметром определяющим положение твердого тела.

Допустим, что тело совершает последовательные повороты вокруг осей  $e_1$  и  $e_2$ , соответственно на углы  $\varphi_1$  и  $\varphi_2$ . Если векторы конечного поворота соответственно первого и второго поворота обозначим:

$$\theta_1 = e_1 \operatorname{tg} \frac{\varphi_1}{2}; \theta_2 = e_2 \operatorname{tg} \frac{\varphi_2}{2},$$

то вектор конечного, результирующего поворота, на основании формулы (10), (10) [2] определится так:

$$e \operatorname{tg} \frac{\varphi}{2} = \frac{e_1 \operatorname{tg} \frac{\varphi_1}{2} + e_2 \operatorname{tg} \frac{\varphi_2}{2} - e_1 e_2 \operatorname{tg} \frac{\varphi_1}{2} \operatorname{tg} \frac{\varphi_2}{2}}{1 - e_1 e_2 \operatorname{tg} \frac{\varphi_1}{2} \operatorname{tg} \frac{\varphi_2}{2}}, \quad (10)$$

где  $e$  — ось результирующего поворота,  $\varphi$  — соответствующий угол вращения.

Теперь вектор конечного поворота найдем с помощью кватернионов. Пусть кватернионы, определяющие соответственно первый и

второй повороты, будут:

$$P_1 = \cos \frac{\varphi_1}{n} + e_1 \sin \frac{\varphi_1}{n}, P_2 = \cos \frac{\varphi_2}{n} + e_2 \sin \frac{\varphi_2}{n},$$

где  $n$  — известное действительное число.

Тогда результирующий кватернион на основе кватернионной алгебры определится так:

$$P = \cos \frac{\varphi}{n} + e \sin \frac{\varphi}{n} = P_2 \circ P_1 = \left( \cos \frac{\varphi_2}{n} + e_2 \sin \frac{\varphi_2}{n} \right) \circ \left( \cos \frac{\varphi_1}{n} + e_1 \sin \frac{\varphi_1}{n} \right) = \cos \frac{\varphi_2}{n} \cos \frac{\varphi_1}{n} + e_1 \cos \frac{\varphi_2}{n} \sin \frac{\varphi_1}{n} + e_2 \sin \frac{\varphi_2}{n} \cos \frac{\varphi_1}{n} + e_2 \circ e_1 \sin \frac{\varphi_2}{n} \sin \frac{\varphi_1}{n} \quad (11)$$

Кватернионное умножение  $e_2 \circ e_1$  содержит в себе, на основании формулы (1, 9) [1], векторное и скалярное произведение векторов:

$$e_2 \circ e_1 = -e_1 \cdot e_2 + e_2 \times e_1 \quad (12)$$

Подставляя (12) в (11), получим:

$$\cos \frac{\varphi}{n} + e \sin \frac{\varphi}{n} = \cos \frac{\varphi_1}{n} \cos \frac{\varphi_2}{n} - e_2 \cdot e_1 \sin \frac{\varphi_1}{n} \sin \frac{\varphi_2}{n} + e_1 \sin \frac{\varphi_1}{n} \cos \frac{\varphi_2}{n} + e_2 \cos \frac{\varphi_1}{n} \sin \frac{\varphi_2}{n} + e_2 \times e_1 \sin \frac{\varphi_1}{n} \sin \frac{\varphi_2}{n} \quad (13)$$

Уравнение (13) разделим на две части:

$$e \sin \frac{\varphi}{n} = e_1 \sin \frac{\varphi_1}{n} \cos \frac{\varphi_2}{n} + e_2 \cos \frac{\varphi_1}{n} \sin \frac{\varphi_2}{n} + e_2 \times e_1 \sin \frac{\varphi_1}{n} \sin \frac{\varphi_2}{n} \\ \cos \frac{\varphi}{n} = \cos \frac{\varphi_1}{n} \cos \frac{\varphi_2}{n} - e_2 \cdot e_1 \sin \frac{\varphi_1}{n} \sin \frac{\varphi_2}{n} \quad (14)$$

Разделив первое равенство на второе получим:

$$e \operatorname{tg} \frac{\varphi}{n} = \frac{e_1 \operatorname{tg} \frac{\varphi_1}{n} + e_2 \operatorname{tg} \frac{\varphi_2}{n} - e_1 \times e_2 \operatorname{tg} \frac{\varphi_1}{n} \cdot \operatorname{tg} \frac{\varphi_2}{n}}{1 - e_1 \cdot e_2 \operatorname{tg} \frac{\varphi_1}{n} \operatorname{tg} \frac{\varphi_2}{n}} \quad (15)$$

Для эквивалентности выражений (15) и (10) должны выполняться:

$$n = 2 \quad (16)$$

Допустим, что тело совершает  $k$ -вращений. С телом свяжем координатную систему  $E$  ( $e_1, e_2, e_3$ ). Движение тела рассматривается относительно исходной системы 1 ( $i_1, i_2, i_3$ ). После первого вращения систему  $E$  обозначим через  $E^{(1)}$ , после второго —  $E^{(2)}$  и т. д. Если кватернион, определяющий положение системы  $E^{(1)}$  относительно системы 1 обозначим через  $p_1$ , системы  $E^{(2)}$  относительно  $E^{(1)}$  через  $p_2$  и т. д., то результирующий кватернион, определяющий положение системы  $E^{(k)}$  относительно системы 1 будет:

$$P = P_k \circ P_{k-1} \circ \dots \circ P_1 \quad (17)$$

Если в формуле (17) в качестве кватернионов использовать параметры Родрига—Гамильтона, то на основании теоремы, 2, 4 [1] мо-

жем написать:

$$P = P_1 \circ P_2 \circ \dots \circ P_k \quad (18)$$

Если кватернион определяет положение твердого тела с неподвижной точкой, то бикватернион определяет положение свободного тела. Действительно, так как любое пространственное движение в общем случае приводится к винтовому, то для определения положения свободного твердого тела относительно исходного его положения достаточно задать ось вращения и дуальный угол  $\Phi$ . Ось вращения задается единичным винтом  $E$ , а дуальный угол  $\Phi = \varphi + \omega \varphi^0$  отображает вращение на угол  $\varphi$  и перемещение на расстояние  $\varphi^0$  вдоль оси единичного винта  $E$ . Рассматривая бикватернион в тригонометрической форме:

$$P = \cos \Phi + E \sin \Phi$$

видим, что он содержит в себе и единичный винт  $E$ , определяющий ось вращения в пространстве и дуальный угол  $\Phi$ . Так как для определения единичного винта достаточно четыре независимых параметра, а дуальный угол  $\Phi$  содержит два независимых параметра, то бикватернион содержит шесть независимых параметра, что в общем случае определяет положение свободного твердого тела, характеризующегося шестью независимыми параметрами.

На основании принципа перенесения [2] все сказанное справедливо также для бикватернионов и выражения (16), (17), (18) сохраняют свою силу

### Практическое применение алгебры кватернионов

Рассмотрим манипулятор, изображенный на рисунке. Оси вращения цилиндрических кинематических пар попарно перпендикулярны. Данный манипулятор содержит четыре звена, связанных цилиндрическими парами и способен сообщить твердому телу любое пространственное движение, которое характеризуется шестью степенями свободы. Свяжем координатные системы 1,  $E^{(1)}$ ,  $E^{(2)}$ ,  $E^{(3)}$  со звеньями, как указано на рисунке. Система  $E^{(3)}$  связана с перемещаемым телом. Положение тела относительно неподвижного звена манипулятора считаем известным и заданным бикватернионом:

$$P = P_0 + P_1 i_1 + P_2 i_2 + P_3 i_3 \quad (19)$$

Подставим задачу определения приращения дуальных углов  $\Phi_1, \Phi_2, \Phi_3$  соответствующую перемещению твердого тела. Кватернион  $P$  на основании (формулы (18)) определится так:

$$P = P_1 \circ P_2 \circ P_3 = \left( \cos \frac{\Phi_1}{2} + i_3 \sin \frac{\Phi_1}{2} \right) \circ \left( \cos \frac{\Phi_2}{2} + i_1 \sin \frac{\Phi_2}{2} \right) \circ \left( \cos \frac{\Phi_3}{2} + i_2 \sin \frac{\Phi_3}{2} \right) = \cos \frac{\Phi_2}{2} \cos \frac{\Phi_1 + \Phi_3}{2} + i_1 \sin \frac{\Phi_2}{2} \cos \frac{\Phi_1 - \Phi_3}{2} + i_2 \sin \frac{\Phi_2}{2} \sin \frac{\Phi_1 - \Phi_3}{2} + i_3 \cos \frac{\Phi_2}{2} \sin \frac{\Phi_1 + \Phi_3}{2} \quad (20)$$

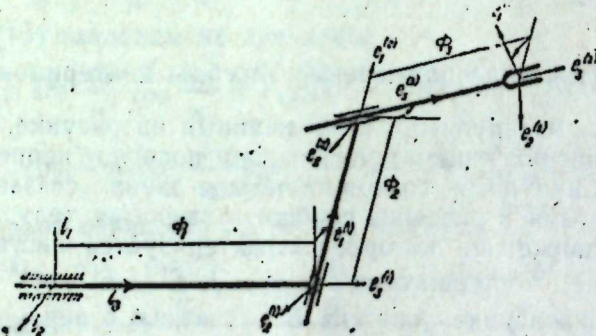
Сравнивая (19) и (20), получаем:

$$\left. \begin{aligned} \cos \frac{\Phi_2}{2} \cos \frac{\Phi_1 + \Phi_3}{2} &= P_0 \\ \sin \frac{\Phi_2}{2} \cos \frac{\Phi_1 - \Phi_3}{2} &= P_1 \\ \sin \frac{\Phi_2}{2} \sin \frac{\Phi_1 - \Phi_3}{2} &= P_2 \\ \cos \frac{\Phi_2}{2} \sin \frac{\Phi_1 + \Phi_3}{2} &= P_3 \end{aligned} \right\} (21)$$

из которых определяются дуальные углы  $\Phi_1, \Phi_2, \Phi_3$ .

Пусть требуется тело перевести в другое положение, тогда система  $E^{(3)}$  перейдет в систему  $E^{(3')}$ . Положение системы  $E^{(3')}$  относительно  $E^{(3)}$  определяет бикватернион  $A$ , который считаем заданной в системе  $E^{(3)}$ . Тогда на основании формулы (18) положение системы  $E^{(3')}$  относительно 1 определится бикватернионом:

$$\begin{aligned} P' &= P \circ A = (P_0 + P_1 i_1 + P_2 i_2 + P_3 i_3) \circ (A_0 + A_1 i_1 + A_2 i_2 + A_3 i_3) = \\ &= P_0 A_0 - P_1 A_1 - P_2 A_2 - P_3 A_3 + i_1 (P_0 A_1 + P_1 A_0 + P_2 A_3 - P_3 A_2) + \\ &+ i_2 (P_0 A_2 + P_2 A_0 + P_3 A_1 - P_1 A_3) + i_3 (P_0 A_3 + P_3 A_0 + P_1 A_2 - P_2 A_1) = \\ &= C_0 + C_1 i_1 + C_2 i_2 + C_3 i_3 \end{aligned} \quad (22)$$



Но с другой стороны, бикватернион  $P'$  можно определить следующим образом:

$$\begin{aligned} P' &= P'_1 \circ P'_2 \circ P'_3 = \left( \cos \frac{\Phi'_1}{2} + i_3 \sin \frac{\Phi'_1}{2} \right) \circ \left( \cos \frac{\Phi'_2}{2} + i_1 \sin \frac{\Phi'_2}{2} \right) \circ \\ &\circ \left( \cos \frac{\Phi'_3}{2} + i_2 \sin \frac{\Phi'_3}{2} \right) = \cos \frac{\Phi'_2}{2} \cos \frac{\Phi'_1 + \Phi'_3}{2} + i_1 \sin \frac{\Phi'_2}{2} \cos \frac{\Phi'_1 - \Phi'_3}{2} + \\ &+ i_2 \sin \frac{\Phi'_2}{2} \sin \frac{\Phi'_1 - \Phi'_3}{2} + i_3 \cos \frac{\Phi'_2}{2} \sin \frac{\Phi'_1 + \Phi'_3}{2} \end{aligned} \quad (23)$$

Из сравнения (22) и (23) определяются дуальные углы  $\Phi'_1, \Phi'_2, \Phi'_3$ . После этого не составляет труда найти приращения дуальных углов  $\Phi_1, \Phi_2, \Phi_3$ :

$$\left. \begin{aligned} \Delta \Phi_1 &= \psi'_1 - \psi_1 \\ \Delta \Phi_2 &= \psi'_2 - \psi_2 \\ \Delta \Phi_3 &= \psi'_3 - \psi_3 \end{aligned} \right\}$$

## Литература

1. Бранец В. Н., Шмыглевский И. П. Применение кватернионов в задачах ориентации твердого тела. «Наука», 1973; 2. Диментберг Ф. М. Теория винтов и ее применения. «Наука», 1978.

ЛЭПН им. Ч. Нальдыма

Поступило 2. XII 1980

А. М. Кенгерли, Ф. Н. Мамедов

## БЭРК ЧИСМИН ВЭЗИЈЭТИНИИ КВАТЕРНИОН ВАСИТЭСИЛЭ МҮЭЈЈЭН ЕДИЛМЭСИ

Мэгалэдэ тэрпэнмээ нөгтөжэ малик олан бэрк чисмин вэзијэтинини кватернион васитэсилэ тэјини едилмэси нээрдэн кечирилир. Фэза һэрэкэти едэн сэрбэст бэрк чисмин вэзијэтинини тэјини едилмэси нэсэ бикватернион шэклиндэ үмүмилэшдирилмишидир. Бир мисал оларат, чисмэ фэза һэрэкэти верэн вэ алты сэрбэстлик дэрэчэсинэ малик олан манипулаторун бэндлэри арасындакы дуал бучагларын артымынын һесаблинамасына бахылмышдыр.

A. M. Kengerly, F. N. Mamedov

## QUATERNION DETERMINATION OF POSITION OF THE RIGID BODY

Quaternion determination of position of the rigid body having immovable points with further generalization in the form of the biquaternion for the free rigid body performing spatial motion is considered. As an example the task of definition of the increment of dual angle between the links of the manipulator with six degree of freedom which gives spatial motion to the body has been considered.



Чл.-корр. Э. Ю. САЛАЕВ, Д. Ш. АБДИНОВ, Ф. И. ИСМАИЛОВ,  
И. К. ИСМАИЛОВ, Ф. М. НОВРУЗОВА, А. А. НОВРУЗОВ, А. Ш. АБДИНОВ

**ТЕРМОЭДС ГОРЯЧИХ НОСИТЕЛЕЙ ТОЛА, СОЗДАВАЕМЫХ  
СИЛЬНЫМ ЭЛЕКТРИЧЕСКИМ ПОЛЕМ СВЧ  
В МОНОКРИСТАЛЛАХ  $p\text{-Cd}_x\text{Hg}_{1-x}\text{Te}$**

Монокристаллы твердых растворов  $\text{Cd}_x\text{Hg}_{1-x}\text{Te}$  нашли широкое применение при создании различных полупроводниковых приборов и интересны тем, что многие их физические характеристики плавно меняются с изменением содержания компонентов. В связи с этим в последние годы интенсивно проводится всестороннее исследование электронных свойств этого полупроводника. Подробный обзор экспериментальных и теоретических работ, посвященных данному вопросу, приведен в [1-3], анализ которого показывает, что монокристаллы  $\text{Cd}_x\text{Hg}_{1-x}\text{Te}$  являются подходящими объектами также и для изучения эффектов, обусловленных горячими носителями тока в твердых телах [4, 5]. Необходимость к изучению явлений, связанных непосредственно с разогревом носителей тока электрическим полем в этом материале называется еще тем, что большинство из существующих на основе монокристаллов  $\text{Cd}_x\text{Hg}_{1-x}\text{Te}$  приборов, из-за высокой подвижности носителей тока в них, обычно работают в режиме сильного электрического поля, где разогрев носителей электрическим полем неизбежен.

Действительно, в эксперименте нами наблюдалась зависимость электропроводности ( $\sigma$ ) монокристаллов  $p\text{-Cd}_x\text{Hg}_{1-x}\text{Te}$  (при  $0,30 \leq x \leq 0,50$ ) от напряженности ( $E$ ) СВЧ электрического поля. В результате проведенных по интегральной СВЧ методике установлено, что обнаруженная при этом зависимость  $\sigma(E)$  связана с разогревом носителей (причем, неосновных носителей) тока электрическим полем. Известно, что поведение горячих носителей тока можно исследовать также по термоэдс, обусловленной неоднородным разогревом носителей тока в образце [4, 5]. По этой причине в данной работе нами обнаружена и экспериментально исследована термоэдс горячих носителей тока, создаваемых сильным электрическим полем в монокристаллах  $p\text{-Cd}_x\text{Hg}_{1-x}\text{Te}$  при  $0,30 \leq x \leq 0,50$ . Измерения проводились в диапазоне температуры  $77 \leq T \leq 350$  К при напряженностях вплоть до  $E \approx 10^4$  В/см по предложенной в [5] методике на описанной в [6] экспериментальной установке.

Экспериментально снимались кривые зависимости термоэдс горячих носителей тока ( $U_e$ ) от напряженности греющего СВЧ электрического поля ( $E$ ), температуры кристаллической решетки ( $T$ ) и содержания компонентов ( $x$ ) в исследуемых образцах.

Анализ полученных экспериментальных данных позволил сделать следующие выводы.

1. В тех диапазонах  $E$  и  $T$ , где имеет место зависимость  $\sigma(E)$ , обусловленная разогревом носителей тока, в исследуемых образцах наблюдается термоэдс горячих носителей тока (рис. 1, 2)..

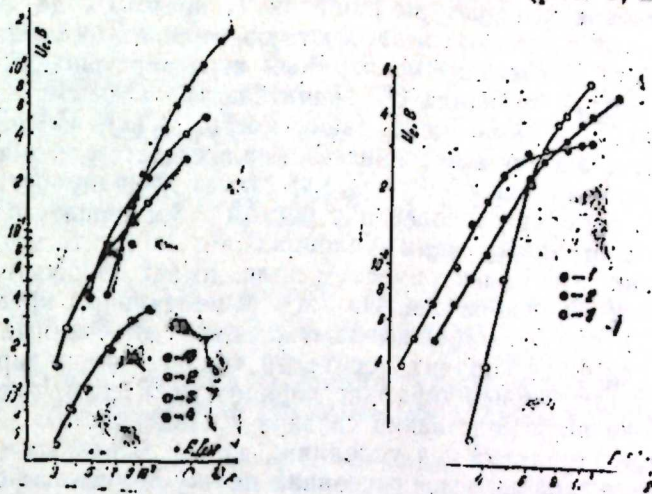


Рис. 1. Зависимость  $U_e$  от  $E$  при 77 (а) и 300 К (б)  
x: 1—0,30; 2—0,35; 3—0,40; 4—0,50.

2. Зависимость  $U_e(E_{пр})$ , при всех рассмотренных нами условиях, подчиняется степенным законам  $U_e \sim E^{r > 2}$  (при относительно небольших  $E$ ) и  $U_e \sim E$  (при более сильных  $E$ ). Показатель степени ( $r$ ) в зависимости  $U_e(E)$  при относительно небольших полях зависит как от

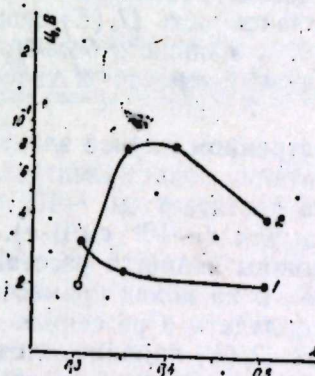


Рис. 2. Зависимость  $U_e$  от  $T$  при  $E = 1,07 \cdot 10^4$  В/см.  
x: 1—0,30; 2—0,35;  
3—0,40; 4—0,50.

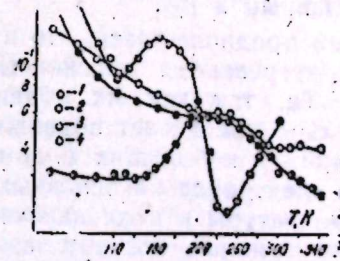


Рис. 3. Зависимость  $U_e$  от  $T$  при  $E = 6 \cdot 10^4$  В/см.  
T, К: 1—300; 2—77.

$x$ , так и от  $T$ . С ростом  $x$  от 0,3 до 0,5 при  $T = 77$  К  $r$  увеличивается от  $r \approx 2$  до  $r \approx 5$ , а при  $T \approx 300$  К — от  $r \approx 2$  до  $r \approx 4$  (рис. 1, а, б соответственно). С ростом  $T$  от 77 до 300 К в образцах с  $x \approx 0,50$  значение  $r$  уменьшается от  $\sim 5$  до  $\sim 4$ , в образцах с  $x \approx 0,35$  от  $\sim 4$  до  $\sim 2$ , а в образцах с  $x \approx 0,3$  остается постоянной. В образцах с  $x \approx 0,4$  термоэдс горячих носителей тока наблюдается лишь при  $T < 210$  К, а в других — вплоть до 350 К (рис. 2).

3. Значение напряженности поля, соответствующее переходу от  $g > 2$  к  $g \approx 1$  зависит как от  $x$ , так и от  $T$ . С ростом  $x$  оно увеличивается, а с ростом температуры — уменьшается (рис. 1)

4. Изменение температуры решетки  $T$ , помимо хода зависимости  $U_e(E)$ , значительно меняет и абсолютную величину  $U_e$ . Однако зависимость ( $U_e$ ) от  $T$  имеет не монотонный характер (рис. 2).

5. Абсолютная величина  $U_e$  значительным образом зависит от  $x$  (рис. 3). При 77 К монотонна зависимость  $U_e(x)$  наблюдается при больших  $E$  и с ростом  $x$  значение  $U_e$  увеличивается. С ростом температуры монотонная зависимость  $U_e(x)$  станет доминировать в области относительно небольших полей и с ростом  $x$  уменьшается ( $U_e$ ).

6. В рассмотренных нами условиях тот контакт, который находится в сильном СВЧ электрическом поле, имеет положительный знак.

Сделанные на основе анализа экспериментальных кривых зависимостей  $U_e(E)$ ,  $U_e(T)$ ,  $U_e(x)$  выводы, а также отмеченные в измерениях знака термоэдс горячих носителей тока не коррелируют с разработанной в [5] теорией термоэдс горячих носителей тока для случая, когда она непосредственно связана с зависимостью подвижности носителей тока ( $\mu$ ) от  $E$  при условиях, когда основным механизмом рассеяния носителей является рассеяние на акустических фононах. При этом при малых значениях  $E$  (когда  $\frac{3\pi\mu_0 E^2}{8U^2} < 1$ , где  $U$  — скорость звука, а  $\mu_0$  — подвижность носителей тока при слабых полях в исследуемом материале) зависимость  $U_e(E)$  должна была подчиняться квадратичному закону ( $U_e \sim E^2$ ), а при больших  $E$  (когда  $\frac{3\pi\mu_0 E^2}{8U^2} > 1$ ) —

линейному ( $U_e \sim E$ ) закону. Однако в рассмотренных нами условиях, в области относительно небольших  $E$  зависимость  $U_e(E)$  существенно отклоняется от  $U_e \sim E^2$ . Лишь при 300 К и в области больших  $E$  экспериментальные результаты немного приближаются к теоретически предсказанным в [5].

Нами предполагается, что в рассмотренном случае электрическим полем разогреваются неосновные носители тока (электроны) в  $p$ - $Cd_xHg_{1-x}Te$ , так как их подвижность достигает до  $\sim 10^4$  см<sup>2</sup>/В·с и значительно превышает подвижность дырок ( $\sim 10^2$  см<sup>2</sup>/В·с). Причем, при низких и небольших  $E$  доминирующим является рассеяние неосновных электронов на основных дырках и на ионах примесей. С ростом температуры и поля начинает преобладать и рассеяние на акустических фононах, поэтому зависимость  $U_e(E)$  приближается к теоретически предсказанной в [5]. Это объяснение хорошо подтверждается и результатами, полученными при рассмотрении зависимости  $\sigma(E)$  в исследуемых образцах, а также согласуется с наблюдаемым в эксперименте положительным знаком и „горячего“ контакта.

При оптимальных условиях экспериментально измеренное значение  $U_e$  в исследуемых образцах достигало до  $\sim 510$  мВ. При  $C \approx 300$  К и  $E \approx 15 \cdot 10^3$  В/см, где зависимость  $U_e(E)$  хорошо подчиняется разработанной в [5] теории, предполагая, что основным механизмом рассеяния носителей тока является рассеяние на акустических фононах по известной [6] формуле, описывающей  $U_e$ , оценена эффективная температура разогретых электронов  $T_e$ . Оказалось, что для различных составов этот параметр варьируется в диапазоне 400–550 К. Если срав-

нить соответствующие  $U_e$  со значением  $U_e$  при 77 К, можно предполагать, что в последнем случае  $T_e$  может достигать  $\sim 5 \cdot 10^3$  К.

Литература

1. Пашковский М. В., Соколов Е. Б., Берченко Н. Н., Соколов А. М. «Зарубежная электронная техника», 83, № 12, 3, 1974. 2. Пашковский М. В., Гредук В. Г. «Зарубежная электронная техника», 84, № 24, 3, 1973. 3. Полупроводники с узкой запрещенной зоной и их применение. Сб. статей. Изд-во «Мир», М., 1969. 4. Коуэлл Э. Кинетические свойства полупроводников в сильных электрических полях. Изд-во «Мир», М., 1970. 5. Дейвис В., Пэджел Ю. Горячие электроны. Изд-во «Минтис», Вильнюс, 1971. 6. Ахундов Г. А., Хомутова М. Д., Абдинов А. Ш., Мехтиев Н. М., Кязимзаде А. Г. ФТП, 8: 869, 1974. ЦТЭИМН

Поступило 22-Х 1980

Е. Ю. Салаев, Ч. Ш. Абдинов, Ф. И. Исмаилов, Ф. М. Новрузова  
 Э. А. Новрузов, Э. Ш. Абдинов  
 ТЕРМОЭДС ГОРЯЧИХ НОСИТЕЛЕЙ ТОКА В СВЧ ПОЛЕ НА МОНОКРИСТАЛЛАХ  $p$ - $Cd_xHg_{1-x}Te$

ТHERMO-emf OF HOT CHARGE CARRIERS IN STRONG ELECTRIC FIELDS UHF IN  $p$ - $Cd_xHg_{1-x}Te$  SINGLE CRYSTALS

Thermo-emf of hot charge carriers in  $p$ - $Cd_xHg_{1-x}Te$  single crystals with  $0.30 < x < 0.50$  in temperature region of  $T=77+350$  K was investigated. On the basis of experimental results regularities of mechanism of this phenomena are established in this paper.

В рассматриваемом случае электрическим полем разогреваются неосновные носители тока (электроны) в  $p$ - $Cd_xHg_{1-x}Te$ , так как их подвижность достигает до  $\sim 10^4$  см<sup>2</sup>/В·с и значительно превышает подвижность дырок ( $\sim 10^2$  см<sup>2</sup>/В·с). Причем, при низких и небольших  $E$  доминирующим является рассеяние неосновных электронов на основных дырках и на ионах примесей. С ростом температуры и поля начинает преобладать и рассеяние на акустических фононах, поэтому зависимость  $U_e(E)$  приближается к теоретически предсказанной в [5]. Это объяснение хорошо подтверждается и результатами, полученными при рассмотрении зависимости  $\sigma(E)$  в исследуемых образцах, а также согласуется с наблюдаемым в эксперименте положительным знаком и „горячего“ контакта.

При оптимальных условиях экспериментально измеренное значение  $U_e$  в исследуемых образцах достигало до  $\sim 510$  мВ. При  $C \approx 300$  К и  $E \approx 15 \cdot 10^3$  В/см, где зависимость  $U_e(E)$  хорошо подчиняется разработанной в [5] теории, предполагая, что основным механизмом рассеяния носителей тока является рассеяние на акустических фононах по известной [6] формуле, описывающей  $U_e$ , оценена эффективная температура разогретых электронов  $T_e$ . Оказалось, что для различных составов этот параметр варьируется в диапазоне 400–550 К. Если срав-

Чл.-корр. Ф. М. ГАШИМЗАДЕ, Р. С. НАДИРЗАДЕ

СИММЕТРИЯ И ТЕНЗОР ГАЛЬВАНОМАГНИТНЫХ КОЭФФИЦИЕНТОВ КРИСТАЛЛОВ В СЛАБЫХ ПОЛЯХ

Теория гальваномагнитных эффектов в кристаллах хорошо разработана и изложена в ряде монографий [1—4]. Однако во всех этих работах недостаточно широко используется симметрия кристалла, что в конечном счете приводит к необходимости заново проводить всю схему расчета для кристаллов, обладающих одинаковой симметрией, но различными изоэнергетическими поверхностями для носителей тока.

С другой стороны, используемый в литературе подход не позволяет разделить эффекты, связанные с модельными предположениями относительно формы изоэнергетических поверхностей от эффектов, связанных только с симметрией кристалла.

Изложенная общая схема расчета гальваномагнитных эффектов свободна от указанных недостатков и применима к кристаллам любой симметрии, однако для наглядности мы рассматриваем кристаллы кубической симметрии.

В общем случае, изоэнергетической поверхностью является многосвязная область, состоящая из нескольких связных областей (долин). Запишем ток для отдельной долины в системе координат, связанной с кристаллографическими осями в виде:

$$j_l^{(A)} = \sigma_{ik}^{(1)} E_k + \sigma_{ikl}^{(1)} E_k H_l + \sigma_{iklm}^{(1)} E_k H_l H_m \quad (1)$$

Здесь и далее по нижним повторяющимся индексам предполагается суммирование, индексы  $i, k, l, m$  принимают значения 1, 2 и 3; верхний индекс указывает, что компоненты тензоров проводимости записаны для одной долины.

Под действием преобразований  $g$  из точечной группы симметрии  $G_0$  кристалла компоненты тока и электрического поля преобразуются по векторному представлению группы  $G_0$ , а компоненты магнитного поля по псевдовекторному представлению. Одновременно при этом связные участки многосвязной изоэнергетической поверхности (долины) переходят друг в друга. Инвариантом преобразований из группы  $G_0$  является:

$$\frac{z}{h} \sum_{g \in G_0} (D(g) j_l^{(1)}, D(g) e_i) \quad (2)$$

где  $e_i$  — компоненты единичного вектора,  $D(g)$  — матрицы векторного представления группы  $G_0$ ,  $h$  — порядок группы; суммирование производится по всем элементам группы  $G_0$ ,  $z$  — число долин.

Распишем (2) с учетом (1) и сравним с инвариантом, записанным через полный ток:

$$j_l e_i = \sigma_{ik} E_k e_i + \sigma_{ikl} E_k H_l e_i + \sigma_{iklm} E_k H_l H_m e_i \quad (3)$$

Получаем:

$$\sigma_{ik} = \frac{z}{h} \sum_{g \in G_0} D_{ip}(g) D_{kq}(g) \sigma_{pq}^{(1)} \quad (4)$$

$$\sigma_{ikl} = \frac{z}{h} \sum_{g \in G_0} D_{ip}(g) D_{kq}(g) D'_{lr}(g) \sigma_{pqr}^{(1)} \quad (5)$$

$$\sigma_{iklm} = \frac{z}{h} \sum_{g \in G_0} D_{ip}(g) D_{kq}(g) D'_{lr}(g) D''_{ms}(g) \sigma_{pqrs}^{(1)} \quad (6)$$

где  $D'$  — псевдовекторное представление группы  $G_0$ .

Таким образом, задача сводится к вычислению среднего по группе от прямого произведения матриц векторных и псевдовекторных представлений.

Проведем эти вычисления на примере кубической симметрии. Предварительно заметим, что перестановка индексов  $l$  и  $m$  при квадратичном по магнитному полю члене не меняет вид (1) и (3). Следовательно, в выражении (6) нужно записать симметризованный квадрат псевдовекторного представления.

Воспользовавшись соотношениями ортогональности для матричных элементов неприводимых представлений группы [5] из (4) сразу получаем:

$$\sigma_{ik} = \frac{z}{3} (\sigma_{11}^{(1)} + \sigma_{22}^{(1)} + \sigma_{33}^{(1)}) \delta_{ik} \quad (7)$$

Для кристаллов с более низкой симметрией предварительно необходимо разложить векторное представление на неприводимые и затем воспользоваться соотношениями ортогональности.

Для вычисления сумм (5) и (6) разлагаем прямые произведения представлений на неприводимые с помощью матриц коэффициентов Клебша—Гордана [5] и снова пользуемся соотношениями ортогональности. Таким образом, находим:

$$\sigma_{ikl} = \frac{z}{3} \langle i, k | F_1^+, l \rangle \langle p, q | F_1^+, r \rangle \sigma_{pqr}^{(1)} \quad (8)$$

$$\sigma_{iklm} = \frac{z}{l_j} \langle i, k | J, t \rangle \langle l, m | J, t \rangle \langle p, q | J, \tau \rangle \langle r, s | J, \tau \rangle \sigma_{pqrs}^{(1)} \quad (9)$$

Здесь применимы сокращенные обозначения для коэффициентов Клебша—Гордана (ККГ):

$$\langle F_2^-, i; F_2^-, \kappa | J, j \rangle = \langle i, \kappa | J, j \rangle \quad (10)$$

В формуле (9) подразумевается суммирование по неприводимым представлениям  $J$  с размерностью  $l_j$  и номером строк матриц неприводимых представлений  $t$  и  $\tau$ . Для кубической симметрии  $J = A_1^+, E^+, F_2^+$  — соответственно, единичное, двумерное и трехмерное представления, по которым преобразуются компоненты симметричного тензора второго ранга,  $F_2^-$  — векторное, а  $F_1^+$  — псевдовекторное представления. Воспользовавшись известными ККГ для группы  $O_h$  [6], находим:

$$\begin{aligned} \sigma_{123} &= \sigma_{231} = \sigma_{312} = -\sigma_{132} = -\sigma_{213} = -\sigma_{321} = \\ &= \frac{z}{6} (\sigma_{123}^{(1)} + \sigma_{231}^{(1)} + \sigma_{312}^{(1)} - \sigma_{132}^{(1)} - \sigma_{213}^{(1)} - \sigma_{321}^{(1)}) \end{aligned} \quad (11)$$

$$\sigma_{1111} = \sigma_{2222} = \sigma_{3333} = \frac{z}{3} (\sigma_{1111}^{(1)} + \sigma_{2222}^{(1)} + \sigma_{3333}^{(1)}) \quad (12)$$

$$\begin{aligned} \sigma_{1122} = \sigma_{1133} = \sigma_{2233} = \sigma_{2211} = \sigma_{3311} = \sigma_{3322} = \\ = \frac{z}{6} (\sigma_{1122}^{(1)} + \sigma_{1133}^{(1)} + \sigma_{2233}^{(1)} + \sigma_{2211}^{(1)} + \sigma_{3311}^{(1)} + \sigma_{3322}^{(1)}) \end{aligned} \quad (13)$$

$$\begin{aligned} \sigma_{1212} = \sigma_{1313} = \sigma_{2323} = \sigma_{2112} = \sigma_{3113} = \sigma_{3223} = \\ = \frac{z}{6} (\sigma_{1212}^{(1)} + \sigma_{1313}^{(1)} + \sigma_{2323}^{(1)} + \sigma_{2112}^{(1)} + \sigma_{3113}^{(1)} + \sigma_{3223}^{(1)}) \end{aligned} \quad (14)$$

Дальнейшие вычисления удобно проводить в системе координат, в котором тензор  $\sigma_{ik}^{(1)}$  диагонален. Назовем эту систему координат штрихованной. Переход от штрихованной к нештрихованной системе координат задается ортогональным преобразованием  $R(\theta, \varphi, \psi)$ , где  $\theta, \varphi, \psi$  — углы Эйлера.

При этом:

$$\sigma_{ik}^{(1)} = R_{i1} R_{k1} \sigma_{11}^{(1)} \quad (15)$$

$$\sigma_{ikl}^{(1)} = R_{i1} R_{k1} R_{l1} \sigma_{111}^{(1)} \quad (16)$$

$$\sigma_{iklm}^{(1)} = \frac{1}{2} R_{i1} R_{k1} (R_{l1} R_{m1} + R_{l1} R_{m1}) \sigma_{1111}^{(1)} \quad (17)$$

Подставляя (15) в (7) и воспользовавшись соотношениями ортогональности для матричных элементов  $R_{ik}$ , находим:

$$\sigma_{ik} = \frac{z}{3} (\sigma_{11}^{(1)} + \sigma_{22}^{(1)} + \sigma_{33}^{(1)}) \sigma_{ik} \quad (18)$$

Подстановка (16) в (11) приводит к выражению:

$$\begin{aligned} \sigma_{123} = \frac{z}{6} (R_{11} R_{21} R_{31} + R_{21} R_{31} R_{11} + R_{31} R_{11} R_{21} - \\ - R_{21} R_{11} R_{31} - R_{11} R_{31} R_{21} - R_{31} R_{21} R_{11}) \sigma_{1111}^{(1)} \quad (19) \end{aligned}$$

Выражение в скобках в формуле (19) равно  $\pm \det |R| = \pm 1$  для циклического и нециклического расположения индексов  $i', k', l'$  соответственно, и равно нулю при совпадении любой пары индексов.

Таким образом:

$$\sigma_{123} = \frac{z}{6} (\sigma_{123}^{(1)} + \sigma_{231}^{(1)} + \sigma_{312}^{(1)} - \sigma_{132}^{(1)} - \sigma_{213}^{(1)} - \sigma_{321}^{(1)}) \quad (20)$$

Компоненты тензора четвертого ранга удобно представить в виде следующих комбинаций:

$$\sigma_{1111} + 2\sigma_{1122} = \frac{z}{3} \sum_{i,k} \sigma_{i1i1}^{(1)} \quad (21)$$

$$\sigma_{1111} + 2\sigma_{1212} = \frac{z}{3} \sum_{i,k} \sigma_{i1k1}^{(1)} \quad (22)$$

$$\sigma_{1111} = \frac{z}{3} R_{11} R_{21} R_{31} \sigma_{1111}^{(1)} \quad (23)$$

Вспользуемся теперь решением кинетического уравнения для одной долины в штрихованной системе координат. Из известного

общего решения в приближении времени релаксации:

$$\begin{aligned} f_i^{(1)} = \frac{1}{z} ne < \left( 1 + \frac{u^{(1)}}{c^2} \sum_{k'} \frac{H_k^2}{u_k^{(1)}} \right)^{-1} [u_i^{(1)} E_i + \\ + \frac{u^{(1)}}{c^2} \left( \frac{E_i H_k}{u_k^{(1)}} - \frac{E_k H_i}{u_i^{(1)}} \right) + \frac{u^{(1)}}{c^2} (\vec{E} \vec{H}) H_i H_k ] > \quad (24) \end{aligned}$$

где  $u_i^{(1)}$  — компоненты тензора подвижности для одной долины в главных осях,  $u^{(1)} = u_1^{(1)} u_2^{(1)} u_3^{(1)}$ , разлагая по степеням магнитного поля, с точностью до квадратичных членов, находим отличные от нуля компоненты тензоров:

$$\sigma_{i'k'}^{(1)} = \frac{ne}{z} < u_i^{(1)} > \delta_{i'k'} \quad (25)$$

$$\sigma_{i'k'l'}^{(1)} = \frac{ne}{zc} < \frac{u_i^{(1)}}{u_i^{(1)}} > \delta_{i'k'l'} \quad (26)$$

$$2\sigma_{i'k'l'k'}^{(1)} = \frac{ne}{zc^2} < u^{(1)} > (1 - \delta_{i'k'}) \quad (27)$$

$$\sigma_{i'k'l'k'}^{(1)} = -\frac{ne}{zc^2} < \frac{u_i^{(1)} u_i^{(1)}}{u_k^{(1)}} > (1 - \delta_{i'k'}) \quad (28)$$

Здесь  $\delta_{i'k'l'k'} = 1$  при циклическом расположении индексов и равно  $-1$  в противном случае. Угловые скобки означают, как обычно, средние:

$$\begin{aligned} \langle A(\epsilon) \rangle = \frac{\int_0^\infty \left( -\frac{\partial f}{\partial \epsilon} \right) A(\epsilon) \rho(\epsilon) d\epsilon}{\int_0^\infty \left( -\frac{\partial f}{\partial \epsilon} \right) \rho(\epsilon) d\epsilon} \quad (29) \end{aligned}$$

где  $f(\epsilon)$  — функция распределения Ферми,  $\rho(\epsilon)$  — число состояний в интервале энергии от нуля до  $\epsilon$ .

Наконец, подставляя (25) — (28) в формулы (18), (20) — (23) окончательно находим:

$$\sigma = \frac{1}{3} ne < u_1^{(1)} + u_2^{(1)} + u_3^{(1)} > \quad (30)$$

$$\sigma_{123} = \frac{1}{3} \frac{ne}{c} < u_1^{(1)} u_2^{(1)} + u_1^{(1)} u_3^{(1)} + u_2^{(1)} u_3^{(1)} > \quad (31)$$

$$\begin{aligned} \sigma_{1111} + 2\sigma_{1122} = -\frac{1}{3} \frac{ne}{c^2} < (u_1^{(1)} - u_2^{(1)})^2 u_3^{(1)} + \\ + (u_1^{(1)} - u_3^{(1)})^2 u_2^{(1)} + (u_2^{(1)} - u_3^{(1)})^2 u_1^{(1)} + 6u^{(1)} > \end{aligned} \quad (32)$$

$$\sigma_{1111} + 2\sigma_{1212} = \frac{ne}{c^2} < u^{(1)} > \quad (33)$$

$$\begin{aligned} \sigma_{1111} = -\frac{1}{3} \frac{ne}{c^2} < (u_1^{(1)} - u_2^{(1)})^2 u_3^{(1)} R_{21}^2 R_{22}^2 + \\ + (u_1^{(1)} - u_3^{(1)})^2 u_2^{(1)} R_{21}^2 R_{23}^2 + (u_2^{(1)} - u_3^{(1)})^2 u_1^{(1)} R_{22}^2 R_{23}^2 > \end{aligned} \quad (34)$$

Формулы (30) — (34) являются весьма общими и применимы к кубическим кристаллам с произвольной изоэнергетической поверх-

ностью для носителей тока. Примечательно то, что из 5 независимых величин, определяющих гальваномагнитные эффекты в кубических кристаллах, только одна зависит от конкретного расположения главных осей тензора подвижности одной долины относительно кристаллографических осей.

Известно, что угловая зависимость магнетосопротивления для кубического кристалла определяется формулой Зейтца [1]:

$$\frac{\Delta\rho}{H^2\rho} = a + b(n_1l_1)^2 + c(n_1^2l_1^2), \quad (35)$$

где  $n_1$  и  $l_1$  — направляющие косинусы векторов тока и магнитного поля. Феноменологические коэффициенты  $a$ ,  $b$  и  $c$ , входящие в уравнение (35), выражаются через кинетические коэффициенты следующим образом:

$$a = -\frac{\sigma_{1122}}{\sigma} - \frac{\sigma_{123}^2}{\sigma^2} \quad (36)$$

$$b = -\frac{2\sigma_{1212}}{\sigma} + \frac{\sigma_{123}^2}{\sigma^2} \quad (37)$$

$$c = \frac{2\sigma_{1212} + \sigma_{1122} - \sigma_{1111}}{\sigma} \quad (38)$$

Ранее, исходя из предположения об эллипсоидальности и параболичности изоэнергетических поверхностей и существования тензорного времени релаксации для одной долины, было показано, что между коэффициентами Зейтца имеются следующие соотношения [4]:

$$a + b = 0 \quad \text{для } n\text{-Ge} \quad (39)$$

$$a + b + c = 0 \quad \text{для } n\text{-Si} \quad (40)$$

Покажем, что эти соотношения являются следствием только особого расположения главных осей тензора подвижности относительно кристаллографических осей и не зависят от формы изоэнергетической поверхности.

Действительно, из (32) — (34) и (36) — (38) имеем:

$$a + b = -\frac{1}{6} \frac{ne}{\sigma c^2} < (u_1^{(1)} - u_2^{(1)})^2 u_3^{(1)} (1 - 3R_{11}^2 R_{22}^2) = \\ + (u_1^{(1)} - u_3^{(1)})^2 u_2^{(1)} (1 - 3R_{11}^2 R_{33}^2) + \\ + (u_2^{(1)} - u_3^{(1)})^2 u_1^{(1)} (1 - 3R_{22}^2 R_{33}^2) > \quad (41)$$

$$a + b + c = -\frac{\sigma_{1111}}{\sigma} \quad (42)$$

Пусть главные оси тензора подвижности составляют углы  $\theta = \arccos \frac{1}{\sqrt{3}}$ ,  $\phi = \frac{\pi}{4}$ ,  $\varphi$  (произвольный) с кристаллографическими осями. Тогда:

$$R_{11}^2 R_{22}^2 = R_{11}^2 R_{33}^2 = R_{22}^2 R_{33}^2 = \frac{1}{3} \quad (43)$$

и выражение (41) обращается в нуль, независимо от вида функций.

Если главные оси тензора подвижности совпадают с кристаллографическими осями, то:

$$R_{11}^2 R_{22}^2 = R_{11}^2 R_{33}^2 = R_{22}^2 R_{33}^2 = 0 \quad (44)$$

и выражение (34), а с ним и (42) тождественно обращается в нуль.

В частном случае, когда компоненты тензора подвижности в главных осях можно представить в виде:

$$u_i^{(1)}(\epsilon) = \rho_{ii}(\epsilon)$$

из (30) — (34) получаются известные результаты для  $n\text{-Ge}$  и  $n\text{-Si}$  [1, 2].

#### Литература

1. Ансельм А. И. Введение в теорию полупроводников. «Наука», М., 1978.
2. Аскеров Б. М. Кинетические эффекты в полупроводниках. «Наука», Л., 1970.
3. Зеегер К. Физика полупроводников. «Мир», М., 1977.
4. Баранский П. И., Буда И. С., Даховский И. В., Коломоец В. В. Электрические и гальваномагнитные явления в анизотропных полупроводниках. «Наукова думка», 1977.
5. Любарский Г. Я. Теория групп и ее применение в физике. ИТТЛ, 1957.
6. Батарунас И. В., Левинсон И. Б. Труды АН Лит. ССР, серия Б, 2, 22, 15, 1960.

Институт физики

Поступило 11. XI 1980

Ф. М. Гашимзаде, Р. С. Надирзаде

#### ЗЭИФ САҲЭЛЭРДЭ ГАЛВАНОМАГНИТ ЭМСАЛЛАР ТЕНЗОРУ ВЭ ОНЛАРЫН СИММЕТРИЈАСЫ

Мөгаләдә ихтијари формалы изоэнергетик сәтләрә малик кубик кристалларынын гальваномагнит эмсаллары тензорларынын компонентләри үчүн үмуми дүстурлар алынмышдыр. Көстөрилмишдыр ки, Зейтс эмсаллары арасында электрон типли силеснум вә керманнум үчүн доғру олан мә’лум мүнәсибәтләр енержи минимумларындан биринчи јүрүклүк тензорунун баш охларынын кристаллографик охлара нисбәтән хүсуси вәзијјәтдә јерләшмәсиндән ирәли кәлир вә изоэнергетик сәтләрини формасындан асылы дејил.

F. M. Gashimzade, R. S. Nadir-zade

#### THE SYMMETRY AND TENSOR OF GALVANOMAGNETIC COEFFICIENTS OF CRYSTALS IN THE WEAK FIELDS

The new method of calculating of tensors of kinetic coefficients of crystals in the weak fields using the theoretical-group approach is suggested.

General formulas for five independent quantities which define galvanomagnetic effects for cubic crystals are found.

It is shown that only one from these depends on orientation of principal axes of conductivity tensor for individual valley about crystallographic axes.

If it is also shown that the correlations between Seltz's coefficients are fulfilled independently from the form of constant energy surfaces for particular orientation of principal axes of conductivity tensor of separate valley about crystallographic axes.

Чл.-корр. АН ССР Г. Б. АБДУЛЛАЕВ, Н. Х. МЕХТИЕВ, Х. М. КАСУМОВ,  
Ф. И. АБДУЛЛАЕВ, Ш. В. МАМЕДОВ, Э. Ш. МАМЕДОВ, А. Ф. КОЖОКАРУ,  
И. Г. АКОЕВ

**ИССЛЕДОВАНИЕ МЕХАНИЗМА ДЕЙСТВИЯ  
ОРГАНИЧЕСКИХ СОЕДИНЕНИЙ СЕЛЕНА  
НА МИТОХОНДРИАЛЬНЫЕ МЕМБРАНЫ**

В предыдущих работах было показано, что водорастворимые и жирорастворимые соединения селена (ЖСС) оказывают действие на фосфорилирующий путь окисления в митохондриях [1, 2]. С помощью различных субстратов окислительного фосфорилирования и ингибиторов дыхательной цепи было установлено, что ЖСС действуют на дыхательную цепь митохондрий между НАД и цитохромом в, а при повышенных концентрациях ( $> 10^{-3}$  М) ингибируют дыхание и подавляют активность сукцинатадегидрогеназы.

Жирорастворимые соединения селена оказались намного эффективнее в изменении скорости дыхания митохондрий, чем водорастворимые соединения (ВСС). Они не увеличивают ионную проницаемость бимолекулярных фосфолипидных мембран. Исходя из этих данных было высказано предположение, что соединения селена могут взаимодействовать с ферментами, локализованными в первом пункте дыхательной цепи митохондрий.

Цель настоящей работы — дальнейшее исследование соединений селена в процессе фосфорилирующего окисления в дыхательной цепи мембран митохондрий.

**МАТЕРИАЛЫ И МЕТОДЫ ИССЛЕДОВАНИЙ**

Митохондрии выделяли методом дифференциального центрифугирования [3, 4] из печени крыс линии «Вистар» весом 180–200 г. Содержание белка в суспензии определяли по методу Лоури [5]. В опыте использовали митохондрии, содержащие 60–70 мг/мл белка. Величины дыхательного контроля (ДК) и коэффициента АДФ/О, скорость окисления сукцината в митохондриях (МХ) в состоянии 3 и 4 оценивали по методу Ларди и Чанса [5, 7]. Скорость поглощения кислорода митохондриями регистрировали полярографическим методом, с использованием вращающегося платинового электрода. Скорость дыхания митохондрий в норме принималась за 100%. Ток насыщения на платиновом электроде 750 мв. Исследования проводились при комнатной температуре (22°C) в герметической ячейке из оргстекла объемом в 1 мл. Среда инкубации митохондрий содержала: 27,4 мМ грис-НСl, 10 мМ сукцината, 1 мМ этилендиаминтетраацетата (ЭДТА), 280,1 мМ сахарозы, 25 мМ КСl, 5 мМ  $K_2HPO_4$ ,  $10^{-6}$  М ротенона. В качестве ингибитора дыхания использовался цианид калия 2 мМ.

В качестве органических соединений селена были взяты вещества (см. таблицу), хорошо растворимые в этиловом спирте. Исходная концентрация препарата в спиртовом растворе —  $10^{-2}$  М. Из такой концентрации в исследуемый раствор добавлялись в количестве 10<sup>-4</sup> М. Формулы, молекулярные веса и названия исследованных соединений

№ п.п.	Формулы	Моляр. вес	Название
1		1041	Селендихлорид бис-N', N' (2-хлорпропил)-1,4,5,6,7,7'-гексахлорбисцикло (2,2'1)-геп-5-ен-2,3-дикарбоновой кислоты
2		590	Динизопропил бис-(N', N'-2-хлорпропил) фтолимид селенид.
3		741	Динизопропил бис-(N', N'-2-хлорпропил) гексахлортрицикло (6;2;1)-2-циклен-7,8-дикарбоновой кислоты
4		334	Селеноцистин

5		390	Триокситрифенилселенхлорид
---	--	-----	----------------------------

Концентрации исследуемого препарата делались добавки в измерительную ячейку микрошприцом, постепенно увеличивая концентрацию в растворе от  $10^{-6}$  до  $2 \cdot 10^{-3}$  М. При обработке данных, связанных с обменом кислорода при дыхании митохондрий, проводились необходимые расчеты, кинетический анализ, а также статистическая обработка результатов [8]. Для измерения митохондриальных пиридиннуклеотидов использовали флуоресцентный метод, впервые описанный Чансом [9, 10]. Сигнал переменного тока при импульсном возбуждении флуоресценции (450 нм) поступает на дифференцирующую цепочку на вход рН-метра, используемого в качестве катодного повторителя.

**РЕЗУЛЬТАТЫ И ОБСУЖДЕНИЕ**

В таблице приведены структурные формулы и название исследованных в данной работе органических соединений селена. Все иссле-

дованные препараты изменяют функциональное состояние митохондрий печени крыс. Зависимость относительной скорости поглощения кислорода митохондриями от концентрации жирорастворимых соединений селена (ЖСС) представлена на рис. 1. Как видно из рисунка, с увеличением кон-

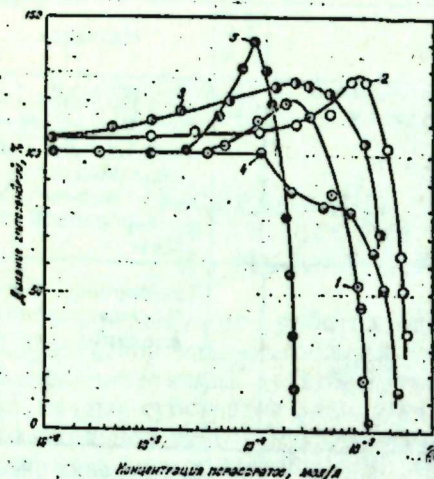


Рис. 1. Зависимость поглощения кислорода митохондриями от концентраций селенсодержащих соединений (1, 2, 3, 4, 5—из таблицы). Среда инкубации содержала сукцинатдегидрогеназу.

центрации ЖСС от  $10^{-6}$  до  $4 \cdot 10^{-5}$  М происходит незначительное ускорение дыхания митохондрий. Максимум разобщения достигается при концентрациях  $3 \cdot 10^{-4}$  М и не превышает 150% по отношению к контрольному (100%). Дальнейшее увеличение концентрации селена приводит к резкому ингибированию дыхательной цепи митохондрий. Величина дыхательного контроля для контрольных митохондрий колебалась в пределах 3,8—4,5 и 3,2—4,0 соответственно [11].

Скорость окисления сукцината в митохондриях в метаболическом состоянии 4 представлена на рис. 2. Сравнительный контроль дыхания митохондрий приведен на рис. 2 А при добавлении АДФ. Введение ТТФБ ускоряет дыхание, а последующее добавление ТХСО полностью ингибирует дыхательную цепь. Эффекты разобщающего действия исследуемых нами препаратов (1, 3, 4) показаны на рис. 2 Б, В, Г. Единственным препаратом, который не вызывает заметного ускорения дыхания митохондрий является препарат 4. Вплоть до  $10^{-4}$  М это соединение не увеличивает скорости дыхания, а при концентрациях от  $2 \cdot 10^{-4}$  и  $2 \cdot 10^{-3}$  М приводит к резкому торможению дыхания и полному ингибированию синтеза АТФ. Разобщение сопряженной системы митохондрий, возможно, связано с отщеплением фактора F, катализирующего гидролиз АТФ, или с помощью блокирования этого фактора соединениями селена. При повышенных концентрациях селенсодержащих соединений наступает торможение фосфорилирования, которому сопутствует стимуляция эндэргонических функций, таких как обратный перенос электронов.

Являясь энергетически наиболее эффективным субстратом, янтарная кислота обеспечивает обратный перенос электронов в дыхательной цепи [13]. Янтарная кислота имеет преимущество перед НАД-зависимым субстратом как восстановителя пиридиннуклеотидов (ПН). Индуцируемое янтарной кислотой снижение флуоресценции, восстановленных ПН, отражает истинные редокс-изменения восстановленных ПН, рис. 3А. Как показано на рис. 3А, добавление янтарной кислоты индуцирует вос-

становление НАД<sup>++</sup> в обратном переносе электронов в дыхательной цепи. С целью контроля интактности выделенных митохондрий добавле-

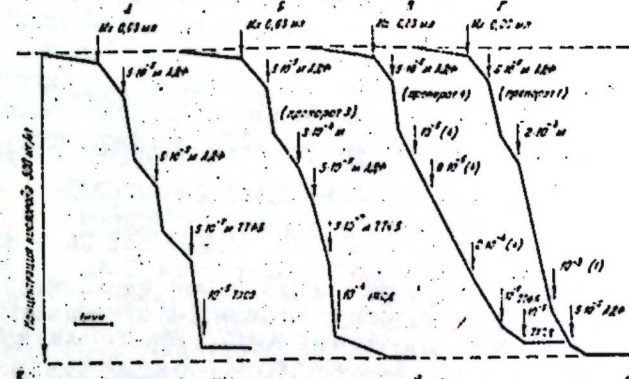


Рис. 2. Кинетика изменения поглощения кислорода митохондриями. Стрелками обозначен момент добавления исследуемых веществ. В скобках указана нумерация препаратов согласно таблице. Кр. А получена с добавлением АДФ, тетрахлортрифторметилбензимидазола (ТТФБ) и 2,2'-диокси-3,5,3',5'-тетрахлордифенилсульфоксида (ТХСО). Б—АДФ, препарат 3 (см. таблицу) ТТФБ—2,2'-диокси-3,3'-динитро-5,5'-дихлордифенилсульфид (НХСД); В—АДФ, препарат 4, ТТФБ и 2,2'-диокси-3,3',—5,5<sup>В</sup>-тетрахлордифенилсульфид (ТХСД); Г—АДФ, препарат 1 и АДФ.

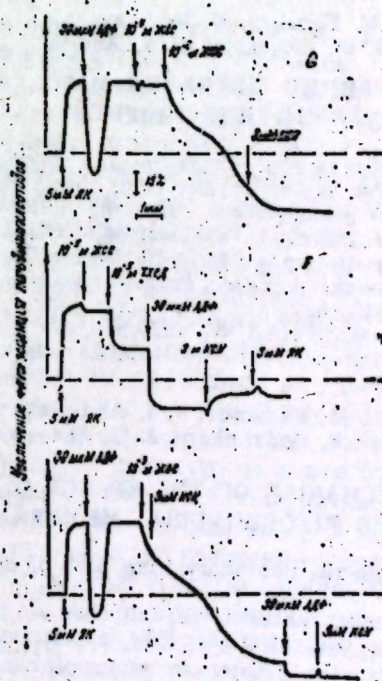


Рис. 3. Сопоставление редокс-изменения пиридиннуклеотидов в митохондриях печени крыс под действием 1-метокси, 2-окси, 3-фенилселенпропана; 2,2'-диокси-3,5'-3,5'-тетрахлордифенилсульфида (ТХСД) и цианида калия (KCN). Среда инкубации: 2 мМ трис-HCl, pH=7,4; 0,3М—сахарозы, 0,5 мМ ЭДТА и 2,15 мг белка митохондрий в 1 мл.

ние АДФ приводит к резкому окислению ПН, а затем по мере расхода АДФ уровень восстановленности ПН доходит до исходного значения. Что же происходит с ПН при добавлении ЖСС к митохондриям, находя-





нитрофенол (2,4-ДНФ), фторид натрия, амитал (натриевая соль этилизоамилбарбитуровой кислоты). Также изучалось влияние на РП диметилсульфоксида (ДМСО)—ионофора, действующего на проницаемость мембран. Время, на протяжении которого проводили измерения РП, выбирали таким образом, чтобы можно было бы четко проследить за кинетикой изменения РП под влиянием тех или иных факторов. Опыты повторяли 20 раз.

Используя внутриклеточный способ отведения биопотенциалов, регистрировались сравнительно высокие значения РП, которые достигали  $-140$ — $-160$  мВ у клеток палисадной паренхимы листа пшеницы и  $-180$  +  $-200$  мВ у кукурузы. Отметим, что в экспериментах с клетками листа *Elodea* наблюдались столь же высокие значения МП [3, 7]. По мнению авторов, чтобы объяснить высокий уровень МП с позиций пассивного транспорта ионов, необходимо допустить, что внутриклеточная концентрация какого-либо иона отличается от наружной на 4—5 порядков. Нереальность такой ситуации очевидна и поэтому авторы приходят к выводу, что в формировании МП участвуют электрогенные насосы, осуществляющие перенос ионов против градиента электрохимического потенциала. Поскольку в изученных нами клетках регистрировались большие отрицательные значения РП, можно предположить, что, видимо, в их происхождении также существенную роль играют электрогенные насосы. Известно, что для поддержания работы электрогенного насоса требуется затрата метаболической энергии [8—10]. В качестве источника такой энергии могла бы служить АТФ, поставляемая дыхательным процессом. Поэтому для выяснения роли АТФ в образовании РП мы изучали действие на РП ряда ингибиторов метаболических процессов (см. раздел «Методика»), влияющие на дыхательные процессы в клетках. Прежде чем перейти к описанию результатов исследований, полученных при действии ингибиторов метаболизма, отметим, что мы проводили предварительные опыты с различными концентрациями ингибиторов. В основных экспериментах использовали те концентрации, при которых наблюдался наиболее отчетливый эффект.

В наших опытах по изучению действия 2,4-ДНФ ( $10^{-4}$  М) на РП было обнаружено, что этот ингибитор деполяризует РП как у пшеницы, так и у кукурузы со скоростью 50 мВ/мин, уменьшая значения потенциала от  $-155$  до  $-55$  мВ у пшеницы и от  $-190$  до  $-30$  мВ у кукурузы (рис. 1, А). Аналогичный эффект ДНФ наблюдался в ряде работ [11—13] и его связывают с подавлением активной составляющей МП клеток. Действие 2,4-ДНФ обратимо: при замене раствора ингибитора контрольным раствором (водопроводная вода) величина РП принимает исходное значение (рис. 1).

Как и в случае 2,4-ДНФ, при действии  $10^{-4}$  М фторида натрия, специфического ингибитора фосфолипаз в реакции гликолиза [9], происходила сильная и обратимая деполяризация РП в среднем на 115 мВ у пшеницы и на 160 мВ у кукурузы (рис. 1, Б).

В отличие от 2,4-ДНФ и NaF при действии амитала уменьшение РП происходит сравнительно медленно, т. е. 13 мВ/мин у пшеницы и 15 мВ/мин у кукурузы (рис. 1, В). Не исключено, что умеренное снижение РП под действием амитала по сравнению с уменьшением ее при действии 2,4-ДНФ и NaF связано с тем, что этот ингибитор лишь частично подавляет дыхание [9].

Как видно из рис. 1, при действии ингибиторов метаболических процессов происходит значительная деполяризация РП. Отметим, что депо-

ляризация мембран и соответственно уменьшение РП под действием ингибиторов метаболизма может быть следствием либо изменения активного транспорта определенных ионов через плазмалемму, либо изменения пассивной проницаемости последней, либо обеих причин одновременно. Поэтому мы изучали действие диметилсульфоксида (ДМСО)

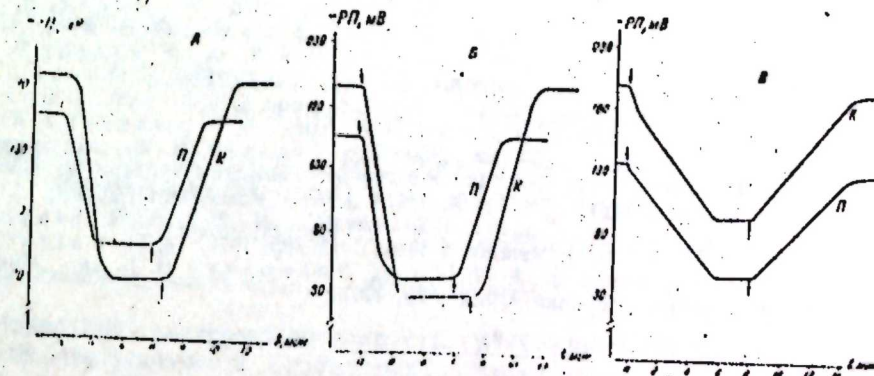


Рис. 1. Изменение РП клеток палисадной паренхимы листа пшеницы (П) и кукурузы (К) при действии 2,4-ДНФ (А), фторида натрия (Б) и амитала (В). Стрелка, направленная вниз указывает момент нанесения ингибитора; стрелка вверх—момент замены раствора ингибитора на контрольный раствор (водопроводная вода).

на РП. Как известно, это вещество существенно изменяет как проводимость искусственных фосфолипидных мембран, так и проницаемость мембран животных и растительных клеток [14, 15].

В наших опытах нанесение на срез листа 1%-ного раствора ДМСО сопровождалось деполяризацией РП в среднем на 15 мВ у пшеницы и 20 мВ у кукурузы. При этом на протяжении 50—60 сек РП достигала нового стационарного значения. Действие ДМСО обратимо (рис. 2).

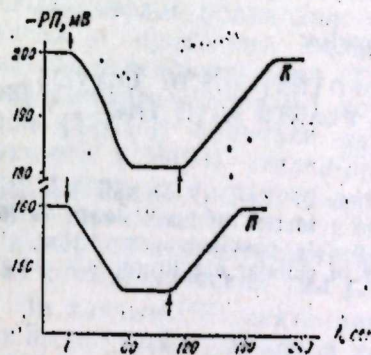


Рис. 2. Влияние ДМСО (1%) на РП клеток палисадной паренхимы листа пшеницы (П) и кукурузы (К). Стрелка вниз обозначает момент нанесения раствора ДМСО; стрелка вверх—момент замены раствора ДМСО на контрольный раствор.

На основании изложенных данных можно утверждать, что существенную деполяризацию поверхностных мембран и соответственно значительное уменьшение РП под действием ингибиторов метаболизма нельзя объяснить лишь изменением пассивной проницаемости мембран. Эти явления обусловлены, по-видимому, активным транспортом ионов, которые осуществляются электрогенным ионным насосом, энергетически обеспечиваемым дыхательным фосфорилированием.

Таким образом, приведенные результаты позволяют сделать вывод о существовании электрогенных насосов как общей закономерности клеточного электрогенеза для всех видов растений. Это подтверждается данными о влиянии хлоропластов, митохондрий и вакуолей на возникновение мембранного потенциала в клетках высших растений. Литература: С. М. Блох, Биологический журнал, 1974, 2, 3; С. Л. Слайман, С. Л., Градманн, Д. Биophys. J., 15, 9, 938, 1975; 3. Новак В. А., Иванкина Н. Г. ДАН СССР, 242, № 5, 1229, 1978; 4. Лялин О. О. В кн. Ионный транспорт в растениях. Наука, думка, 10, 199, 5. Адыгезалов В. Ф., Гродзинский Д. М. Тез. докл. респ. конференции. Баку, 6, 1977; 6. Алиев Д. А., Адыгезалов В. Ф. Изв. АН Азерб. ССР, серия биол., № 3, 1980; 7. Spanwick R. M. In "Ion transport in plants". New York, 8. Аршавский Ю. И. Успехи современной биологии, 50, 62, 1960; 9. Скулачев В. П. Аккумуляция энергии к клетке. Наука, М., 1969; 10. Рэкер Э. Биоэнергетические механизмы: новые взгляды. Изд-во "Мир", 1979; 11. Dainty J. Ann. Rev. Plant Physiol., 13, 379, 1962; 12. Higinbotham N. Ann. Rev. Plant Physiol., 24, 25, 1973; 13. Slayman C. L., Long W. S. C. Yn. Lu. J. Membrane Biol., 14, 4, 305, 1973; 14. Henniges W., Dittman E. Ch. Experientia, 30, 1, 74, 1974; 15. Приходько Н. В. кн.: "Ионный транспорт в растениях". Наука, думка, 79, 1979.

I. Spanwick R. M. Blochim. biophys. acta, 332, 3, 1974. 2. Slayman C. L., Gradmann D. Biophys. J., 15, 9, 938, 1975. 3. Новак В. А., Иванкина Н. Г. ДАН СССР, 242, № 5, 1229, 1978. 4. Лялин О. О. В кн. Ионный транспорт в растениях. Наука, думка, 10, 199, 5. Адыгезалов В. Ф., Гродзинский Д. М. Тез. докл. респ. конференции. Баку, 6, 1977. 6. Алиев Д. А., Адыгезалов В. Ф. Изв. АН Азерб. ССР, серия биол., № 3, 1980. 7. Spanwick R. M. In "Ion transport in plants". New York, 8. Аршавский Ю. И. Успехи современной биологии, 50, 62, 1960. 9. Скулачев В. П. Аккумуляция энергии к клетке. Наука, М., 1969. 10. Рэкер Э. Биоэнергетические механизмы: новые взгляды. Изд-во "Мир", 1979. 11. Dainty J. Ann. Rev. Plant Physiol., 13, 379, 1962. 12. Higinbotham N. Ann. Rev. Plant Physiol., 24, 25, 1973. 13. Slayman C. L., Long W. S. C. Yn. Lu. J. Membrane Biol., 14, 4, 305, 1973. 14. Henniges W., Dittman E. Ch. Experientia, 30, 1, 74, 1974. 15. Приходько Н. В. кн.: "Ионный транспорт в растениях". Наука, думка, 79, 1979.

АзНИИ земледелия МСХ Азерб. ССР

Поступило 29. X 1980

М. Э. Алиев, В. Ф. Адыгезалов

ЖЕРУСТУ АЛИ БИТКИЛЭРИН ЖАРПАГ ҺУЧЕЈРЭЛЭРИНИН

БИОПОТЕНЦИАЛЛАРИНЫН ТЭНЭФФУС ПРОСЕСИ ИЛЭ ЭЛАГЭСИНИН

ӨРЭНИЛМƏСИ

Магаләдә көнд гәсәррүфаты биткиләринин жарпаг һучејрәләринин мембран потенциалына 2,4-ДНФ, натриум флорид, амитал, вә диметилсульфоксиди тәсиринин тәдқиқидән алынған нәтижәләр верилмишдир. Эләбијјат мөлүмәтләринә вә өз тәдқиқатларымыздан алынған мөлүмәтләргә асаһанараг белә бир нәтижә чыхыр ки, электроген насосларының бүтүн битки нөвләриндә мөвчүдлүгү һучејрә электрогенезинин үмуми ганунаујулуғудур.

D. A. Aliev, V. F. Adygezalov

THE STUDY OF THE RELATION OF THE BIOPOTENTIALS OF LEAVE'S CELLS OF THE TERRESTRIAL HIGHER PLANTS WITH THE RESPIRATORY PROCESS

Results of the investigations about the influence of 2,4-DNF, sodium fluoride-amital and the dimethylsulfoxide on the membrane potential of leave's cells of the agricultural plants are given. From literary and own data conclusion about the existence of electrogenic pumps as the overall regularity of cellular electrogenesis for all species of plants is made.

УДК 678.742.2/004.69/: 541:539.2

ХИМИЯ ПОЛИМЕРОВ

Р. М. АЛИГУЛИЕВ, Г. М. АЛИЕВ, Д. М. ХИТЕЕВА,  
Ф. А. АХУНДОВА, А. А. МАМЕДОВ

ВЛИЯНИЕ ОСОБЕННОСТЕЙ СТРУКТУРЫ ПОЛИОЛЕФИНОВЫХ ТЕРМОЭЛАСТОПЛАСТОВ НА ИХ ПОВЕДЕНИЕ В ОДНОРОДНОМ МЕХАНИЧЕСКОМ ПОЛЕ

(Представлено академиком АН Азербайджанской ССР С. Д. Мехтиевым)

Известно, что термоэластопласты (ТЭП) обладают ярко выраженной микрогетерогенной структурой, которая определяет их основные физико-механические свойства [5]. Наличие "жестких" доменов в "мягкой основе", обуславливающих микрогетерогенность, обеспечивает специфику поведения данного полимерного материала в механическом поле сил. При этом жесткие домены играют роль как физических узлов эластомерной сетки, так и мелкодисперсного эффективного наполнителя. Возможность направленного регулирования структуры подобных полимерных систем, и в частности, ТЭП на основе полиолефинов, делает их удобными объектами для исследования механических свойств эластомеров. Поэтому представляет несомненный интерес исследование поведения полиолефиновых термоэластопластов в силовом механическом поле.

Структурные особенности ТЭП варьировали при помощи специальных методов получения: так линейные блок-сополимеры на основе этилена и пропилена, характеризующиеся наличием полиэтиленовых участков в основной цепи (ТЭП-1), были синтезированы на катализаторах Циглера-Натта [6], термоэластопласты с разветвленной структурой (ТЭП-2) получали путем прививки к полиэтилену высокой плотности (ПЭВП) этилен-пропиленового эластомера, в присутствии структурирующего агента путем механического смещения, приготовлялись термоэластопласты (ТЭП-3), в которых взаимодействие между эластомерной и кристаллической фазами осуществлялось исключительно за счет физических сил [2].

По данным ИК-спектрометрии и рентгеноструктурного анализа [6] количество полиэтиленовой фазы для всех типов, используемых ТЭП составляло 40 масс. %. Динамико-механические характеристики данных полимерных материалов определялись на частотном релаксометре типа ДИП-1. Деформационные свойства изучались на разрывной машине типа ЗМ-40. Для точного расчета кривых "деформация—напряжение" большинство образцов перед механическими испытаниями были подвергнуты многократным циклам растяжения.

На рис. 1 приведены спектры внутреннего трения для полиолефиновых ТЭП, полученные при частоте  $\omega = 1,5 \cdot 10^{-2}$  сек<sup>-1</sup>. Наличие кристаллической фазы полиэтиленового типа у всех полиолефиновых

ТЭП приводит к снижению максимума проявления пика  $\alpha$ -потерь и к его смещению в область более высоких температур по сравнению с исходным этилен-пропиленовым каучуком марки СКЭПТ-Э30. Наиболее заметное смещение  $\alpha$ -перехода наблюдается у ТЭП-3, наименьшее — у ТЭП-1. При температурах выше проявления  $\alpha$ -процесса релаксации наблюдается другой быстрый релаксационный процесс —  $\alpha'$ , наиболее ярко выраженный в образце ТЭП-3. Поскольку указанный переход не наблюдается в исходном СКЭПТ-Э30, то логично предполагать, что данный переход своим появлением обязан имеющимся в ТЭП полиэтиленовым доменам. При наличии химически связанных полиэтиленовых блоков в ТЭП-1 и ТЭП-2 наблюдается снижение максимума  $\alpha'$ -потерь и при этом рост  $\alpha$ -потерь и уширение пика тангенса угла механических потерь как следствие разнообразия в размерах структурных элементов, обуславливающих этот процесс. Природу релаксаторов, ответственных за быстрые и  $\alpha'$ -процессы, определяли, используя уравнение  $\tau_i = B_i e^{u_i/kT}$  и условие  $\omega\tau = C$  (2), где  $u_i$  — энергия активации,  $B_i$  — предэкспонентный множитель;  $C$  — безразмерная величина, равная 10 [4]. Поскольку предэкспоненты  $B_i$  для этих процессов практически одинаковы ( $B = 5 \cdot 10^{-12}$ ), то эта величина соответствует кинетическим единицам — сегментам. Большая разница в энергиях активации  $\alpha$  и  $\alpha'$ -процессов (табл. 1) свидетельствует о том, что сегментальное движение в адсорбированных слоях эластомерной фазы затруднено и зависит от характера полиэтиленовой фазы.

Для всех исследованных термоэластопластов были зафиксированы медленные переходы  $\lambda_1$ ,  $\lambda_2$  и  $\lambda_3$ . У ТЭП-3, полученных при помощи механического смещения с последующим структурированием наблюдаются дополнительно  $\varphi$  и  $\delta$ -пики. Для каждого медленного релаксационного процесса определяли энергию активации  $u_i$  и предэкспоненциальный коэффициент (табл. 1).

Полученные расчетные данные показывают, что энергия активации первых трех медленных процессов релаксации для различных ТЭП составляет 52—54 кдж/моль и близка к энергии активации вязкого течения эластомеров. В то же время  $B_{\lambda_1}$ ,  $B_{\lambda_2}$  и  $B_{\lambda_3}$  оказываются значительно больше, чем коэффициент, характерный для времени релаксации, связанного с подвижностью сегментов ( $B_{\alpha}$ ;  $B_{\alpha'}$ ) и показывают, что существуют эластомерные микроблоки различных размеров. Можно предполагать, что разрушение и образование упорядоченных микробластов осуществляется путем отщепления и присоединения сегментов в качестве отдельных кинетических единиц [3].

Таким образом, динамические спектры внутреннего трения указывают на множественность релаксационных переходов в полиолефиновых термоэластопластах. Сложность и многообразие структурных

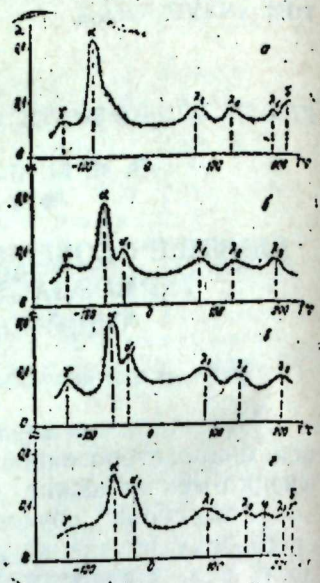


Рис. 1. Температурные зависимости коэффициента механических потерь исходного СКЭПТ (а) и термоэластопластов на его основе: ТЭП-1 (б); ТЭП-2 (в) и ТЭП-3 (д).

Таблица 1

Релаксационные характеристики шитого СКЭПТ и полиолефиновых ТЭП при 20°C

Материал	Процесс релаксации	$\alpha$	$\lambda_1$	$\lambda_2$	$\lambda_3$	$\alpha$	$\varphi$	$\delta$
СКЭПТ	$\tau$ , сек	$3,41 \cdot 10^{-4}$	$1,41 \cdot 10^3$	$1,32 \cdot 10^4$	$1 \cdot 10^5$	—	$2,1 \cdot 10^7$	$4,47 \cdot 10^{10}$
	$u$ , кдж/моль	50	54	54	54	—	—	120
	$B_i$ , сек	$5 \cdot 10^{-12}$	$3 \cdot 10^{-6}$	$2,6 \cdot 10^{-5}$	$2,1 \cdot 10^{-4}$	—	—	$1,4 \cdot 10^{-13}$
ТЭП-1	$\tau$ , сек	0,1	$1,58 \cdot 10^3$	$2,5 \cdot 10^3$	$1,57 \cdot 10^4$	—	—	—
	$u$ , кдж/моль	52	53	53	53	61	—	—
	$B_i$ , сек	$5 \cdot 10^{-12}$	$4 \cdot 10^{-6}$	$1,3 \cdot 10^{-5}$	$8,9 \cdot 10^{-4}$	$5 \cdot 10^{-12}$	—	—
ТЭП-2	$\tau$ , сек	$7,4 \cdot 10^{-4}$	$1,25 \cdot 10^3$	$1,5 \cdot 10^3$	$1,26 \cdot 10^4$	1,12	—	—
	$u$ , кдж/моль	56	52	52	52	63	—	—
	$B_i$ , сек	$5 \cdot 10^{-12}$	$3,8 \cdot 10^{-6}$	$6 \cdot 10^{-5}$	$5,6 \cdot 10^{-4}$	$5 \cdot 10^{12}$	—	—
ТЭП-3	$\tau$ , сек	0,1	$1,53 \cdot 10^4$	$2,5 \cdot 10^5$	$1,57 \cdot 10^3$	3,16	$1,26 \cdot 10^8$	$1,6 \cdot 10^{10}$
	$u$ , кдж/моль	57	54	54	54	65	93	134
	$B_i$ , сек	$5 \cdot 10^{-12}$	$5,4 \cdot 10^{-6}$	$5,6 \cdot 10^{-5}$	$4,8 \cdot 10^{-4}$	$5 \cdot 10^{12}$	$7,6 \cdot 10^{-9}$	$1,6 \cdot 10^{-15}$

релаксаторов, обуславливают специфику их деформационных свойств при одноосном растяжении. Кривые растяжения исследованных материалов представлены на рис. 2, из которого видно, что характер поведения термоэластопластов при одноосном растяжении независимо от химического строения является типичным для каучукоподобных веществ. При больших деформациях наблюдается направленный характер изменения структуры материала, которая перестраиваясь, приобретает энергетически выгодную форму. Структурные параметры при деформации ТЭП рассчитывались по уравнению Муни—Ривлина:

$$f = (C_1 + C_2 \lambda)(\lambda - \lambda^{-2}), \quad (3)$$

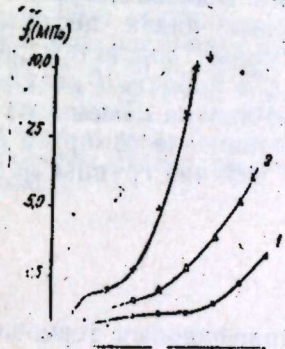


Рис. 2. Деформационные кривые термоэластопластов: 1—ТЭП-1; 2—ТЭП-2; 3—ТЭП-3

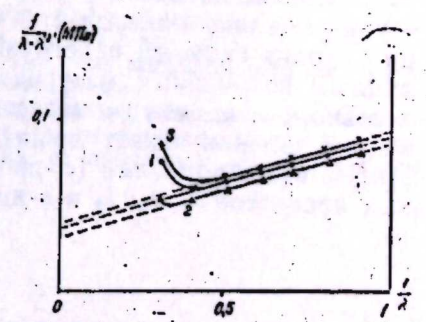


Рис. 3. Определение констант эластичности по уравнению Муни—Ривлина: 1—ТЭП-1; 2—ТЭП-2; 3—ТЭП-3

где  $f$  — условная нагрузка;  $\lambda$  — степень растяжения образца;  $C_1$  и  $C_2$  — константы эластичности.

Если принять во внимание, что полиэтиленовые домены играют роль активного усилителя, то каучуковая фаза деформируется неоднородно вследствие адгезии к твердой поверхности и поэтому видимая

деформация меньше локальных деформаций цепей пространственной сетки.

Отношение средней локальной деформации к общей деформации равно отношению модулей Юнга для исходного и содержащего полиэтиленовую фазу эластомеров в соответствии с уравнением Гута—Смокуда:

$$E = E_0(1 + 2,5\varphi + 14,1\varphi^2), \quad (4)$$

где  $\varphi$ —объемная доля наполнителя;  $E_0$ —модуль упругости исходного эластомера.

Вычисленная поправка учитывалась при анализе эластических свойств в терминах феноменологического подхода Муни—Ривлина. Деформационные зависимости от напряжения, обработанные в соответствии с этим уравнением, приведены на рис. 3. В области растяжений  $\lambda \sim 2-5$  зависимости линейны, причем константа мало зависит от содержания полиэтиленовой фазы, а константа несколько увеличивается для ТЭП-3, что, по-видимому, связано с наличием небольшого количества химической сшивки, образующейся при получении этого материала (табл. 2). При больших деформациях зависимости перестают

Таблица 2

Материал	Константы МПа	
	$2C_1$	$2C_2$
СКЭПТ	0,24	0,59
ТЭП-1	0,28	0,62
ТЭП-2	0,28	0,62
ТЭП-3	0,31	0,64

быть линейными и на них наблюдается резкий подъем. Совместное рассмотрение динамико-механических свойств и анализа по уравнению Муни—Ривлина показывает, что при различных видах деформации происходит сложная перегруппировка структурных подсистем исследуемых полимерных материалов, приводящая в конечном результате к резкому подъему на зависимостях Муни—Ривлина. Главную роль в этом явлении играет специфика взаимодействия эластомера с полиэтиленовыми доменами ( $\alpha'$ -процесс), а также наличие группы медленных процессов  $\lambda_1$ ;  $\lambda_2$ ;  $\lambda_3$  и  $\varphi$ -процессов.

### Выводы

1. Изучены динамические свойства полиолефиновых термоэластопластов.
2. Показана сложность взаимодействий структурных подсистем термоэластопластов, независимо от способов их получения.
3. Найдена множественность релаксационных переходов, причем наиболее богатый спектр наблюдается у ТЭП-3.
4. Произведена обработка деформационных свойств в терминах феноменологического подхода Муни—Ривлина.

1. Авт. свид. СССР, № 718451 БИ. 8, 1977.
2. Алигулиев Р. М.; Алиев Г. М., Хитеева Д. М., Ахундова Ф. А. «ДАН Азерб. ССР», 7, 1980.
3. Бартнев Г. М., Кучерский А. М. ВМС, А 12, 794, 1970.
4. Бартнев Г. М., Лялина Н. М. ВМС, Б 18, 350, 1976.
5. Мансон Д., Сперлинг Л. Полимерные смеси и композиты. «Химия», М., 119, 1979.
6. Сеидов Н. М., Алигулиев Р. М., Аббасов А. И. ВМС, А 11, 2107, 1969.

АМИ им. Н. Нариманова

Поступило 12. XI 1980

Р. М. Алигулиев, Г. М. Алиев, Д. М. Хитеева,  
Ф. А. Ахундова, Э. А. Маммадов

### БИРЧИНСЛИ МЕХАНИКИ САЊЭДЭ ПОЛИОЛЕФИН ТЕРМОЭЛАСТОПЛАСТЫН ГУРУЛУШ ХУСУСИЈЭТЛЭРИНИН ХАССЭЛЭРИНЭ ТЭСИРИ

Мэгалэдэ мұхтәлиф кимјәви гурулуша малик олан полиолефин термоэластопластын динамик хусусијәтләри өјрәшилмишдир. Тәдиг олуан термоэластопластларын (ТЭП) һамысында хејли мигдарда релаксација процесләри кечидләри мұшаһидә олунашдур. Мүәјјән едилмишдир ки, мұхтәлиф кечидләр ичәрисиндә  $\alpha$  вә  $\alpha'$  процесләри сүр'әтли ( $> 1$  с.  $\lambda_1$ ,  $\lambda_2$ ,  $\lambda_3$ ,  $\varphi$  вә  $\delta$  процесләри исә зәиф ( $< 1$  с) кедир.

Бүтүн процесләр үчүн енержи активләшмәси һесаблинмыш вә мұхтәлиф гурулушлу термоэластопластларын сегментал јүрүклүјү мүәјјән едилмишдир. Муни-Ривлин тәлијиндән истифадә едәрәк эластиклик сабитинин гијмәти тәјин едилмишдир. Јүксәк деформасияларда Муни-Ривлин тәлијиндән кәнара чыхма мұшаһидә едилмишдир.

R. M. Aliguliyev, G. M. Aliyev, D. M. Khiteyeva, F. A. Ahundova,  
A. A. Mamedov

### INFLUENCE OF STRUCTURAL PECULIARITIES OF POLYOLEFIN THERMO-ELASTIC PLASTICS ON THEIR BEHAVIOUR IN HOMOGENEOUS MECHANICAL FIELD

The purpose of this study was to investigate the dynamic properties of Polyolefin Thermo-Elastic plastics (TEP) with different chemical structures under homogeneous mechanical fields. Various relaxation transitions were observed with the different types of (TEP) materials. Fast transitions ( $> 1$  sec) related  $\alpha$  and  $\alpha'$  processes, and slow transitions ( $< 1$  sec) related  $\lambda_1$ ,  $\lambda_2$ ,  $\lambda_3$  and  $\delta$  processes.

The energy of activation for the different TEP was calculated, and the role of segmental movements of these structural units was shown.

The constants of elasticity were found using Muni—Rivlin's equation. Deviations dependent on Rivlin's equations were due to the large deformations of the polymer materials studied, because of the complexity of interactions of the structural subsystems.

Ф. М. НАСИРОВ, Ф. Р. ХАЛАФОВ, З. М. АЛИЕВА, Н. Е. МЕЛЬНИКОВА,  
акад. Т. Н. ШАХТАХТИНСКИЙ

### КОНКУРИРУЮЩАЯ РЕАКЦИЯ ПРИ ИНИЦИИРОВАНИИ ПОЛИМЕРИЗАЦИИ ВИНИЛМЕЗИТИЛЕНА КИСЛОТАМИ ЛЬЮИСА

Вопрос об участии промежуточных комплексов в реакциях иницирования катионной полимеризации виниловых мономеров с использованием кислот Льюиса является предметом многих исследований и дискуссий.

Однако до сегодняшнего дня он остается открытым, а литературные данные, указывающие на существование этих комплексов, носят предположительный характер и требуют прямого доказательства.

Исследуя механизм иницирования катионной полимеризации на модельных винилароматических соединениях, Сигволт и др. [1] показали, что при высоких значениях отношения мономера к катализатору реакция иницирования не происходит, в то время, как при меньших значениях этого отношения реакция имеет место.

В другой работе [2] полагалось, что между мономером и катализатором образуются комплексы и реакция комплексообразования является конкурирующей со стадией иницирования, но возможность образования достаточно стабильных комплексов, препятствующих реакциям иницирования и роста полимерной цепи, авторы ставили под сомнение.

В ранней нашей работе [3] исследованы электронные спектры реакционной смеси, состоящей из 1,1-дифенилэтилена, метилхлорида, этилалюминийдихлорида, и показано, что до соотношения концентраций 1,1-дифенилэтилена и этилалюминийдихлорида, равного единице и больше ( $[M] \gg [C]$ ), реакция иницирования не имела места, а протекало комплексообразование, причем образовывались комплексы переменного состава с областью поглощения 330—360 нм, в зависимости от соотношения компонентов реакционной смеси.

При дальнейшем уменьшении соотношения 1,1-дифенилэтилена и этилалюминийдихлорида ( $[M] \ll [C]$ ) после достижения максимума 360 нм протекала реакция иницирования и образовывались конечные димерные продукты.

Надо отметить, что во всех цитированных работах были использованы модельные винилароматические соединения, для которых запрещены реакции роста цепи.

В работе [4], изучая полимеризацию изобутилена на ванадийтетрахлориде с применением метода УФ-спектроскопии, авторы пришли к заключению об образовании комплексов с переносом заряда между изобутиленом и ванадий тетрахлоридом.

В настоящей работе приводятся исследования УФ-спектров полимеризационной системы, состоящей из винилмезитилена, этилалюминийхлорида и метилхлорида.

### ЭКСПЕРИМЕНТАЛЬНАЯ ЧАСТЬ

Винилмезитилен, очищенный по обычной методике, подвергался вакуумной дистилляции над гидридом кальция и собирался над расплавленной окисью бария в сосуд на вакуумной установке [5]. Хлористый метилен, очищенный и осушенный по известной методике, перегонялся

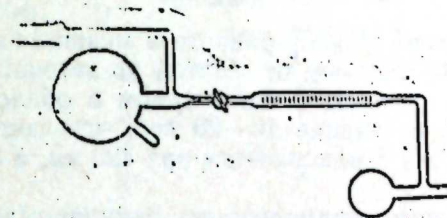


Рис. 1. Установка дозирования реагентов

в сосуд на вакуумной установке и сохранялся над окисью бария. Этилалюминийдихлорид был синтезирован по методике [6]. Дозирование реагентов осуществлялось на установке, приведенной на рис. 1. Электронные спектры снимались на приборе Specord UVVIS Carl Zeiss, DDR в вакуумных кварцевых кюветках.

### РЕЗУЛЬТАТЫ И ОБСУЖДЕНИЯ

На рис. 2 приведены электронные спектры реакционной смеси, состоящей из винилмезитилена, этилалюминийдихлорида и метилхлорида, использованного в качестве растворителя. Абсорбционные полосы

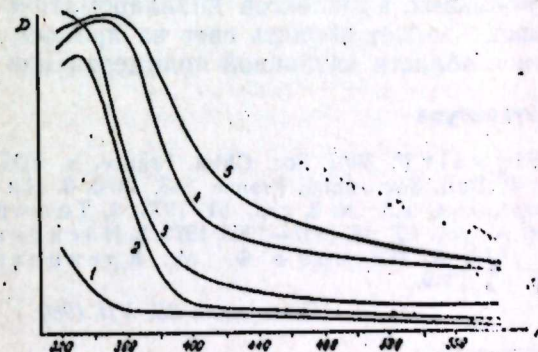


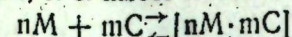
Рис. 2. Электронные спектры реакционной смеси, состоящей из винилмезитилена, этилалюминийдихлорида и метилхлорида

1,2,3,4,5 соответствуют различным соотношениям исходных концентраций винилмезитилена  $[M]$  и этилалюминийдихлорида  $[C]$ , причем значение  $[M]/[C]$  уменьшается до единицы в порядке возрастания порядковых номеров.

Как видно из приведенного рис. 2, изменение соотношения  $[M]/[C]$  от бесконечности до единицы приводит к появлению, а затем к смещению абсорбционной полосы с максимумом поглощения в области 330—356 нм. Также установлено, что при соотношениях  $[M]/[C] > 1$  в системе не протекают реакции иницирования и роста цепи.

На основании этих наблюдений высказано предположение, что в полимеризационной системе, состоящей из 2,4,6-триметилстирола (ви-

нилмезитилена), этилалюминийдихлорида и метиленхлорида, существует равновесие между свободными винилмезитиленом, этилалюминийдихлоридом и их комплексом, т. е. имеет место:



Причем, это равновесие имеет место только при значениях  $[M]/[C] \geq 1$ , а при значениях его  $\leq 1$  наблюдаются реакции иницирования и роста цепи.

Наблюдаемое смещение максимума полосы поглощения (330—356 нм), при изменении соотношения  $[M]/[C]$  в пределах значения  $\geq 1$ , вероятнее всего, связано с образованием комплексов с переносом заряда переменного состава.

Только при достижении соотношения  $[M]/[C]$ , равного и меньше единицы, наблюдается изменение окраски системы от желтой до зеленой с появлением широкой абсорбционной полосы с максимумом в области 610—620 нм, которая очень быстро, в течение 10—20 сек, исчезает и появляется новая абсорбционная полоса с максимумом при 426 нм, а система окрашивается в красный цвет.

Ранее при исследовании катионной полимеризации винилароматических мономеров было показано [5], что абсорбционная полоса с максимумом при 410—426 нм ответственна за образование комплексов с переносом заряда между поливинилароматическими соединениями и кислотами Льюиса.

Таким образом, на примере исследования реакции иницирования катионной полимеризации винилмезитилена с использованием этилалюминийдихлорида в качестве катализатора в среде метиленхлорида установлено, что при постоянном изменении соотношения  $[M]/[C]$  величин  $\geq 1$  образуется комплекс с переносом заряда ( $\lambda_{\max} = 356$  нм) между винилароматическим мономером и кислотой Льюиса и что эта реакция конкурирует с реакцией иницирования цепи.

Образование достаточно стабильных комплексов винилароматических мономеров с кислотами Льюиса может пролить свет на проблему малой каталитической активности в области катионной полимеризации.

#### Литература

1. Souvet G., Valron J. P., Sigwalt P. Bull. Soc. Chim. France, p. 4031, 1970.
2. Charadame H., Sigwalt P. Bull. Soc. chim. France, 843, 1970.
3. Насиров Ф. М., Халафов Ф. Р. "Азерб. хим. ж.", № 3, стр. 54, 1973.
4. Tompa L., Marek M., Joki J. Polym. Sci., Part A., vol. 12, pp. 1897—1903, 1974.
5. Насиров Ф. М. "Азерб. хим. ж.", № 2, стр. 81, 1972.
6. Насиров Ф. М., Кренцель Б. А. и др. "Азерб. хим. ж." № 3, стр. 65, 1969.

ИТПХТ

Поступило 25. VII 1980

Ф. М. Насиров, Ф. Р. Халафов, Н. Ж. Меликова, З. М. Элијева,  
Т. Н. Шахтактински

#### ЛУИС ТУРШУЛАРЫ ИШТИРАҚЫНДА ВИНИЛМЕЗИТИЛЕНИН ПОЛИМЕРЛЭШМƏСИ ПРОСЕСИНДƏ ПАРАЛЕЛ РЕАКСИЈАЛАР

Метилен хлорид мүнтиндә этилалюминийдихлорид катализаторунун иштиракы илә винилмезитиленин катион полимерлэшмәсиндә актив мәркәзини әмәлә кәлмәси реаксиясынын гәдгиги мисалында мүәјјән олунмушдур ки, катализаторун вә мономерин гатылыг ишбәтнини  $> 1$ -ә гәдәр тәдричи дәјишмәси нәтижәсиндә винилароматик мономер илә Луис туршусу арасында јүкүн кечүрүлмәси илә комплекс әмәлә кәлир.

Еңтинал олунур ки, бу реаксия энцирини әмәләкәлмә реаксиясы илә паралел кедир.

F. M. Nasirov, F. R. Khalafov, Z. M. Alieva, N. E. Melnikova,  
T. N. Shakhtakhtinsky

#### COMPETING REACTION ON INITIATION OF VINYLMESEITYLENE POLYMERIZATION BY LEWIS ACIDS

By the example of investigation of initiation reaction of vinylmeseitylene cationic polymerization with using of ethylaluminumdichloride as a catalyst in methylene chloride medium it has been established that on gradual change of ratio of monomer concentration and a catalyst to the value of  $> 1$  the complex with charge transfer ( $\lambda_{\max} = 356$  nm) is formed between vinylaromatic monomer and Lewis acid. It has been suggested that this reaction competes with reaction of chain initiation.

С. В. ПОПОВ, Б. Р. СЕРЕБРЯКОВ

## О ВЕДЕНИИ ИНФОРМАЦИОННОЙ БАЗЫ ЗАДАЧ МОДЕЛИРОВАНИЯ ТЕХНОЛОГИЧЕСКИХ ПРОЦЕССОВ НА ЭВМ

(Представлено академиком АН Азербайджанской ССР М. А. Далиным)

Эффективность решения задач моделирования и оптимизации технологических процессов во многом зависит от трудоемкости и качества изготовления программно-математического обеспечения ведения массивов (файлов), то есть от ведения информационной базы (ИБ).

Описанные в [1—5] системы интегрированной переработки данных различаются структурой ИБ. Эти системы разрабатывались в основном для решения экономических задач, поэтому их использование в инженерных расчетах нецелесообразно из-за дополнительных затрат, связанных с освоением и внедрением этих систем.

В работе предлагается пакет программ по ведению ИБ задач моделирования (ППВИБ), доступный пользователям-непрограммистам (химикам, технологам и т. д.).

### 1. Теоретико-множественное описание ИБ

В основу разработки ППВИБ положена следующая теоретико-множественная модель ИБ.

Пусть  $B$  — конечное множество элементов информации (под элементом информации (ЭИ) будем понимать любую последовательность алфавитно-цифровых символов),  $P$  — конечное множество информационных признаков. Легко построить инъективное отображение  $\alpha: B \rightarrow P$ , которое можно назвать функцией индексирования ЭИ. Под записью  $Z^k$  будем понимать упорядоченную совокупность ЭИ:

$$Z^k = (b_1^k, b_2^k, \dots, b_m^k), b_j^k \in B, j = \overline{1, m},$$

где  $m$  — число ЭИ в записи,  $k$  — номер записи. Две записи  $Z^l$  и  $Z^r$  являются записями одного типа, если:

а)  $\forall l \neq r |Z^l| = |Z^r|,$

б)  $\forall l \neq r \forall j |b_j^l| = |b_j^r|,$

где символами  $| |$  обозначена длина ЭИ.

Пусть  $N$  — число записей одного типа, тогда справедливо

$$B \subseteq Z, Z = \bigcup_{k=1}^N Z^k.$$

Множество  $Z$  есть информационный файл.

Введем понятия описаний ЭИ, записи и файла. Описанием ЭИ  $b_j^k \in B$  назовем совокупность  $s_j = s_j^1 \cup s_j^2 \cup s_j^3 \cup s_j^4$ , где  $s_j^1 = (P_j, t_j, f_j, h_j)$  — характеристики основных ЭИ,  $s_j^2 = (P_j, t_j, a_j, d_j)$  — характери-

сти дополнительных ЭИ:  $i > m$ ;  $P_j, P_j \in P$ ;  $t_j$  — формат ЭИ;  $f_j$  — интервал изменения количества символов в ЭИ  $b_j^k$ ;  $h_j$  — интервал значений, которые может принимать  $b_j^k$ ;  $a_j$  — адрес  $\Delta b_j^k$  в записи  $Z^k$ ;  $\Delta b_j^k \subseteq b_j^k$ ;  $d_j = |\Delta b_j^k|$ .

Описание записи есть матрица  $S_z = (S_1, S_2, \dots, S_m)^T$ , где  $m$  — символ транспонирования.

Под описанием файла будем понимать совокупность  $S = S_0 \cup S_z$ , где  $S_0 = (I, D_z, D_b, R_1, R_2)$  — характеристики файл в целом:  $I$  — идентификатор файла,  $D_z = |Z^k|$  — длина записи,  $D_b = nD_z$  — длина блока ( $n$  — целое положительное число),  $R_1$  и  $R_2$  — разделители ЭИ и записей. Множества  $Z, P, S$  и функция  $\alpha$  определяют некоторую ИБ.

### 2. Принцип построения и состав ППВИБ

При определении форм представления данных, принципов построения пакета, его структуры и алгоритмического состава учитывались требования, предъявляемые к пакетам прикладных программ [6]. Программы пакета имеют возможность работы со всеми форматами данных, используемыми в ДЭС/ЕС.

В состав пакета, имеющего модульную структуру [7], входят:

- программа ведения описаний файлов на магнитном диске (ПВОФ);
- программа создания файлов на магнитной ленте (ПСФ);
- программа корректировки файлов (ПКФ);
- программа распечатки файлов (ПРФ);
- программа подготовки магнитной ленты для обработки файлов (ППМЛ).

ПВОФ предназначена для создания, корректировки (пополнения) описаний файлов, выдачи справок об описаниях, распечатки нужных описаний файлов. Описания файлов хранятся в специальном файле описаний файлов (ФОФ) на магнитном диске.

ПСФ настраивается на создание конкретного файла, используя его описание, хранящееся в ФОФ. Настройка производится путем корректировки внутренних таблиц описаний файлов (таблиц DTF). Программа может создать как однофайловый, так и многофайловый том. Для поиска файла по его идентификатору или конца тома и открытия файла (как входного, так и выходного) используется программа ППМЛ.

ПКФ позволяет корректировать ЭИ в записи и целые записи. ПРФ дает возможность распечатать файл в виде, удобном для визуального контроля содержимого любых ЭИ. Работа с ППВИБ проводится в режиме диалога на пишущей машинке.

Лингвистическое обеспечение ППВИБ представлено следующими языками: языком описания файлов, используемым для описания работы с ФОФ; языком создания файлов, на котором записывается задание на создание файла; языком корректировки файлов, дающим возможность описать корректировку файла; языком распечатки файлов, описывающим запрос на распечатку файла. Пакетом контролируется правильность записи синтаксических конструкций языков.

Для работы ППВИБ требуется минимальный комплект оборудования ЭВМ ЕС-1022.

Эксплуатация ППВИБ показала его высокую эффективность при ведении процессов на ЭВМ.

1. Артюкевич А. А. и др. Создание и использование банков данных АСУП. «Статистика», М., 1977. 2. Мартин Дж. Организация баз данных в вычислительных системах, 616. «Мир», 1978. 3. Брусенков И. В. и др. В сб. «Алгоритмы и организация решения экономических задач», вып. 6. «Статистика», М., 1975. 4. Рудкина Л. В. и др. В сб. «Алгоритмы и организация решения экономических задач», вып. 8. «Статистика», М., 1976. 5. Келехсаев А. А., Беляев А. П. Система интеграции и обработки данных СИОД-1, СИОД-2. «Статистика», М., 1977. 6. Запороцкий Д. Е., Карпенко С. Н. и др. Принципы построения и архитектуры пакета прикладных программ. УСиМ, № 1, 3—14, 1978. 7. Липаев В. В., Филипович В. В. Принципы и правила модульного построения сложных комплексов программы АСУ, УСиМ, № 1, 15—22, 1975.

ВНИИолефин

Поступило 23. VI 1980

С. В. Попов, Б. Р. Серебряков

### ЕНМ-дә ТЕХНОЛОЖИ ПРОСЕСЛЭРИНИ МОДЕЛЛЭШДИРИЛМӘСИ МӘСЭЛЭЛЭРИНИН МӘ'ЛУМАТ БАЗАСЫНЫН ТӘТБИГИНӘ ДАИР

Мәгаләдә мә'лумат базасынын чохчәһәтли нәзәри модели верилмишидр. Бунун асасында технологи просеслэрини моделләшмәси мәсәләсини һәлл етмәк үчүн мә'лумат програмы пакети ярадылмышдыр. Пакетин садәлији, ондан истифадә едиләр үчүн (кимчачылар, технологлар вә б) чох сәрфәлидр.

S. V. Popov, B. R. Serebryakov

### ON THE INTRODUCTION OF INFORMATIONAL BASE OF TECHNOLOGICAL PROCESSES SIMULATION PROBLEMS ON ECM

The paper presents a set-theoretic model of informational base on the strength of which a stack of programs has been developed to handle the informational base for simulating technological processes. The simplicity of the stack makes it accessible for any non-programmer user (chemist, process engineer, etc.).

УДК 631.41:631.811+631.452

АГРОХИМИЈА

Чл.-корр. А. Н. ГЮЛЬАХМЕДОВ, Н. А. АГАЕВ

### РАСПРОСТРАНЕНИЕ МИКРОЭЛЕМЕНТОВ В ЛУГОВО-ЛЕСНЫХ ПОЧВАХ И РАСТЕНИЯХ БОЛЬШОГО КАВКАЗА (В ПРЕДЕЛАХ АЗЕРБ. ССР)

Для всестороннего подъема сельскохозяйственного производства важная роль принадлежит химизации, неотъемлемой частью которой является изучение содержания микроэлементов в различных почвах и растениях и, исходя из этих исследований, применение микроэлементов в виде микроудобрений. Поэтому в задачу исследований, входило изучение содержания микроэлементов в лугово-лесных почвах и растениях Большого Кавказа Азерб. ССР. Полевые и лабораторные исследования проводились в течение пяти лет (1968—1972 гг.). Были исследованы многочисленные образцы из лугово-лесных выщелоченных почв и растений из разных районов Большого Кавказа (территория Азерб. ССР). Закладка почвенных разрезов на типичных ландшафтах и сбор почвенных и растительных образцов были проведены по следующим профилям (закладка профилей производилась на всей территории на участках наиболее типичных для исследуемого ландшафта, на каждом профиле длиной в 1 км закладывался 1 разрез до обнажения почвообразующих пород и вокруг профиля были собраны по 20 смешанных почвенных образцов из пахотного слоя с глубины 0—20 см).

Профиль 8. Закатальский район, левобережье Талачай—100—150 м от шоссеной дороги. Типы ландшафта—низинно-лесные. Виды—низинная слабонаклонная поверхность с лугово-лесными выщелоченными почвами.

Профиль 12. Закатальский район, с. Алибайрамлы, пашни. Типы ландшафта низинно-лесные. Виды — пойменные террасы с дубовыми лесами, с лугово-лесными выщелоченными почвами.

Профиль 13. Закатальский район. Государств. сад. сорт — испытательный пункт. Типы ландшафта низинно-лесные. Виды — пойменные террасы с дубовыми лесами, с лугово-лесными выщелоченными почвами.

Профиль 16. Кахский район, с. Гум, пашни. Типы ландшафта—редколесные кустарниковые. Виды — низинный кустарниковый ландшафт с господством держи-дерева и с фрагментами малокарбонатными среднегумусными почвами.

Профиль 27. Варташенский район, с. Хачмас. Типы ландшафта—низинно-лесные. Виды — низинные равнины с лугово-лесной (вторичной послелесной) кустарниковой растительностью с лугово-лесными измененными орошением почвами.

Профиль 164. Кахский район, с. Мугал. Типы ландшафта—низинно-лесные. Виды — пойменные террасы с дубовыми лесами, с лугово-лесными выщелоченными почвами.



Среднее содержание подвижных форм микроэлементов в лугово-лесных почвах и растениях Большого Кавказа (в пределах Азерб. ССР)

№ про-Филь	Кодов. ообр. почв.	Почва						Растения						КБП					
		Mn	Cu	Zn	Co	Mo	B	Mn	Cu	Zn	Co	K <sub>2</sub> O	B	Mn	Cu	Zn	Co	K <sub>2</sub> O	B
8	4	8,1	3,4	2,3	0,50	0,01	0,7	4,5	5,9	4,7	0,40	0,01	2,4	0,56	1,74	2,04	0,80	0,01	3,43
12	8	4,1	3,0	0,01	0,64	2,2	1,2	7,9	6,3	7,4	0,43	0,01	2,1	1,93	2,1	0,01	0,67	0,01	1,75
13	6	18,53	3,18	3,4	0,76	0,01	1,1	19,7	3,4	5,3	0,67	0,01	2,0	1,06	1,07	1,56	0,88	0,01	1,82
16	10	3,6	2,2	1,9	0,69	0,2	0,8												
27	7	6,9	1,0	0,3	0,16	1,7	0,01												
164	6	16,7	1,9	3,2	0,69	0,01	0,4												
72	9	7,6	2,9	1,1	0,33	0,8	0,8	8,6	5,5	1,0	0,50	0,5	1,5	1,13	1,90	0,91	1,51	0,62	1,87
73	7	4,2	2,9	1,7	0,48	0,5	1,4	7,0	3,0	0,01	0,70	0,01	0,6	1,67	1,03	0,01	1,46	0,01	0,43
81	10	18,6	4,7	1,8	0,70	0,01	1,5	11,7	5,4	1,6	0,57	0,01	1,5	0,63	1,15	0,89	0,81	0,01	1,0
152	6	8,5	2,8	3,4	0,09	1,0	0,01	1,1	4,4	1,6	0,46	0,2	0,9	0,13	1,57	0,39	0,01	0,2	—
156	5	4,7	1,8	6,3	0,35	0,01	2,7	5,0	4,6	3,1	0,68	0,01	1,1	1,06	2,56	1,72	1,94	0,01	0,41
157	4	8,2	2,5	1,3	0,50	0,01	3,5	7,4	4,0	3,0	0,58	0,01	1,8	0,90	1,60	2,30	1,16	0,01	0,51
161	10	12,5	6,1	3,4	0,33	0,01	1,3	6,9	4,4	1,5	0,65	0,01	1,3	0,55	0,72	0,44	1,97	0,0	1,0
Среднее	92	9,40	2,95	2,19	0,48	0,50	1,19	7,98	4,69	2,92	0,56	0,35	1,52	1,42	1,57	1,22	1,20	0,0	1,32
Откл. от		5,80	1,95	1,89	0,39	0,49	1,18	6,88	1,69	2,91	0,16	0,07	0,92	1,29	0,85	0,83	0,57	0,0	0,9
средн. = ±		9,20	3,15	1,91	0,28	1,7	0,31	11,72	1,61	4,48	0,14	0,42	0,88	4,58	0,99	1,08	0,75	0,6	2,11

Профиль 72. Белоканский район, с. Ити-тапа. Типы ландшафта — низинно-лесные. Виды — пойменные террасы с дубовыми лесами, с лугово-лесными выщелоченными почвами.

Профиль 73. Белоканский район, с. Пушчала, около Исти-су (теплая вода). Типы ландшафта — низинно-лесные. Виды — пойменные террасы с дубовыми лесами с лугово-лесными выщелоченными почвами.

Профиль 81. Закатальский район, левобережье Джаннарачай. Типы ландшафта — низинно-лесные. Виды — пойменные террасы с дубовыми лесами с лугово-лесными выщелоченными почвами.

Профиль 152. Белоканский район, с. Пуштала. Типы ландшафта — низинно-лесные. Виды — пойменные террасы с дубовыми лесами, с лугово-лесными выщелоченными почвами.

Профиль 165. Закатальский район, с. Мышлеш. Типы ландшафта — низинно-лесные. Виды — пойменные террасы с дубовыми лесами, с лугово-лесными выщелоченными почвами.

Профиль 157. Закатальский район от с. Талакенд в сторону с. Мышлеш (700—800 м). Типы ландшафта — низинно-лесные. Виды — пойменные террасы с дубовыми лесами, с лугово-лесными выщелоченными почвами.

Профиль 161. Закатальский район, левобережье Джанларачай, с. Сабунчи. Типы ландшафта — редко-лесные кустарниковые и сухостепные лугово-редкокустарниковые. Виды — низинный кустарниковый с господством держи-дерева с лугово-лесными малокарбонатными среднегумусными почвами.

Все аналитические данные приведены в таблице, из которой видно, что среднее содержание подвижных форм марганца в пахотном слое лугово-лесных почв исследуемых объектов, составляет 9,40 мг/кг и колеблется в пределах 5,8—9,2 мг/кг почвы. А в растениях, приуроченных к лугово-лесным почвам, колеблется в пределах 1,1—19,7 мг/кг и КБП равен 1,42, что свидетельствует о хорошем усвоении марганца растениями из почвы.

Следует отметить, что в почвах профиля 16 найдено наименьшее содержание марганца — 3,6 мг/кг, а в профиле 81 — наивысшее — 18,6 мг/кг. В связи с этим отклонение от среднего для марганца составляет ±5,80—9,20. Лугово-лесные почвы слабо обеспечены подвижными формами марганца.

Среднее содержание меди в лугово-лесных выщелоченных почвах составляет 2,95 мг/кг при отклонении от среднего ±1,95—3,15. Здесь, в профиле № 161, содержание меди отличается от всех остальных профилей (6,1 мг/кг). Коэффициент биологического поглощения (КБП) для меди больше единицы — 1,57. Эти почвы средне обеспечены медью.

Содержание цинка в почвах колеблется в пределах 0,3—4,1 мг/кг (в среднем 2,19 мг/кг), в растениях — 1,0—7,4 мг/кг в среднем 3,24 мг/кг и КБП — 1,22. Лугово-лесные почвы слабо обеспечены подвижными формами цинка. Среднее содержание кобальта (в среднем по ландшафту 0,48 мг/кг) указывает на слабую обеспеченность лугово-лесных почв подвижными формами этого микроэлемента. Содержание кобальта в растениях, приуроченных к лугово-лесным почвам, колеблется в пределах 0,40—0,70 мг/кг и КБП равен 1,22, т. е. усвоение кобальта из почвы растениями хорошее. Отклонение от среднего по растениям по содержанию кобальта составляет V=0,55—0,75.

Содержание молибдена в лугово-лесных почвах колеблется в пределах от следов до 2,2 мг/кг (в среднем 1,07 мг/кг). Надо указать, что

почти в 50% почвенных профилей отмечаются следы молибдена. Это показывает на слабую обеспеченность лугово-лесных почв этим элементом. Видимо, в связи с этим и КБП для молибдена также низкий—0,41. Среднее содержание молибдена в растениях очень низкое, всего 0,35 мг/кг.

Среднее содержание бора в почвах составляет 1,40 мг/кг, при отклонении от среднего  $\pm 1,36-2,10$  и колеблется в пределах от следов до 3,5 мг/кг (профиль 157). Количество бора в растениях на этих же почвах равно в среднем 1,52 мг/кг и КБП—1,32.

Таким образом, основываясь на результаты полевых и лабораторных исследований, можно сказать, что лугово-лесные почвы различных точек Большого Кавказа (территория Азерб. ССР) слабо обеспечены подвижными формами марганца, бора, молибдена, цинка, кобальта и средне—медью.

По потребности в микроэлементах эти почвы подчиняются следующей закономерности:  $Mo > Mn > Co > B > Zn \rightarrow Cu$

Институт почвоведения  
и агрохимии

Поступило 2. VI 1980

А. Н. Күләхмәдов, Н. А. Агајев

#### БӨЈҮК ГАФГАЗЫН (АЗӘРБАЈҘАН ӘРАЗИСИ) ЧӘМӘН-МЕШӘ ТОРПАГЛАРЫНДА ВӘ БИТКИЛӘРИНДӘ МИКРОЭЛЕМЕНТЛӘРИН МИГДАРЫ

Бөјүк Гафгазын (Азербайжан әразиси) чәмән-мешә торпагларында вә биткиләриндә микроэлементләрин мигдарыны өрәймәк мәгсәдилә беш ил мүддәтиндә чөл вә лабораторија тәдқиғатлары апарылмышдыр.

Тәдқиғатларын нәтичәләринә әсасланараг гејд етмәк олар ки, чәмән-мешә торпаглары вә биткиләри микроэлементләрин мүтәһәррик формасы илә чох пис тәмин олунмушдыр. Бу торпагларын микроэлементләрә олан тәләбатынын һәчми белә ганунлаулуғундугла ифадә олунур:  $Mo > Mn > Co > B > Zn > Cu$ .

A. N. Gulakhmedov, N. A. Agayev

#### POPULARIZING OF MICROELEMENTS IN PLOUGH-FOREST SOILS AND PLANTS OF THE BIG CAUCASUS (WITHIN AZERBAIJAN SSR)

Basing on 5-year investigations we may say that the plough-forest soils and plants are weakly provided with the active forms of boron, manganese, zinc, molybdenum, cobalt and a little with copper.

УДК 581.8

АНАТОМИЯ РАСТЕНИЙ

З. А. НОВРУЗОВА, А. М. АСКЕРОВ

#### СРАВНИТЕЛЬНО-АНАТОМИЧЕСКИЙ АНАЛИЗ ВИДОВ DRYOPTERIS ADANS. S. STR. КАВКАЗА

(Представлено академиком АН Азербайджанской ССР М. Г. Абуталибовым)

Щитовник является одним из полиморфных родов папоротников Кавказа, который в настоящее время включает следующие виды (за исключением гибридных):

1. *Dryopteris assimilis* S. Walker
2. *D. carthusiana* (Vill.) H. P. Fuchs
3. *D. dilatata* (Hoffm.) A. Gray
4. *D. alexeenkoana* Fomin
5. *D. liliata* Golytz.
6. *D. oreades* Fomin
7. *D. caucasica* (A. Br.) F. J. et Corly
8. *D. filix-mas* (L.) Schott
9. *D. pseudo-mas* (Wollast.) Holub et Pouz.
10. *D. villaril* (Bell.) Woynar
11. *D. raddeana* Fomin
12. *D. aeniula* (Ait.) O. Kuntze

Из указанных видов, кроме *D. carthusiana*, *D. filix-mas*, *D. pseudo-mas*, все остальные являются более или менее критическими, изучению которых был посвящен ряд работ [1, 2, 3 и др.]. Однако в настоящее время их самостоятельность окончательно не выяснена.

Цель настоящей статьи состоит в уточнении критических видов щитовников Кавказа на основании сравнительно-анатомического анализа. Полученные результаты по выявлению основных структурных признаков отдельных видов приводятся в таблице.

*D. dilatata*, *D. alexeenkoana* различаются типами мезофилла, проводящей системы, стелы черешка, количеством пучков, включенных в основную ткань черешка и корневища.

*D. dilatata*, *D. assimilis* существенно различаются по типам мезофилла и проводящей системы, формой черешка, типом стелы черешка, количеством пучков, включенных в основную ткань черешка и корневища.

*D. liliana*, *U. dilatata* различаются типами мезофилла и проводящей системы перышек, формой черешка. Однако тип стелы черешка и количество пучков, включенных в основную ткань черешка, и тип стелы корневища у этих видов совпадают. Судя по строению перышек *D. liliana* отличается наиболее мезоморфным строением (гомогенный тип мезофилла, тип проводящей системы перышек—протостела).

*D. assimilis* и *D. liliana* показывают различие в признаках типа мезофилла, проводящей системы перышек, в типе стелы черешка и

Основные анатомические показатели видов щитовников Кавказа

№ п/п	Виды	Перышко			Черешок			Корневище		
		Тип мезофилла	Тип стелы	Число слоев палисадной ткани	Форма	Тип стелы	Число пучков	Тип стелы	Тип пров. пучков	Число пучков
1	<i>D. assimilis</i>	Почти дорзo-вентр. Дорзoв.	Протостела—актиностела Протостела	2—3	Треугольная	Тенд. дикт.	3	Дикт.	Актинoстела	6
2	<i>D. carthusiana</i>			2	Округлая		3	Прот. акт.		5
3	<i>D. dilatata</i>			Низк. клетки	Полукругл.		5			7
4	<i>D. alexeencoana</i>	Гомоген.	Переходн. актиностела	—			3			6
5	<i>D. oreades</i>	Дорзoв.	Протостела	Низк. клетки			5			7
6	<i>D. liliana</i>	Гомог. с тенд. дорз.		—			5			—
7	<i>D. caucasica</i>	Почти дорзo-вентр.	Переходн. актиностела	—			3			5—7
8	<i>D. filix-mas</i>		Протостела	2—3	Желобчатый тип	Дикт	5			7
9	<i>D. pseudo-mas</i>						5			7—8
10	<i>D. villarii</i>			4—5			5			7
11	<i>D. raddeana</i>			3—4			3			3—4
12	<i>D. aemula</i>	Гомоген.	Переходн. актиностела	Низк. клетки		Тенд. Дикт	3			—

в количестве пучков, включенных в основную ткань черешка и корневища.

*D. caucasica* и *D. filix-mas* различаются существенными признаками (типом мезофилла и проводящей системы перышек, типом стелы и количеством пучков в черешке, также количеством пучков, включенных в основную ткань корневища).

*D. villarii* и *D. raddeana-mas* также различаются существенными анатомическими признаками (см. таблицу).

*D. filix-mas* и *D. pseudo-mas* показали идентичность основных структурных признаков (см. таблицу).

*D. liliana*, *D. aemula* отличаются существенными анатомическими признаками перышек и черешка, как видно, *D. liliana* является самостоятельным видом. *D. aemula* показывает идентичные признаки перышек и черешка с *D. assimilis*, за исключением некоторого экологического различия в типе мезофилла (у *D. aemula* гомогенный тип, у *D. assimilis* почти дорзoвентральный).

Род *Dryopteris* по развитию проводящей системы можно разделить на две группы:

I—виды с наиболее развитой проводящей системой (характерный тип стелы—диктиостела);

II—виды с относительно менее развитой проводящей системой (с тенденцией к диктиостеле).

Первые характеризуются перышками с типами стелы—протостела, тип мезофилла—дорзoвентральный, за исключением *D. alexeencoana* и *D. aemula*, у которых тип мезофилла—гомогенный, а *D. aemula*—гомогенный с тенденцией к дорзoвентральности.

Вторая группа отличается перышками со стелой типа протостела и переходным типом от протостелы к актиностеле (*D. assimilis*, *D. alexeencoana*, *D. caucasica* и *D. aemula*); тип мезофилла гомогенный и дорзoвентральный.

По типам стелы черешка первая группа отличается большим числом пучков (диктиостела) (*D. dilatata*, *D. oreades*, *D. liliana*, *C. filix-mas*, *D. pseudo-mas* и *D. villarii*).

Вторая группа—относительно меньшим числом пучков (3-я пучками) (*D. assimilis*, *D. carthusiana*, *D. alexeencoana*, *D. caucasica*, *D. raddeana* и *D. aemula*).

Тип стелы корневища для обеих групп—диктиостела с развитым количеством пучков, включенных в основную ткань [3—8].

Наибольшим количеством пучков в корневище обладают *D. villarii*, *D. filix-mas*, *D. oreades*, *D. dilatata*, наименьшим—*D. raddeana*.

Результаты сравнительно-анатомического исследования позволяют отметить, что *Dryopteris filix-mas* и *D. pseudo-mas*, а также *D. aemula*, *D. assimilis* имеют сходные анатомические признаки, следовательно, их видовые самостоятельности не подтверждаются анатомическими данными. Остальные виды щитовников Кавказа проявляют самостоятельность в признаках строения.

Литература

1. Аскеров А. М. ДАН Азерб. ССР, т. 23, № 8, 1977.
2. Новрузова З. А., Аскеров А. М. ДАН Азерб. ССР, т. 35, № 9, 1979.

## ГАФГАЗЫН КРИТИК DRYOPTERIS ADANS НӨВЛЭРИНИН МҮГАЈИСЭЛИ-АНАТОМИК АНАЛИЗИ

Мүасир Гафгаз флорасында јајылан 12 ајыдәшәји нөвләринин мүгајисәли-анатомик тәдгиги нәтижәсиндә мүәјјән едилмишдир ки, онлардан 4 нөвү Dryopteris filix-mas, D. pseudo-mas; D. aemula, D. assimilis; охшар әләмәтләрә маликдирләр вә беләликлә онларын сәрбәст нөв статусунда сахланылмасы мүбаһисәли сајыла биләр. Ај-дынлашдырылмышдыр ки, дикәр нөвләр фәргләндиричи әләмәтләрә маликдирләр вә онларын сәрбәст нөв статусунда сахланылмасы мүгајисәли-анатомик тәдгигатла тәсдиг едилмишдир.

Z. A. Novruzova, A. M. Askerov

## COMPARATIVELY-ANATOMICAL ANALYSIS OF DRYOPTERIS SPECIES IN THE CAUCASUS

Principal anatomical features of 12 species are investigated. Dryopteris filix-mas, D. pseudo-mas, D. aemula and D. assimilis have similar structure.

Ю. С. ГЕНШАФТ, М. М. САТТАРОВ

## ВЛИЯНИЕ ДАВЛЕНИЯ НА СОСТАВ МАГНЕТИТОВ В БАЗАЛЬТАХ

(Представлено академиком АН Азербайджанской ССР Г. А. Ахмедовым)

Современная петрология располагает большим количеством экспериментальных и теоретических данных о влиянии давления на состав различных силикатных минералов. В то же время кристаллизация рудных фаз в различных физико-химических условиях, в том числе и под давлением изучена в значительно меньшей степени.

Роль глубинных условий на кристаллизацию титаномагнетитов подчеркивается главным образом в отечественных работах [1]. Длительное время существовало мнение, что состав титаномагнетитов прямо коррелирует с общим литостатическим давлением,  $\bar{P}$  или глубиной кристаллизации. Однако последние исследования, выполненные в ИФЗ АН СССР, показали более сложную зависимость состава ферромагнитной фазы от глубинных условий их кристаллизации [2, 3]. Было показано, что состав титаномагнетитов определяется главным образом температурой и летучестью кислорода и слабо зависит от общего давления. Этот результат получен на одном образце высокоглиноземистого базальта [4].

Данные, опубликованные Е. Ф. Осборном и др. [5], свидетельствуют о явном влиянии давления на состав титаномагнетитов, кристаллизующихся из пород толентово-известково-щелочной серий: содержание  $TiO_2$  в магнетите резко возрастает с увеличением давления.

В ходе экспериментальных исследований условий образования пород палеогеновой щелочно-базальтовой формации Талыша нами были получены данные по плавлению и кристаллизации двух образцов щелочно-базальтового состава (14—75, 11—78) при давлениях от 1 атм. до 18 кбар. Ниже приводятся результаты определения состава выкристаллизованных магнетитов из обр. 14—75 при давлениях до 8 кбар.

Исходный образец — эссексит, субвулканической фации Авашского интрузива, Дыманского прогиба Талышской складчатой зоны [6]. Порода сложена плагноклазом (40—43%), пироксеном (20—23%), анортитом (до 20%), оливином (8—12%), магнетитом (до 5%). Рудные минералы встречаются в ассоциации с вкрапленниками пироксена и оливины и в интерстициях совместно с плагноклазом. Таким образом, отмечается две генерации рудных минералов: образованные в стадии формирования вкрапленников и при раскристаллизации основной массы. Химический состав пород следующий:  $SiO_2=49,83$ ,  $TiO_2=1,13$ ,  $Al_2O_3=16,85$ ,  $Fe_2O_3=5,05$ ,  $FeO=4,86$ ,  $MnO=0,18$ ,  $MgO=6,47$ ,  $CaO=8,11$ ,  $Na_2O=2,75$ ,  $K_2O=2,97$ ,  $SO_3=1,22$ ,  $H_2O=1,51$ .

При атмосферном давлении кристаллизация производилась из расплава, выдержанного в течение 2 ч при  $T=1300^\circ C$  в атмосфере чистой углекислоты ( $CO_2$ ) и в смеси  $CO:CO_2=1:42$ . Этим двум режимам соответ-

ствуют летучести кислорода, задаваемые буферами NNO и HM. После выдержки при заданной температуре (3—4 ч) образцы закаливались в воде.

Эксперименты под давлением проводились на установке типа «поршень—цилиндр» (поршиновой пьезометр) методом закалки [7]. Использовался тонко-истертый порошок, предварительно высушенный при 180—200°C. Остаточное содержание летучих по данным дериватограмм составляет 1,6 вес. %.

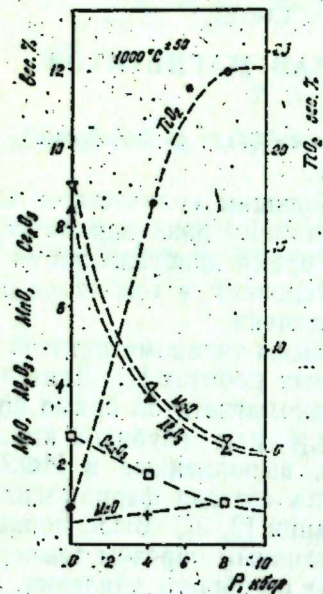


Рис. 1. Изменение состава магнетита под давлением при температуре  $1000 \pm 50^\circ\text{C}$ . По оси абсцисс слева показаны содержания, вес. %  $\text{MgO}$ ,  $\text{Al}_2\text{O}_3$ ,  $\text{MnO}$ ,  $\text{Cr}_2\text{O}_3$ . Шкала справа относится к содержаниям  $\text{TiO}_2$ . Точки на оси абсцисс—состав магнетита при  $P$  1 атм и  $\text{TiO}_2$ —NNO.

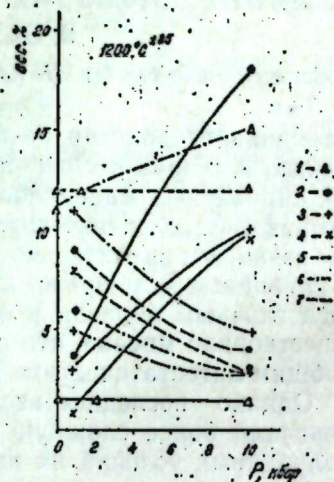


Рис. 2. Изменение состава магнетита в породах известково-щелочной (С—М 5331 и G—79) и толеитовой (G—76 и I к 4) серий под давлением по данным [5]: 1—С—М 5331; 2—G—79; 3—G—76; 4—1—к 4; 5— $\text{TiO}_2$ ; 6— $\text{Al}_2\text{O}_3$ ; 7— $\text{MgO}$ .

Образец помещался в реакционную ячейку высокого давления в платиновой ампуле, зачеканенной двойным пережимом без сваривания. Подобные ячейки, судя по литературным данным, характеризуются окислительными условиями при температурах свыше  $1000^\circ\text{C}$  близкими буферу NNO [8]. Изучение состава рудных фаз производилось при помощи рентгено-спектрального микроанализатора «Камебакс» при ускоряющем напряжении 15 кв, тока 10 ма и времени 10 сек. В качестве эталонов использовались хорошо проанализированные серии гомогенных ильменита и магнетита.

Полученные результаты позволили выявить влияние давления на состав магнетита, образованного при  $T = 1000 \pm 50^\circ\text{C}$  (рис. 1). При одной атмосфере и данной температуре кристаллизуется магнетит с очень низким содержанием  $\text{TiO}_2$  (1,9%) и высоким содержанием  $\text{Al}_2\text{O}_3$  (8,8%),  $\text{MgO}$  (9,4%),  $\text{MnO}$  (0,6%),  $\text{Cr}_2\text{O}_3$  (2,7%).

Отмечается резкое возрастание содержания  $\text{TiO}_2$ , сопровождаемое

уменьшением количества  $\text{Al}_2\text{O}_3$  и  $\text{MgO}$  уже при незначительном повышении общего давления до 4 кбар. Судя по явно нелинейному характеру изменения  $\text{Al}_2\text{O}_3$  и  $\text{MgO}$  до давлений 8 кбар, можно предположить, что в области давлений свыше 10 кбар, можно предположить, что изменения существенно слабее. Содержание двух компонентов ( $\text{MnO}$ ,  $\text{Cr}_2\text{O}_3$ ) меняется в изученном интервале давлений в значительно меньшей степени.

Аналогичный характер влияния на состав магнетитов был получен в работе [5], при  $T = 1200 \pm 50^\circ\text{C}$  (рис. 2).

Таким образом, можно отметить принципиально однотипное изменение состава магнетитов под давлением кристаллизующихся в разнообразных по составу базальтовых породах (толеитовой, известково-щелочной и щелочной серий). Отметим также различия в содержаниях летучих компонентов в изученных системах (полностью обезвоженные образцы Е. Ф. Осборна и содержание 1,6% летучих в наших экспериментах).

Полученные результаты позволяют вновь вернуться к вопросу о прямом влиянии давления на состав кристаллизующихся ферромагнитных фаз, в том числе титаномагнетитов. Авторы отчетливо представляют, что такое заключение требует дальнейшего подтверждения в более строго контролируемых и широких условиях экспериментов.

Авторы выражают искреннюю признательность А. С. Большакову, Д. Н. Печерскому, А. К. Гапееву, А. В. Лыкову и С. А. Милютину за помощь в проведении исследований и полезное обсуждение данной работы.

#### Литература

1. Печерский Д. М., Багин В. И., Бродская С. Ю., Шаронова З. В.: Магнетизм и условия образования изверженных горных пород. «Наука», М., 1975.
2. Лыков А. В., Печерский Д. М. «Изв. АН СССР, Физика Земли», № 4, стр. 65—74, 1977.
3. Печерский Д. М., Назарова Е. А., Лыков А. В.: «Изв. АН СССР, Физика Земли», № 11, стр. 85, 99, 1977.
4. Лыков А. В. Экспериментальное исследование связи магнитных свойств магматических пород основного состава с термодинамическими условиями их образования. Канд. дисс., ИФЗ, М., 1977.
5. Osborn E. E., Watson E. E., Rowson S. A. Composition of magnetite in subalkaline Volcanic Rocks. Carnegie Inst. Wash., p. 475—481, v. 78, 1979.
6. Азизбеков Ш. А., Багиров А. Э., Велиев М. М. Исмаил-Заде А. Д. и др. Геология и вулканизм Талыша. Изд. «Элм». Баку, 1979.
7. Геншафт Ю. С. Экспериментальные исследования в области глубинной минералогии и петрологии. «Наука», М., 1977.
8. Egger D. H., Mysen B., Hoering T. C. Gas species in sealed capsules in solid media, High-Pressure Apparatus. Carnegie Inst. Wash., p. 228—232, v. 73, 1974.

ИЦ «Геофизика» АН Азерб. ССР

Поступило 25. X 1980

И. С. Геншафт, М. М. Саттаров

#### БАЗАЛТЛАРДАКЫ МАГНЕТИТИН ТЭРКИБИНЭ ТЭЗЛИГИН ТЭСИРИ

Экспериментал тэдгигатлар нәтижәсиндә кристаллашан ферромагнит тәркибли фазаларын 1 атм—8 кбар һүдүддә тәзлүгдән асылылыгы мөһҗән едилмишидир. Мәгаләдә титаномагнетитин тәркибиндә  $\text{TiO}_2$  кәскин артмасы вә үгҗүн оларак  $\text{Al}_2\text{O}_3$  вә  $\text{MgO}$  фазинин азалмасы мөһҗән едилмишидир. Геҗә етмәк лазымдыр ки, бу оксидларин дәҗишмә хусусиҗәти мұхтәлиф базалт серијалариндакы титаномагнитләр үчүн еҗиндиір. һәм дә, бу дәҗишмә истәр сузузлашдырылмыш вә истәрсә дә аз мигдарда учучу компонентләри олан сұхурлар үчүн еҗин хусусиҗәт дашыҗыр.

Yu. S. Genshaft, M. M. Sattarov

#### PRESSURE EFFECT ON THE COMPOSITION OF MAGNETITES IN BASALTS

The direct pressure effect on the composition of crystallizing ferromagnetic phases and titanomagnetites in interval from 1 atm to 8 kb is shown. It is noted that the same type composition change of magnetites, crystallizing in different basaltic series (toleitic, lime-alkaline or alkaline) depends on pressure.

Акад. М. М. АЛНОВ

СТРАТИГРАФИЧЕСКОЕ ПОЛОЖЕНИЕ *INOCERAMUS TAUSIENSIS* ALIEV M.

Впервые данный вид был выделен в 1954 г. [1]. В указанной статье описаны и изображены два вида *Inoceramus azerbaijanensis* (фиг. 1—4) и *Inoceramus tausiensis* (фиг. 5), их часто путают, но *In. tausiensis* сильно отличается от *In. azerbaijanensis*. Если *In. tausiensis* имеет округлую четырехугольную форму, вытянутую в задне-брюшном направлении с одной задней радиальной бороздой, то *In. azerbaijanensis* сильно вытянут в заднем направлении, почти имеет треугольную торпедообразную форму с хорошо выраженными передней и задней радиальными бороздами.

Вопрос о стратиграфическом положении *In. tausiensis* еще недостаточно четко установлен и требует дальнейшего изучения.

*In. tausiensis* к настоящему времени обнаружен довольно широко и его часто находят вместе с *In. azerbaijanensis* в одних и тех же отложениях, т. е. в нижней зоне нижнего кампана. Однако местами его находят и в верхней части нижнего кампана.

*In. tausiensis* нами впервые был обнаружен вместе с *In. azerbaijanensis* в известняках на г. Агдаг, в Таузском районе северо-восточной части Малого Кавказа [2].

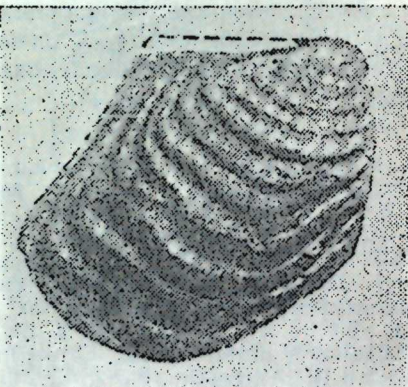
Позже, О. Б. Алиевым и Р. Н. Мамедзаде [5], в зоне распространения верхнемеловых отложений *In. tausiensis* был найден в ряде пунктов междуречья Кошкарчай и Тертерчай и междуречья Кошкарчай и Дебетчай.

Указанный ими вид найден вместе с *In. azerbaijanensis* в нижнем кампанае.

В Центральной части М. Кавказа (Самхето-Карабахская зона), по сообщению О. Б. Алиева, указанный вид был найден им около пос. Кубатлы в нижней части нижнего кампана, вместе с *In. azerbaijanensis* Aliev M., *In. convexus* Hall et Meek, *Micraster coravium* Posl. и др.

Данный вид также был встречен в Грузии. Р. А. Гамбашидзе для определения была прислана нам фотография иноцерама, на которой изображен *In. tausiensis* из нижней части нижнего кампана.

В Дагестане на присутствие этого вида с *In. azerbaijanensis* в



*Inoceramus tausiensis* Aliev M. (г. Агдаг, Таузский район, Азербайджан)

нижней части нижнего кампана указывается М. А. Пергаментом, Ю. П. Смирновым [6].

Довольно широко *In. tausiensis* представлен на Северном Кавказе. Е. Ф. Фроловой-Богреевой [7] отмечается присутствие этого вида совместно с *In. azerbaijanensis* Aliev M. и *Micraster schroederi* Stoll. в нижней части нижнего кампана в междуречье Хулхулау и Хей на Северном Кавказе. Она указывает, что начало появления кампанских отложений устанавливается на основании характерных комплексов видов.

Из Северного Донбасса С. П. Кацюбинским [3] приводится описание вида *In. azerbaijanensis* Aliev M., но в изображении на табл. 17 (фиг. 3—4) приводится изображение *In. tausiensis*, что указывает на присутствие этого вида в нижнем кампанае у сел. Тарасовка на указанной территории.

На востоке *In. tausiensis* встречается в верхнемеловых отложениях Восточного Копетдага. Здесь П. И. Калугиним [4] указывается на наличие *In. tausiensis* в нижнем кампанае, в его верхней части в слоях с *Inoceramus gandjaensis* Aliev M.

Одновременно он отмечает, что вместе с *In. tausiensis* встречаются *In. dariensis* Pavl., *In. dagestanensis* Pavl. et Dobr. в Западном Копетдаге и на Туаркыре. *In. tausiensis* встречается довольно редко в нижнекампанских отложениях, большей частью в их верхней половине.

Все это говорит о довольно широком географическом распространении *Inoceramus tausiensis* Aliev M. Возможно, что *In. tausiensis* имеет еще более широкое распространение, чем установлено, но его часто путают с *In. azerbaijanensis*.

Между тем, как было нами сказано, эти виды значительно отличаются друг от друга. По торпедообразной форме раковины, характеру ребер и расположению двух радиальных борозд видно, что *In. azerbaijanensis* был активно плавающим видом, а *In. tausiensis*, возможно, ограниченно передвигался по дну бассейна.

Из изложенного видно, что стратиграфическое положение *In. tausiensis* недостаточно четко установлено.

Если на Кавказе он в основном встречается в нижней части нижнего кампана, вместе с *In. azerbaijanensis*, то на западе Средней Азии он встречается и в нижней, и в верхней частях нижнего кампана. Но можно определенно сказать, что он является нижнекампанской формой. Несомненно, дальнейшее изучение стратиграфического положения *In. tausiensis* даст возможность более четко установить его положение в нижнекампанском разрезе мела юга СССР.

Литература

1. Алиев М. М. «ДАН Азерб. ССР», № 2, т. X, 1954.
2. Алиев М. М. Труды Геологич. ин-та АН Азерб. ССР, 1939.
3. Атлас верхнемеловой фауны Донбасса, Крыма, «Недра», М., 1974.
4. Калугин П. И., Дмитриев А. В., Кожевникова Г. Е. Стратиграфия верхнемеловых и палеогеновых отложений Копетдага и Бадхыза. Туркмениздат. Ашхабад, 1964.
5. Мамедзаде Р. Н., Алиев О. Б. Стратиграфия меловых отложений северо-восточной части Малого Кавказа. Изд. АН Азерб. ССР, 1967.
6. Пергамент М. А., Смирнов Ю. П. Труды Всесоюз. коллоквиума по иноцерамам. М., 1972.
7. Фролова-Богреева Е. Ф. Труды Всесоюз. коллоквиума по иноцерамам. М., 1972.

Институт геологии и разработки горючих ископаемых

Поступило 24. VI 1980

**INOCERAMUS TAUSIENSIS ALIEV M. СТРАТИГРАФИК ВЭЗИЛЈЭТИ**

Мәғаләдә *In. tausiensis* Aliev M. чоғрафи јаылмасы, стратиграфик мөвгәји вә она јахын олан *In. aserbaidjanensis* Aliev M. нөвүндән фәрги вериләр.  
*In. tausiensis* һәләлик ССРИ-нин чәнуб рајонларында Кампан чөкүнтүләрв үчүн характердир. Кәләчәкдә бу јаш дөгигләшмәлидир.

М. М. Aliev

**STRATIGRAPHIC POSITION OF INOCERAMUS TAUSIENSIS ALIEV M.**

This article discusses comparative differences between *Inoceramus tausiensis* Aliev M. and fossil *Inoceramus azerbaijanensis* Aliev M. which is close to it, and also its geographic distribution and stratigraphic position. *Inoceramus tausiensis* is more typical fossil for Lower Campanian of the South of the USSR, and it needs further study and specification.

УДК 627.157:[549+631.435]002.61

**МИНЕРАЛОГИЯ**

У. Ш. МЕХТНЕВ, Ю. А. МОРОЗОВ, Т. М. САРАДЖАЛИНСКАЯ

**МИНЕРАЛОГИЧЕСКИЙ СОСТАВ БЕРЕГОВЫХ НАНОСОВ  
р. АРАКС**

(Представлено академиком АН Азербайджанской ССР А. Д. Султановым.)

Исследования особенностей формирования речных наносов имеют большое практическое значение при решении вопросов строительства гидротехнических сооружений, выявления сроков заиления водохранилищ и т. д.

Гранулометрический и минералогический состав береговых наносов в основном зависит от типа размываемых пород, почв бассейна реки и удаленности их от места седиментации. Изучение закономерностей изменения вещественного состава этих отложений по длине реки способствует выявлению природы происхождения взвешенных веществ.

Береговые наносы р. Аракс были подвергнуты гранулометрическому и минералогическому анализам.

Таблица 1

Гранулометрический состав береговых наносов

№ п/п	Створ	Кар-бонат, %	Фракции, мм, %					Наименование пород
			> 0,25	0,25—0,1	Всего	0,1—0,01	> 0,01	
1.	Ильичевск	12,5	0,1	26,6	26,7	50,5	22,8	Алеврит
2.	Нахичевань	9,5	55,0	34,0	89,0	2,0	9,0	Песок
3	Джюльфа	10,7	0,2	65,6	65,8	20,5	13,7	Песок
4	Миндживан	3,5	32,7	17,4	50,1	29,5	20,4	Песок с мелким гравием
5.	Акара (Годжалы)	12,3	6,1	28,6	34,7	41,2	24,1	Супесь
6.	Горадиз	8,8	0,1	16,1	16,2	56,2	37,7	Алеврит с растит. детритом
7.	Орджоникидзе	4,7	0,1	23,4	23,5	38,8	27,6	Суглинок
8.	Бирмай	6,1	0,9	80,0	80,9	9,5	9,6	Песок
9.	Имишлы	5,4	0,2	35,0	35,2	46,8	18,0	Супесь
10.	Саатлы	7,3	0,5	60,9	61,4	28,0	10,6	Песок
11.	Сабирабад	6,3	0,2	41,7	41,9	53,5	4,6	Алеврит

Гранулометрический состав определялся методом АЗНИИ (1944). В табл. 1 приведены результаты гранулометрического анализа наносов по 11 створам от Ильичевска до Сабирабада. Они представлены песками, супесями, алевритами и суглинками. На 5 створах наносы характе-





личивается к ст. Бирмай от 6 до 50. В том же направлении происходит уменьшение содержания роговой обманки от 18 до 5% и эпидота от 15% до единичных значений. Сравнительно мало изменяется содержание мусковита, цоизита, циркона, лимонита и других минералов.

В образовании береговых наносов и взвесей Аракса на территории Азербайджана большое влияние оказывают:

—эффузивные, известково-мергельные и песчано-глинистые породы третичного возраста Араксинской котловины;

—соленосные и гипсоносные глинистые отложения миоцена Нахичеванской предгорной равнины;

—вулканогенные и вулканогенно-осадочные образования палеогена Нахичеванской котловины;

—интрузивные породы Мегри-Ордубадского плутона;

—вулканогенно-осадочные и эффузивные (андезиты, андезитобазальты) породы ЮВ и СВ склонов М. Кавказа;

—глинистые отложения майкопа, валунно-галечниковые образования плиоцена и др. Кура-Араксинской низменности.

Продукты разрушения перечисленных пород названных структур и регионов в той или иной степени встречаются в наносах р. Аракс.

Например, увеличение пироксенов (авгита) и магнетит-ильменита в тяжелой реакции береговых наносов по течению реки объясняется следующим образом. Оба минерала при разрушении материнских пород поступают в реку в верхней ее части за счет дезинтеграции палеогена Нахичеванской котловины и Мегри-Ордубадского плутона. Далее резкое возрастание этих минералов от Миндживана к Сабирабаду объясняется сносом материала за счет разрушения андезитов, андезитобазальтов и вулканогенно-осадочных пород ЮВ и СВ склонов М. Кавказа.

Количественное уменьшение эпидота и роговой обманки обусловлено теми же причинами, а именно преобладанием источников сноса пород СВ и ЮВ склонов М. Кавказа, в которых несколько уменьшается присутствие роговой обманки и особенно эпидота. Последний минерал характерен для контактово-метаморфических пород Мегри-Ордубадского плутона, где он является порообразующим минералом—эпидозитом.

Увеличение полевых шпатов в легкой фракции происходит за счет тех же причин, которые рассматривались при увеличении авгита и магнетит-ильменита (тяжелая фракция). Что же касается кварца, то его увеличение может быть связано с разрушением кварцевых порфиров, пользующихся довольно широким распространением в пределах СВ склона М. Кавказа (Черагидзор, Тоганалы и др.).

Таким образом, в результате проведенных исследований выявлены некоторые особенности изменения гранулометрического и минералогического составов береговых наносов по длине р. Аракс. Это позволило составить определенное представление о генезисе, миграции и аккумуляции проносимых и отлагаемых рекой взвешенных наносов.

Институт водных проблем

Поступило 18. IV 1986

У. Ш. Мехдиев, Я. А. Морозов, Т. М. Сарычалинскаја

#### АРАЗ ЧАЈЫНЫН САҢИЛ ЧӨКҮНТҮЛЭРИНИН МИНЕРАЛ ТЭРҚИБИ

Чај һөвзәси торпагларындан јујулан сүхурларын һөвүндән вә онларын чөкми јериндән узатлашмасындан асылы олараг Араз чајы боју, Иличевскидән Сабирабад кими (II пунктда) чөкүнтүләрини гранулометрик вә минераложни тәркибинини дәјишил

мәсинини һанунаујуғлуғлары тәјини олуимушдур. Чөкүнтүләрини гранулометрик вә минераложни гарышығларынын тәркибинини дәјишилмәси, онларын јујулма мәнбәләрини вә сүхурларын һөвүни тәјини чајдакы саһил лилләниме јерләрини мүәјјәнләшдирмәје шәраит јарадыр.

U. Sh. Mekhtiev, Yu. A. Morozov, T. M. Saradzhalsinskaya

#### THE MINERALOGICAL COMPOSITION OF THE ARAKS RIVER SHORE DRIFTS

The regularities of the changes of granulometric and mineralogical compositions of the shore drifts along the Araks river according to the type of the washed-out material, river basin soils and their disposal from the sedimentation spot are revealed.

Р. НҮСЕЙНОВ

КЛАССИК ШЕ'РИН БИР УНУДУЛМУШ ЖАНРЫ

(Азербайжан ССР ЕА академики М. Ч. Чәфәров тәгдим етмишидир)

Јахын Шәргин классик поезијасында, о чүмлөдән Азербайжан әдәбијатында чох мараглы нүмунәләрнә јаранмыш шәһрашуб унудулмуш, лазымынча өјрәннләмәиш жанрлардандыр. Шәһрашубун тәдгиги Шәрг интибаһы вә рекионун әдәбијатында реализмин тарихи инкишаф јолларыны дәриндән өјрәнмәк үчүн мүстәсна әһәмийәт кәсб едир.

Азербайжан поезијасында шәһрашублар XII әсрдән XIX әсрә гәдәр јарадылыб вә бу поетик жанра ше'римизин ән гүдрәтли елчиләри мүрачидәт едибләр.

Мүхтәлиф мөвзулу тәдгигатларында «шәһрашуб» вә чох заман әнуула паралел ишләнән «шәһрәнкиз» терминләри илә растлашмыш гәдгигатчылар онлары мүхтәлиф шәкилдә тәрчүмә етмишләр. Мәсәлән, А. Крымски «шәһрәнкизи» «возбуждајушаја город», «возбуждајушаја смјатение в городе», «Суматоха в городе» шәклиндә верир (4, 346). В. С. Гарбузова бу сөзү «возмутившиј спокојствие в городе» (3, 136), И. В. Боролина «городские смутјане» (2, 384) Е. И. Моштакова «возмутители городского спокојствия» (6, 112) А. Мирзојев вә А. Н. Болдырев «баламутјаший город» (5, 144; 1, 16) кими чевириләр.

Мә'нача јахын олсалар да, белә мүхтәлиф тәрчүмәләрин јаранмасына сәбәб тәдгигатчыларын жанрын тәбиәтинин даһа јахшы ифадә етмәк истәји олмушдур. Бунун үчүн исә әлбәттә ки, бир сөзүн мүхтәлиф вариасијаларда дәгиг тәрчүмәсиндән даһа әввәл, жанрын өзү һаггында дәрин тәдгигат апармаг зәруријәти дурур. Бу мәсәлә исә шәргшүнаслыгымызда һәлә ки, һәлл олунмамыш шәкилдә галыр.

Шәһрашуб сөзү класик әдәбијатда бир һечә мә'нада ишләдилмишидир. 1) Нүснү чәмалы шәһәрә фитнә салан кәзәлләрә бир епитет кими ишләдилиб. Һәтта мәнәббәт мәзмунлу бир сыра мүхәммәсләрә белә шәһрашуб үнваны гојулуб. Мәсәлән Азери Һәмзә ибн Әбдүлмаликин (вәфаты 866—1461/62) (5, 114) мүхәммәси, республика әлјазмалары

фондунда сахланылан бир чүнкдә  $\frac{Б-855}{3487}$

раст кәлдијимиз Шакир тәхәллүслү шаиримизин

Кәр олса долу чүмлә чаһан дилбәри-ә'лаји-ширин  
Етмәзәм һәмчу нәби гәсди-тәмәннәји-ширин

(вәр. 70 а)

мисралары илә баһлајан ше'ри буна мисал ола биләр. Һафиз Ширази шәһрашуб сөзүнү бирбаша кәзәлнин епитетләриндән бири кими ишләдир (5, 143)

2) Шәһрашуб сөзүнүн икинчи мә'насы шәһәрә вәлвәлә, деди-году салан адам демәкдир. Мараглыдыр ки, сөзүн бу мә'насындан мәнәрәт-

лә истифадә едән рус јазычысы Леонид Соловјов Молла Нәсрәддин һаггындакы повестиндә өз гәһрәманыны «шәһрашуб» адландырыр.

3) Шәһрашуб һәмчинин Иран вә Азербайжан мусигисиндә «Шур» муғамында ифа едилән бир кушәнин ады олмушдур. Бәс терминологи мә'нада шәһрашуб нә демәкдир?

Шәһәрләри, сәнәткарлар вә пешә саһибләрини вәсф, бә'зән дә һечв мәгсәдијлә јазылмыш ше'р јахуд ше'рләр силсиләсинә шәһрашуб дејилдир. Әввәлләр. шәһрашубун шәһрашуб олмасы үчүн јеканә шәрт «бир шәһәрин ја мәмләкәтин мүхтәлиф тәбәгәләри, хүсусән сәнәткар, пешәкарлары вә ишчиләринин вәсфи (8, 685) кифәјәт едирмиш. Сбиралар ајры-ајры шәһәрләрин вәсфи, бир сыра итгисади, сијаси гарышыглыглары да тәсвири шәһрашубларда өзүнә јер алмышдыр. Шәһрашублар сәккиз әсрдән артыг бир вахтда фарс, һинд, Азербайжан, урду, түрк әдәбијатларында јаранмышдыр. Адындан да көрүндүјү кими шәһрашублар билаваситә шәһәр һәјәти, шәһәр сәнәткарлары илә бағлы олмушлар вә онларын әтрафлы тәдгиги Шәрг интибаһы проблеми илә бағлы бир сыра гаранлыг һөгтәләри ајдынлашдырмаға көмәк едә биләр.

XVI әсрин әввәлләринә гәдәр бу һөв ше'рин јеканә үнваны шәһрашуб олуб. XVI јүзиллијин башланғычында илк түрк шәһрәнкизләри јараныр. «Шәһрәнкиз» дә «шәһрашуб»ларла ејин мә'налыдыр. Сбиралар шәһрашубун тематикасы, әһәтә дәирәси кенишләндикчә тәзә үнванлары да јараныр: Аләмашуб, Дәһрашуб, Чаһанашуб, Фәләкашуб (11,5).

Шәһрашубун елә нүмунәләри олмушдур ки, онлар мәзмунча бу жанрын бүтүн тәләбләринә чаваб версәләр дә, адлары тамам башга чүр олмушдур. Сәнәт Гәзнәвинин «Қарнамејә-Бәлх», Кәмәләддин Қутаһпәјин «Гәсидејә-Ламијјә»си, түрк шаһри Тачызадә Чәфәр Чәләбинин «Һәвәснамәси» бу гәбилдәндир. Лакин бунун әкси олан һаллар да әдәбијатлар тарихиндән бәллидир. Фарс шәһрашублары вә хүсусән гүрк шәһрәнкизләринин елә нүмунәләри олмушдур ки, онлары жанрын гәләбләријлә әјалныз адлары бағламышдыр.

Азербайжан поезијасында белә бир жанрын мөвчудлуғу тәдгигатчыларымызын нәзәрини чәлб етмәиш, нәтичәдә ше'римиздә мүхтәлиф соснал тәбәгәләри әкс етдирән, сарај әдәбијатындан чох фәргләнән мүһүм бир истигамәт унудулмушдур.

Шәһрашуб јазан шаирләр адәтән инкишафы, тәрәггиси башгаларындан даһа чох сечилән шәһәрләри тәсвир етмишләр. Шәһәрләр вә онларын чичәкләнмәси исә рекионал һадисә олмајыб, чох үмуми характер дашыјыр. Тәбии ки, дүнјанын башга халгларынын әдәбијатларында да шәһрашуба охшар ше'рләр силсиләсинин јаранмасы мүмкүн, һәтта зәрури иди. Әкәр бу нијјәтлә Авропа әдәбијатларыны арашдырачаг олсаг, франсыз ше'риндә, фәблно, алман поезијасында шванк адландырылмыш шәһрашуб паралелләри илә раст дүшәрик.

Шәһрашубларын јазылмасы үчүн вә конкрет бир поетик форма, нә дә әрузун һансыса мүәјјән бәһриндән истифадә едилмишидир. Бу һөв ше'рин нүмунәләри гәзәл, гит'ә, рүбан, гәсидә, мәсиәви шәкилләриндә, әрузун мүхтәлиф бәһрләриндә гәләмә алынмышдыр. Шәһрашубун, һәләлик бәлли олан ән гәдим нүмунәләри гит'ә вә мәсиәвидән ибарәтдир. Мәс'уд Сә'д Сәлманын 91 гит'әдән ибарәт шәһрашубу зәркәр, чәрәкчи, кимјакәр, нәггаш, әттар, мүнәччим вә с. сәнәт саһибләрини вәсф едир, һәм дә бу гит'әләрин бөјүк һиссәси мүхтәлиф вәзидир. Мәс'уд Сә'д Сәлманын 371 бейтдән ибарәт хәфиф бәһриндә мәсиәви шәклиндә јазылмыш башга бир шәһрашубу да вардыр.

XII эсрдә Хәҗҗамдан сонра кетдикчә даһа чох күтләвиләшән рүбаи шәһрашуб үчүн дә ән мүһасиб ифадә мејданларындан биринә чевриллр. Мәһсәти Кәнчәвинин, Әмир Хосров Дәһләвинин, сонралар Лисани Ширазинин, Шејх Әбүлфејз Фејзи Агрејинин, һаләти Түркмән Теһраинин шәһрашублары мәһз рүбаиләр үзәриндә гурулмушдур.

Бөјүк поемалар, «Хәмсә»ләр үчүн доғма олан мәснәви шәһрашублар да сирајәт етмиш, Молла Мәһәммәд Сејид Әшрәф Мазандарани Әбу Талиб Келим һәмәдани, Шәфәи Исфәһани... мәснәви-шәһрашубларын марағлы нүмунәләрини јазмышлар. Елә бурадача гејд етмәк ләзымдыр ки, мәснәви шәкли түрк шәһрәнкизләри үчүн јекәнә поетик форма олмушдур. Иса Мәсининин «Әдирнә шәһрәнкизи», Исаһа Чәләбинин «Бурса шәһрәнкизи», Хәлифәнин «Дијарбәкр шәһрәнкизи», Јәһјанын «Истанбул шәһрәнкизи», үмумијјәтлә, османлы поезијасындакы әллидән артыг шәһрәнкизини һамысы мәснәвидир. Түрк шәһрәнкизләринин демәк олар ки, һамысынын вәзи дә ејни олмушдур: һәзәчә—мосәддәсә-мәһзуф (мәфаА'Илүн МәфаА'Илүн, фә'Улүн). Бә'зән шәһрәнкизләр дөрдлүкләр шәклиндә гурулса да, бу формал характер дашымыш, әслиндә мәснәвлик поэулмамыш, әввәлдән ахыра ејни вәзи вә гоша гафијәләнән мисралар сахланыммышдыр.

Шәһрашубларын бөјүк бир һиссәси дә гәзәл шәклиндәдир. Фарсдилли поезијадә гәзәл-шәһрашубларын ән көзәл нүмунәләри Сејфи Бухарајинин јаратдығларыдыр. Мүәсирләринин јаздығларына көрә һәтта Сејфинин сәнәткарлара һәср едилмиш хүсуси шәһрашуб диваны вә олмушдур (5,144). XVII эср тачик шаири Сәјидо Нәсәфи дә Сејфи Бухараји јолуну давам етдирмиш, 200-дән артыг пешә саһибини өјән гәзәл-шәһрашублар јаратмышдыр.

Гәсидә шәклиндә јазылмыш шәһрашубларын ән гәдим нүмунәләри XII эсрә кедиб чыхыр. Белә гәсидәләри Хагани, Ширвани, Әнвәри диванларында тапырыг. Қәмаләддин Кутаһпај, Гејрәти Туни, Мәһәммәд Гасым Зари Исфәһанинин шәһрашублары да бу гәбилдәндир.

Һансы поетик формада мејдан тапмасындан асылы олмајараг шәһрашублар һәчв ја вәсф характерли олмушлар. Тәнгид, һәчв, мәгсәдијлә јазылан шәһрашублар бир шәһәрә, о шәһәрин ад-сан саһиб кишиләринә бир нөв һүчум олдуғундан саһитчә гаршыланмамышдыр. Мәсәлән, Хандәмир «Рөвзәт үс-сәфа»да хәбәр верир ки, 920-чи илдә (1514—15) Мөвлана Чәмаләддин Мәһәммәд Акәһи һератын бүтүн әмирләри, усталары, ә'јан вә әшрәфләри, үләмаларыны һәчв едән шәһрашуб гәсидә јазды. О замаңлар Хорасан валиси олан Әмирхан бу шәһрашуба көрә Мөвлана Акәһинин әлләри вә дилинин кәсилмәси һагда фәрман верди (12,83). Сам Мирзә «Төһфеји-Сами» дә јазыр ки, һәрфи Исфәһанинин Килян әһли һағгында шәһрашубуна көрә дили кәсдирилмишдир (7, 153).

Һәчв вә мәдһ характерли шәһрашубларын көзәл классик нүмунәләрини Азәрбајҗан поезијасында да Мүчирәддин Бејләгани вә Хагани Ширвани јарадычылығында тапырыг. Һәм дә бу шәһрашубларын икисин дә бир-биријлә әлагәдар мејдана чыхмышлар.

Мүчирәддин Бејләгани Исфәһан әһлиндән иңчијәрәк онларын һәчвиндә бир шәһрашуб јазыр. Шәрәфәддин Шефордејә Исфәһани бу шәһрашуба ондан да кәскин шәһрашуба чаваб верир. Лакин башга бир чаваб, Чәмаләддин Әбдүррәзагың шәһрашубу даһа кәскин олур. О, Мүчирәддинин мүәллими Хаганин һәчв едән ше'р јазыр. Бу әһвалаты «Мәчмә ул-фүсәһа» да нәгл едән Рзагулу хаң Һидајәт Хаганинин вәзијјәтдән бачарыгла чыхдығыны, пислијә јахшылыгла чаваб верди.

јини, Исфәһан һағгында көзәл бир шәһрашуб гәсидә јаратдығыны јазыр. (10,511) һәмин шәһрашуб гәсидә бу бејтлә башланыр:

Нәһкәте-һурәст ја һәвајә Сефәһан  
Чәһкәте-чоузәст ја ләгајә Сефәһан (9,318).

Азәрбајҗан әдәбијјатында шәһрашублар (шәһрәнкизләр) өз иңкишафларында чох марағлы мәрһәләләрдән кечмишләр. Бу мәрһәләләрдән ән марағлысыны XIX эсрдә јаранан Азәрбајҗан шәһрәнкизләри тәшкил едир. Бу эсрдә әдәбијјатымызда өзүнә кетдикчә даһа артыг јер еләјән тәнгиди реализм мәсләки шәһрашублар да сирајәт етмиш. Гасым бәј Закирин, Кәбирли Молла Гејдәрин, Хәлфә Мәһәммәд Кәрим Варданинин јаратдығлары: шәһрашуб хәритәсини даһа да зәңкиләшдирмишдир.

### Гајнағлар

1. А. Н. Болдырев. «Зейналдин Васифи», Душанбе, 1957. 2. И. В. Боролина и др. «Литература Востока в средние века», ч. II. М., 1970. 3. В. С. Гарбузова. Поэты средневековой Турции, учебное пособие, Л., 1963. 4. А. Е. Крымский. Энциклопедический словарь Русского библиографического института «Гранат», изд. 7. т. 41—X, М., 1937. 5. А. М. Мирзоев. Сайидо Насафи и его место в истории таджикской литературы, Сталинабад, 1954. 6. Е. И. Моштакова. Из истории сатиры и юмора в турецкой литературе, М., 1972. 7. Сам Мирзә Сәфәви. «Төһфеји-Сами», «Зәми-мејә-сәле-шанзәһоме-«Әрмәган», Теһран, 1314. 8. Мәһәммәд Чәфәр Мәһчуб. Сәбкә-Хорасани дәр ше'ре-фарси, Теһран, 1345; 9. Диване-Хагани Ширвани, Теһран, 1333. 10. Рзагулухан Һидајәт. «Мәчмәул-фүсәһа», I чилд, 1295; 11. Әһмәд Голчин Мәәни. Шәһрашуб дәр ше'ре-фарси, Теһран, 1346; 12. Мәһәммәд Хандәмир. Роузәт үс-сәфа, V чилд, Бомбеј, 1266.

Р. Б. Гусейнов

### ЗАБЫТЫЙ ЖАНР КЛАССИЧЕСКОЙ ПОЭЗИИ

В статье рассматривается один из самых интересных жанров классической восточной поэзии — «шахрашуб».

Шахрашубы создавались в различных поэтических формах.

В персидской, индийской, турецкой литературах созданы шахрашубы в виде рубая, касиды, газели, маснави.

Параллели шахрашуба в турецкой литературе назывались немного иначе — шахрангиз. Все шахрангизы созданы в форме маснави, метром хазадже-мосаддәсе-махзуф.

Из азербайджанских поэтов к шахрашубу обратились Махсати Ганджави, Хакани Ширвани, Муджираддин Бейлакани.

R. B. Huseynov

### A FORGOTTEN GENRE OF THE CLASSICAL POETRY

This article deals with one of the most interesting genres of the classical oriental poetry—shahrashub (city trouble-makers).

The genre shahrashub has been used in Indian, Persian, Azerbaijan and Turkish poetry beginning from the 12th century up to now. For the creation of the genre shahrashub such poetical forms as rubai, kasida, kit'a, ghazal, masnavi and mukhammas were used.

Some brilliant examples of this genre were created by several Azerbaijan poets such as Mahsati, Khagani, Fizuli, Vagif, etc.

Л. Г. АЛИЕВА, А. М. ГАСАНОВА

## К ПРОБЛЕМЕ НЕОПРЕДЕЛЕННОГО МЕТАЛЛА. ХАРСИНИ В СРЕДНЕВЕКОВЫХ ПИСЬМЕННЫХ ИСТОЧНИКАХ

(Представлено академиком АН Азербайджанской ССР З. М. Буниятовым)

В трудах ряда средневековых восточных авторов, начиная с VIII в., упоминается одно неопределенное тело, возможно, металл или сплав, под названием *харсини*. До настоящего времени истинный смысл этого названия среди современных историков химии, находит различные определения. Пока что не установлено, к какому металлу и сплаву или же веществу относится название *харсини*.

В доступных нам рукописных трудах средневековых ученых, наиболее раннее упоминание о *харсини* встречается у арабского алхимика Джабира ибн Хайяна (жил в Куфе около 776 г.). В своем труде «Книга извлечений», Джабир пишет: «..... *харсини* напоминает олово по своему цвету и плавкости. Некоторые мои знакомые говорят, что это суть камни в скалах, которые находятся в районе Каран между Кабулом и Бадахшаном. Если расплавить, то он плавится как олово и эта плавка бывает различной. Однако он, *харсини*, ломается как стекло, не куется и не растирается» [1].

Знаменитый Абу-Бакр Мухаммед ар-Рази (?—925 г.) в своем труде «Книга тайны тайн», пишет: «.....металлы, а их семь — золото, серебро, медь, железо, олово, свинец и *харсини* [2].

Абу-Райхан ал-Бируни (973—1048 гг.) в своей «Минералогии» включил *харсини* в число известных в то время металлов, посвятив ему отдельный раздел, со ссылкой на «Китаб ан-нухаб» («Избранное») неизвестного автора: «*харсини* сходен с оловом (расас) по цвету и плавкости. Один из моих знакомых говорил, что в области Каран, а она расположена между Кабулом и Бадахшаном, находят среди скал камни, которые плавятся как олово. Но это [сходство] касается только цвета, сам же он хрупок, как стекло, и не выдерживает ковки и ударов». Далее он добавляет, что «Абу Са'ид ал-Казвини, среди того, что он написал мне о нем (*харсини*)», указывает: прежде всего, приходит на мысль, что *харсини*—это тот металл, из которого отливаются колокола в Кашгаре и котлы Барсхане, расположенном на берегу Иссы-куля, то есть горячего озера, а также и [другие] сосуды, очень грубые, но это зависит от

мастеров и [их] искусства, так как то, что из него вырабатывается в Китае, крайне изящно и тонко. Говорят, что они (китайцы) прибавляют к нему кала-ийское\* олово, и тогда он служит материалом для изготовления китайских зеркал. А в Забулистанском Зарубане есть камни, которые называются мурдасандж (глет), и они разных форм, похожи на черный, окрашенный [сверху] в желтый цвет [минерал], подобный сере; его плавят и из него отливают в формах предметы вроде амулетов и [подвесок], употребляемых индийскими женщинами для кос; называют его *харсини*, и он похож на металл китайских зеркал, в нем преобладает черный оттенок железа» [3].

Интересно отметить, что рассматривание *харсини*, как одного из металлов известных тогда под неопределенными названиями, продолжалось и в XII—XIII веках. Особенно это отмечается у Хубайша Тифлиси [4]. При составлении классической семерки металлов, т. е. золота, серебра, меди, железа, олова, свинца, он включил в нее также и *харсини*, как седьмой металл, не приводя, однако, каких-либо данных о том, что же представляет из себя этот неопределенный металл.

Несколько отличающееся упоминание о *харсини* отмечается у персидского автора XII—XIII вв. Абд ал-Касима Кашани [5], который пишет, что «*харсини* — природное ископаемое, относится к семи металлам, его залежи находятся в Китае. По цвету он желтоватый, как золото, и похож на сплав хафт джуш».

Арабский географ и космограф XIII в. Закарийя ал-Казвини в своем труде «Чудеса тварей и диковины существующего» пишет о *харсини* следующее: «Он (*харсини*) образуется так же, как и другие упомянутые [металлические] тела. Рудник его находится в китайской земле. Цвет его черный приближающийся к красному. Клинок из него обладает огромной разящей силой. Из него делают гарпуны, с которыми охотятся на китов, ибо если он вонзается во что-то, то высвободить его можно с трудом.

Из него изготовляют зеркало, в которое в темном помещении смотрит больной с параличом лица, ибо оно при этой болезни полезнее лекарства.

Из него также изготовляют пинцеты, которыми выщипывают волосы и им же затем смазывают несколько раз эти места, после чего волосы там вновь не растут» [6].

После высказанного в 1868 г. мнения Германа Этхе [7], что под этим названием подразумевается металлический цинк, у большинства современных авторов, интерпретирующих приведенное в средневековых трудах описание *харсини*, утвердилось аналогичное мнение. Оно поддерживается, например, У. И. Каримовым [2] и Н. А. Фигуровским [8]. Однако И. Р. Селимханов [9], исходя из описания, что *харсини* хрупок, не куется и не растирается, выразил мнение, что это могла быть металлическая сурьма.

\* Калах (кала) — местность на Малайских островах, где добывалось олово.

Как видно из приведенных описаний, у средневековых авторов они в отдельных случаях весьма запутаны, что затрудняет выяснение значимости *харсини*. Например, Бируни одновременно отмечает, что *харсини* — минерал желтого цвета, подобный сере и из нее же его выплавляют. Но если принять во внимание, что из *харсини* отливали колокола и котлы, то это противоречит высказываниям Бируни.

Однако целый ряд других описаний говорящих, что *харсини* обладает токсическими свойствами и представляет собой сплав с черноватым отливом, а также металлическим блеском, приближает *харсини* к металлическому мышьяку. А. М. Беленицкий [3] высказывается предположение, что на основании сходства арабского *харсини* с греческим — *αρσενικον*, можно считать его мышьяком. Однако это не совсем так, ибо отметим, что самородный или полученный химическим восстановлением мышьяк, не плавясь испаряется, издавая чесночный запах. Таким образом *харсини* мышьяком быть не может.

Неясным остается и утверждение Дж. Р. Партиятона [10], что *харсини* это — различные формы сортов латуни.

Нами были привлечены основные, относительно понятные, данные о свойствах *харсини*. Они таковы:

1) это металл; 2) температура плавления, как у олова; 3) он хрупок, куется и ломается как стекло; 4) цвет — темный; 5) очевидно, малораспространенный в природе минерал; 6) токсичен.

Следовательно, можно сделать вывод, что это металл, но, не олово, не свинец и не цинк.

Таким образом, по своим свойствам *харсини* более подходит к самородному, т. е. природному минералу, в состав которого входит, очевидно, мышьяк, но возможно, в сочетании с сурьмой.

Дальнейшие исследования с привлечением большого числа данных историко-химического характера, смогут, по-видимому, уточнить природу металла *харсини*.

#### Литература

1. Berthelot M. La chimie en moyen age. Paris, 1849, т. III, стр. 248—249.
2. Каримов У. И. Неизвестное сочинение ар-Рази (?-925гг.) «Книга тайны тайн». Изд. АН Узбек. ССР. Ташкент, 1957, стр. 151. 3. Абу-р-Райхан Мухаммед ибн Ахмед ал Бируни. Собрание сведений для познания драгоценностей. Перев. А. М. Беленицкого. Изд. АН СССР. М., 1963, стр. 244 и примечания на 487—488. 4. Хубайш Т и Флиси. Описание ремесел. Перев. с персидского, введение и комментарий Г. П. Михалевица М., 1976, стр. 77. 5. Цитата по комментариям Г. П. Михалевица [4], стр. 153. 6. Закарийя ал-Казвини. *Аджа'иб ал-махлука'т ва гар'иб ал-мауджудат*, Каир, 1956, стр. 124.
7. Hermann Ethè. Zakarija ben Muhammed ben Mahmud El-Kazwini's Kosmographe. Leipzig, 1868, стр. 419, 427. 8. Фигуровский Н. А. Очерк общей истории химии от древнейших времен до начала XIX в. Изд-во «Наука», М., 1969, стр. 9.
9. Sellim Khanov I. R. A note upon knowledge of metals and their transmutation in the History of Arabic Science. The second international symposium for the history of Arabic Science. Abstracts of Session Papers, Aleppo, University, 1979, стр. 108—109.
10. Partington G. R. The Early History of Zinc. Metallurgia, 1931, стр. 223—224.

#### ОРТА ЭСРИН ЖАЗЫЛЫ МЭНБЭЛЭРИНДЭ ГЕЈРИ-МҮЭЈЖЭН ХАРСИНИ МЕТАЛЫНЫН ПРОБЛЕМИНЭ ДАИР

Мәгаләдә VIII эсрдән башламыш бир сыра алимләрин эсәрләриндә гејри-мүэјжән метал сајылан харсининин хассәләри верилмиш, ејни заманда мүасир дәврүн кимја тарихи илә мәшғул олан тәдгигатчыларынын бу барәдә фикирләри әкс олунашдур. Нәмчинин харсининин тәбии минерал-металы олараг тәркибиндә ассотсија олунаш муш арсен во сүрмә металы гарышыгында ибарәт олдуғу тәсәввүр едилир. Бу сәһдә сонрақы тәдгигатлары давам етдирмәк нәзәрдә тутулур.

L. G. Aliyeva, A. M. Gasanova

#### TO THE PROBLEM OF UNKNOWN METAL KHARSINI IN THE MEDIEVAL WRITTEN SOURCES

Unclearly ideas about the unknown metal kharsini are expressed in the works of the medieval alchemists-chemists, and the opinion of modern historian of chemistry is contradictory—that kharsini is brass or antimony. In the opinion of authors it is not excluded that kharsini is a native metal which contains associated arsenic and antimony as well.

## МҮНДЭРИЧАТ

### Риџиџат

- М. А. Вэлиџев. Параболик тэиликлэр үчүн сонгу элементлэр үсулунун (СЕУ) даџаныглыгы наггында 3  
 Р. Ч. Гулиџев. Гапалы област үзрэ чохолчүлү сингулџар интеграл үчүн кубатор дүстур 7  
 С. Отагулов, М. Н. Жагубов. Дифференциал дахиломанын бэ'зи хас-сэлэри вэ онларын оптимал идарэџэ тэтбиглэри наггында 11  
 Г. М. Эмирэлиџев. Псевдо-параболик тэилик үчүн фэрглэр схемлэринини џыгылмасы наггында 16

### Механика

- Ј. Э. Эмэнзадэ, Ибраһим Ел Таһир, Мэһэммэд Мэһэм-мэд. Сонсуз золагда эллиптик дешик этрафында кэркиплик концентрасиџасы 21

### Тэбин механика

- А. М. Кэикэрли, Ф. Н. Мэммэдов. Бэрк чисмин вэзиџэтинини кватернион васитэсилэ мүүџэн едилмэси 24

### Јарымкечиричилэр физикасы

- Е. Ј. Салаџев, Ч. Ш. Абдинов, Ф. И. Исмаџылов, Ф. М. Новрузова, Э. А. Новрузов, Э. Ш. Абдинов.  $P-Cd Hg_{1-x} Te$  монокристалларында гүвэтли ИЈТ електрик саһэсинини јаратдыгы гызмар јүкдашыџычыларын термо-ЕнГ 30  
 Ф. М. Нэшимзадэ, Р. С. Надирзадэ. Зэиф саһэлэрдэ галваномагнит эмсаллар тензору вэ онларын симметриџасы 34

### Биофизика

- Н. Б. Абдуллаџев, Н. Х. Мейдиџев, Х. М. Гасымов, Ф. И. Абдуллаџев, Ш. В. Мэммэдов, А. Ф. Кожакару, И. Г. Акоџев. Селенин үзви бирлэшмэлэринини митохондриџа мембранларына тэ'сир механизминини тэдгиги 40  
 Ч. Э. Элиџев, В. Ф. Адикөзэлов. Јерүстү али биткилэрини јарпаг һүчэјрэлэринини биопотенциалларынын тэнеффүс просеси илэ элагэсинини өјрөнилмэси 46

### Полимерлэр кимџасы

- Р. М. Элигулиџев, Г. М. Элиџев, Д. М. Хитеџева, Ф. А. Ахундова, Э. А. Мэммэдов. Бирчисли механики саһэдэ полиолефин термоеластопластын гурулушу хүсусиџэтлэринини хассэлэринэ тэ'сир 50

### Физики кимџа

- Ф. М. Насиров, Ф. Р. Хэлэфов, Н. Ј. Мелникова, З. М. Элиџева, Т. Н. Шайтахтински. Луис туршулары иштиракында винилмезитиленин полимерлэшмэси паралел реаксијалар 55

### Үзви кимџа

- С. В. Попов, Б. Р. Серебрџаков. ЕнМ-дэ техноложки просеслэрини моделлэшдирилмэси мәсэлэлэринини мә'лумат базасынын тэтбигинэ даир 59

## Агрокимџа

- А. Н. Күләһмэдов, Н. А. Агаџев. Бөјүк Гафгазын (Азэрбајчан эра-ниси) чэмэн-мешэ торпагларында вэ биткилэриндэ микроэлементлэрини мигдары 62

### Биткилэрин анатомиџасы

- З. Э. Новрузова, А. М. Эскэров. Гафгазын критик *Dryopteris adans* нөвлэринини мүгајисэли анатомик анализи 66

### Кеофизика

- Ј. С. Геншафт, М. М. Сэттаров. Базалтлардакы магнетитни тэркибинэ тэзјигини тэ'сир 70

### Стратиграфиџа

- М. Элиџев. Стратиграфик вэзиџэти 73

### Минералокиџа

- У. Ш. Мейдиџев, Ј. А. Морозов, Т. М. Сарычалинскаја. Араз чаџынын саһил чөкүнтүлэринини минерал тэркиби 76

### Эдэбијатшүнаслыг

- Р. Нүсејнов. Классик ше'рин бир унудулмуш жаиры 81

### Елм тарихи

- Л. Н. Элиџева, Э. М. Нэсэнова. Орта эсрий јазылы мэнбэлэриндэ гејри-мүүџэн харсини металынын проблеминэ даир 85

## СОДЕРЖАНИЕ

<b>Математика</b>	
М. А. Веллев. Об устойчивости метода конечных элементов (МКЭ) для параболических уравнений	3
Р. Д. Гулиев. Кубатурная формула для многомерного сингулярного интеграла по ограниченной области	7
С. Отакулов, М. А. Ягубов. О некоторых свойствах дифференциальных включений и их приложениях в оптимальное управление	11
Г. М. Амуралиев. О сходимости разностных схем для псевдопараболического уравнения	16
<b>Механика</b>	
Ю. А. Амензаде, И. Эль—Тахер М. М. О концентрации напряжений возле эллиптического отверстия в бесконечной полосе	21
<b>Прикладная механика</b>	
А. М. Кенгерли, Ф. Г. Мамедов. Кватернионное определение положения твердого тела	24
<b>Физика полупроводников</b>	
Э. Ю. Салаев, Д. Ш. Абдинов, Ф. И. Исмаилов, И. К. Исмаилов, Ф. М. Новрузова, А. А. Новрузов, А. Ш. Абдинов. Термоэдс горячих носителей тока, создаваемых сильным электрическим полем СВЧ в монокристаллах $p\text{-CdHg}_{1-x}\text{Te}$	30
Ф. М. Гашимзаде, Р. С. Надирзаде. Симметрия и тензор гальваномагнитных коэффициентов кристаллов в слабых полях	34
<b>Биофизика</b>	
Г. Б. Абдуллаев, Н. Х. Мехтнев, Х. М. Касумов, Ф. И. Абдуллаев, Ш. В. Мамедов, Э. Ш. Мамедов, А. Ф. Кожокару, И. Г. Акоев. Исследование механизма действия органических соединений селена на митохондриальные мембраны	40
Д. А. Алиев, В. Ф. Адыгезалов. Изучение связи биопотенциалов клеток листьев наземных высших растений с дыхательным процессом	46
<b>Химия полимеров</b>	
Р. М. Алигулиев, Г. М. Алиев, Д. М. Хитеева, Ф. А. Ахундова, А. А. Мамедов. Влияние особенностей структуры полиолефиновых термоэластопластов на их поведение в однородном механическом поле	50
<b>Физическая химия</b>	
Ф. М. Насров, Ф. Р. Халафов, З. М. Алиева, Н. Е. Мельникова, Т. Н. Шахтагтинский. Конкурирующая реакция при иницировании винилмезитилена кислотами Льюиса	55
<b>Органическая химия</b>	
С. В. Попов, Б. Р. Серебряков. О ведении информационной базы задач моделирования технологических процессов на ЭВМ	59
<b>Агрохимия</b>	
А. Н. Гюльяхмедов, Н. А. Агаев. Распространение микроэлементов в лугово-лесных почвах и растениях Большого Кавказа (в пределах Азерб. ССР)	62
<b>Анатомия растений</b>	
З. А. Новрузова, А. М. Аскеров. Сравнительно-анатомический анализ видов <i>Dryopteris Adans. s str.</i> Кавказа	66

## Стратиграфия

М. М. Алиев. Стратиграфическое положение <i>Inoceramus taustensis</i> Aliev M.	73
--	----

## Минералогия

Ю. С. Генштафт, М. М. Саттаров. Влияние давления на состав магнетитов в Базальтах	70
---	----

## Геофизика

У. Ш. Мехтнев, Ю. А. Морозов, Т. М. Сараджалинская. Минералогический состав береговых наносов р. Аракс	76
--	----

## История науки

Л. Г. Алиева, А. М. Гасанова. К проблеме неопределенного металла харсний в средневековых письменных источниках	85
--	----

40 гэл.  
коп.

Индекс  
76355

[Faint, illegible text, likely bleed-through from the reverse side of the page]

[Faint, illegible text, likely bleed-through from the reverse side of the page]